

ПРЕЦИЗИОННАЯ СПЕКТРОМЕТРИЯ ИЗЛУЧЕНИЙ РАДИОАКТИВНЫХ НУКЛИДОВ С ПОМОЩЬЮ ПОЛУПРОВОДНИКОВЫХ ДЕТЕКТОРОВ

П. Вилов, Б. П. Осипенко, В. М. Чужин

Объединенный институт ядерных исследований, Дубна

Описывается методы регистрации γ -квантов, электронов внутренней конверсии и α -частиц радиоактивных нуклидов при помощи полупроводниковых детекторов. Рассмотрены эффекты, искажающие форму аппаратурного спектра. Изложена методика измерения энергий и относительных интенсивностей моноэнергетических излучений. Построен полный набор нормалей энергий и относительных интенсивностей γ -квантов, а также КВК.

The technique of registration of the γ -rays, internal conversion electrons and α -particles from radioactive nucleides with semiconductor detectors has been described. Effects distorting the form of the apparatus spectrum are examined. The technique of measurement of the monoenergetic radiation energy and relative intensity has been described. A complete set of γ -ray energies, relative intensity and ICC standards is given.

ВВЕДЕНИЕ

Распределение излучений, испускаемых радиоактивными нуклидами, по энергии называют истинным спектром. Распределение сигналов от детекторов по амплитудам называют аппаратурным спектром. Связь между аппаратурным и истинным спектрами описывается интегральным уравнением Фредгольма первого

$$N(V) = \int \Phi(E) G(E, V) dE, \quad (1)$$

где E — энергия регистрируемого излучения; $\Phi(E)$ — функция истинного распределения излучения; $G(E, V)$ — вероятность того, что излучение с энергией E при попадании в детектор создаст сигнал V (аппаратурная функция, функция отклика). Задача измерения состоит в получении $N(V)$ с помощью спектрометра, а затем, зная $G(E, V)$, в нахождении истинного спектра.

Идеальный способ обработки аппаратурного спектра — это решение уравнения (1) и нахождение $\Phi(E)$. Как правило, такой

путь неприменим как из-за трудности экспериментального определения $G(E, V)$, так и из-за некорректности поставленной задачи [1]. Поскольку в ядерной спектроскопии чаще всего исследуются дискретные спектры, в обработке экспериментальных данных применяют модельный подход, т. е. строят математическую

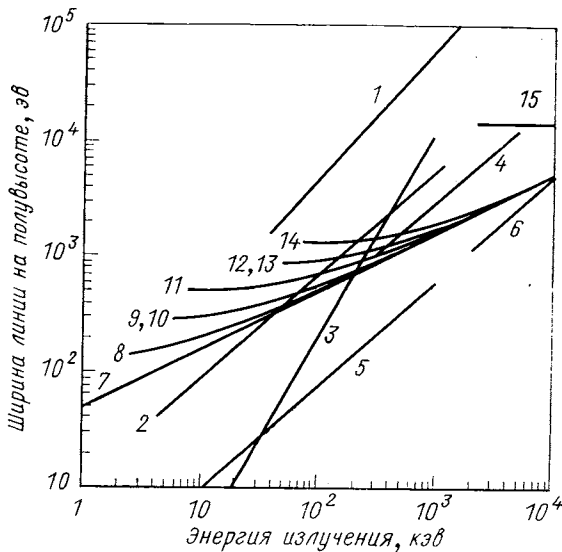


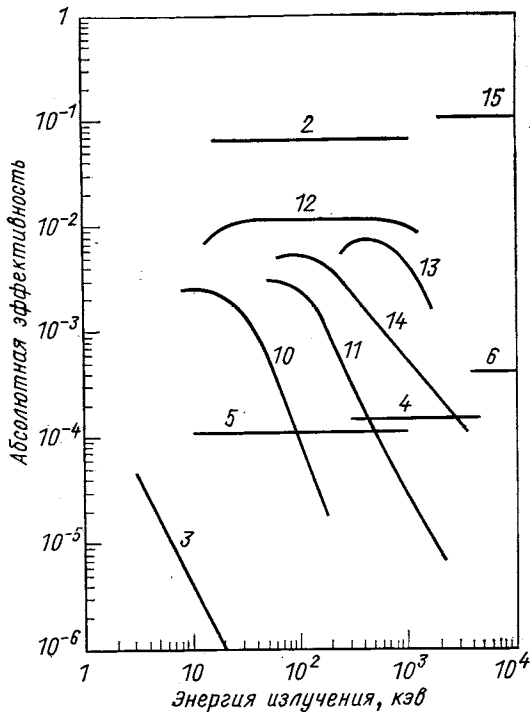
Рис. 1. Зависимость ширины спектральных линий на их полувысоте для различных спектрометров от энергии регистрируемого излучения (в скобках даны значения телесного угла):

- 1 — NaI(Tl); 2 — безжелезный тороидальный, $\Delta p/p = 0,4\%$ (7%); 3 — кристалл дифракционный типа Дюмонда;
- 4 — магнитный, стальной $2\pi\sqrt{2}$, $\Delta p/p = 0,2\%$ (0,015%);
- 5 — магнитный, стальной типа Даныша, $\Delta p/p = 0,04\%$ (0,01%);
- 6 — магнитный α -спектрограф $\pi\sqrt{2}$, $\Delta p/p = 0,04\%$ (0,04%);
- 7 — предельное разрешение для Ge при факторе Фано $F = 0,13$;
- 8—25 $\text{мм}^2 \times 5 \text{ мм}$ Ge для измерения рентгеновского излучения;
- 9—200 $\text{мм}^2 \times 5 \text{ мм}$ Ge(Li) для измерения рентгеновского излучения и γ -квантов;
- 10—80 $\text{мм}^2 \times 4 \text{ мм}$ Si(Li) для измерения рентгеновского излучения (1%);
- 11—1,3-см³ Ge(Li) для измерения рентгеновского излучения и γ -квантов (1,5%);
- 12—80 $\text{мм}^2 \times 4 \text{ мм}$ Si(Li) в однородном магнитном поле;
- 14—37-см³ Ge(Li) (1,5%);
- 15—80 $\text{мм}^2 \times 0,5 \text{ мм}$ Si(Au) для измерения α -частиц.

модель исследуемого участка спектра и определяют такие значения параметров модели, при которых она наиболее точно аппроксимирует $N(V)$. Существенным условием правомерности такого подхода является обязательное выполнение всех предположений данной модели (например, форма аппаратурной линии, форма непрерывного распределения, отсутствие искажающих формум

аппаратурного спектра эффектов и т. п.). Отметим, что в практике физического эксперимента эти условия часто забывают.

Качество спектрометра для измерения излучений радиоактивных нуклидов характеризуется следующими параметрами:



тивной фотоэмulsionционной методики реалистичное сравнение абсолютных эффективностей магнитных бета-спектрометров провести нельзя, поэтому на рис. 2 указана светосила спектрометра. Как видно, спектрометры с ППД обладают сравнительно высоким энергетическим разрешением и большой абсолютной эффективностью, что делает их важнейшими приборами ядерно-спектротипических исследований.

Ниже рассмотрим вопросы прецизионной спектрометрии моноэнергетических излучений радиоактивных нуклидов с помощью ППД. Термин прецизионность применен в том смысле, что полученные здесь погрешности сравнимы с погрешностями нормалей, относительно которых выполнены сравнительные измерения (абсолютные измерения с помощью ППД невозможны). Создание подобной методики связано с обязательным и полным анализом эффектов, искажающих форму аппаратурного спектра, и с применением полного и согласованного набора нормалей. Как выяснилось, такие наборы отсутствуют, поэтому рассмотрим также вопросы их построения.

1. СПЕКТРОМЕТРИЧЕСКАЯ АППАРАТУРА

Более десяти лет в Лаборатории ядерных проблем ОИЯИ ведутся работы по разработке и изготовлению полупроводниковых спектрометров. В этот период детекторы на основе Si и Ge практически достигли предела возможного энергетического разрешения. Бурно развивалась и соответствующая аналоговая электроника. Широкое применение ППД в практике физического эксперимента и в ряде прикладных работ позволило некоторым фирмам (ORTEC, «Princeton Gamma Techn.», SAIP и др.) освоить выпуск полных комплектов рентгеновских и гамма-спектрометров, а также детекторов заряженных частиц, работающих при комнатной температуре. Не выпускаются промышленностью только высококачественные бета-спектрометры, позволяющие измерять излучения нуклидов с экспрессной заменой источника без нарушения вакуума в камере детектора.

Структурная схема спектрометра с ППД [2]. Схема спектрометра для исследования энергетического распределения излучений радиоактивных нуклидов представлена на рис. 3. Сигналы от ППД поступают на вход зарядочувствительного предусилителя (ПУ), и, далее, в линейный спектрометрический усилитель (ЛУ). С ЛУ сигналы поступают на восстановитель постоянной составляющей (ВПС) и затем в блок амплитудно-цифрового преобразователя (АЦП). Далее имеем накопление цифровой информации и ее обработку с помощью ЭВМ.

Учитывая все источники шума, для зарядочувствительного ПУ и ЛУ с однократным $CR - RC$ -формированием можно записать [2]:

$$\begin{aligned}
 (\Delta E [\text{эв}])^2 = & (2,354 \sqrt{\varepsilon E F})^2 + (4,52 \varepsilon / q)^2 \times \\
 & \times \left\{ \frac{0,6kT}{\tau S} (C_{\text{д}} + C_{\text{вх}} + C_0)^2 + 0,15kTC_{\text{из}}^2 + \right. \\
 & \left. + kT\tau \left[\left(\frac{1}{R_{\text{с}}} + \frac{1}{R_{\text{н}}} \right) + \frac{q}{2kT} (I_{\text{д}} + I_{\text{з}}) \right] \right\} + \Delta_m^2 + \Delta_{\text{ост}}^2,
 \end{aligned} \quad (2)$$

где F — фактор Фано; $q = 1,6 \cdot 10^{-19}$, °К; τ — постоянная формирования в ЛУ, сек; ε — энергия образования пары электрон — дырка в ППД, эв; S — крутизна полевого транзистора (ПТ), a/b ;

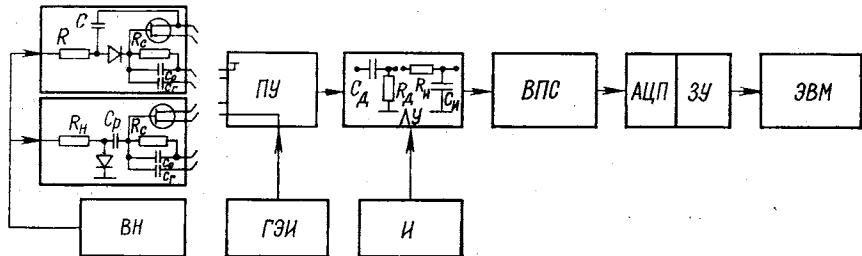


Рис. 3. Структурная схема спектрометров с ППД для исследования излучений радиоактивных нуклидов:

ПУ — предусилитель; ВН — высокое напряжение; ГЭИ — генератор эталонных импульсов; ЛУ — линейный усилитель; И — интенсиметр; ВПС — восстановитель постоянной составляющей; АЦП — аналого-цифровой преобразователь; ЗУ — запоминающее устройство

$C_{\text{д}}$ и C_0 — емкости ППД и обратной связи, ϕ ; $C_{\text{из}}$ — емкость исток-затвор ПТ, ϕ ; $C_{\text{вх}}$ — емкость на входе ПТ, исключая $C_{\text{д}}$ и C_0 , ϕ ; $k = 1,38 \cdot 10^{-23}$ дж.°К — постоянная Больцмана; T — абсолютная температура, °К; $I_{\text{д}}$ — обратный ток ППД, а; $I_{\text{з}}$ — ток затвора ПТ, а; Δ_m — разрешение, обусловленное микрофонными шумами, эв; $\Delta_{\text{ост}}$ — разрешение, связанное с шумом всех последующих электронных блоков. Здесь не учтен вклад эффекта захвата носителей заряда.

Из выражения (2) вытекают все требования, которые предъявляются к элементам спектрометра: необходимость охлаждения ППД ($I_{\text{д}}$ уменьшается); необходимость увеличения (или даже исключения для некоторых типов ПУ, см. рис. 3) значений $R_{\text{с}}$ и $R_{\text{н}}$; необходимость уменьшения $C_{\text{д}}$ (или за счет площади, или за счет глубины чувствительного слоя); необходимость применения ПТ с большой крутизной S .

Минимальное значение шумов получается при $\tau_{\text{опт}} = \tau_{\text{инт}} = \tau_{\text{диф}}$, где $\tau_{\text{инт}}$ — постоянная интегрирования ЛУ; $\tau_{\text{диф}}$ — постоянная дифференцирования ЛУ. Тогда

$$\tau_{\text{опт}} [\text{сек}] = \left\{ \frac{0,6 (C_{\text{д}} + C_{\text{вх}} + C_0)^2 + 0,15 C_{\text{из}}^2}{S/R_{\text{н}} + S/R_{\text{с}} + (I_{\text{д}} + I_{\text{з}}) Sq/2kT} \right\}^{1/2}. \quad (3)$$

Если $\tau > \tau_{\text{опт}}$, то преобладают параллельные шумы (I_d , I_3 , R_c , R_h), если $\tau < \tau_{\text{опт}}$ — последовательные шумы (C_d , $C_{\text{вх}}$, C_0 , $C_{\text{из}}$, S). Понижение параллельных шумов увеличивает $\tau_{\text{опт}}$ и улучшает разрешение. При этом нужно помнить, что часто $\tau_{\text{опт}}$ не совпадает с расчетным значением τ входного сигнала АЦП и тогда для согласования следует применить схему удлинения. В то же время ухудшаются загрузочные характеристики спектрометров из-за наложения. Изменение значения сигнала/шум за счет кратности интегрирования и дифференцирования можно найти в сравнительных таблицах, например, в работе [3].

Отметим противоречивость требований к значениям R_c и к схеме подключения ППД — ПУ в зависимости от значения сигнал/шум и загрузочных характеристик. Действительно, для гальванического подключения ППД — ПУ мгновенное значение падения напряжения на R_c [3]:

$$U_{c, \text{ макс}} = (Qn + I_d) R_c + 3 \left(\frac{Q}{C_0} \right) V \sqrt{n \tau_c / 2}, \quad (4)$$

где $Q = qE/\varepsilon$; $\tau_c = R_c C_0$; n — скорость регистрации частиц в 1 сек. Очевидно, что загрузку спектрометра можно увеличить

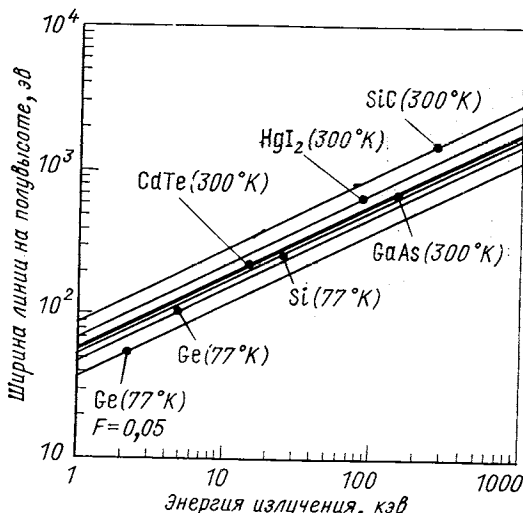
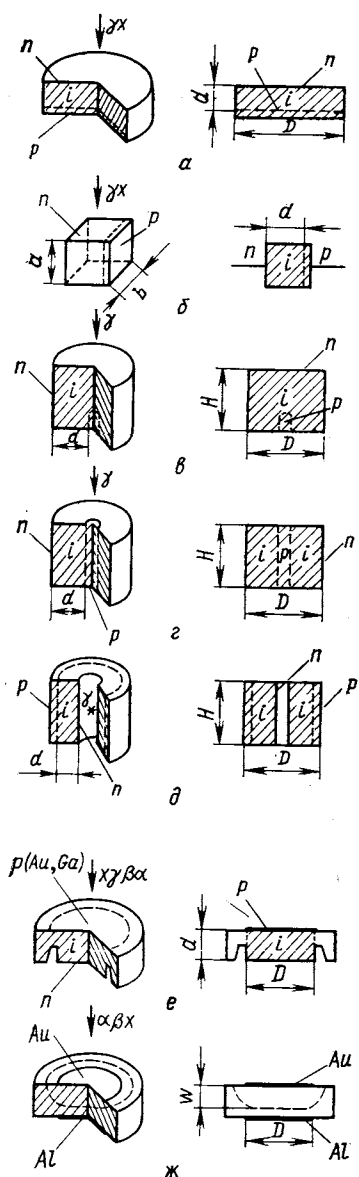


Рис. 4. Зависимость предельного энергетического разрешения различных ППД от энергии регистрируемого излучения; принят условно фактор Фано $F = 0,13$

при подключении ППД с помощью разделительного конденсатора (первый член равен нулю).

Полупроводниковые детекторы [2]. Зависимость предельного энергетического разрешения различных ППД от энергии регистрируемого излучения приведена на рис. 4. Хотя к настоящему времени и имеются некоторые достижения в технологии изготовления детекторов из GaAs и CdTe, требованиям ядерно-спектроскопического эксперимента пока удовлетворяют только детекторы из Si и Ge.



Предельное разрешение ППД определяется формой спектральной линии и временем сбора носителей заряда в ППД и собственный уровень шумов электронных блоков.

Ge(Li)-детекторы. Основное назначение — спектрометрия γ -излучения. Энергетическое разрешение находится на предельном уровне, который допускают статистические флуктуации образования носителей заряда в ППД и собственный уровень шумов электронных блоков. Ge(Li)-детекторы изготавливают различной конфигурации [4]. Исследования показали, что с точки зрения формы спектральной линии и времени сбора носителей существенное значение приобретает однородность электрического поля. Обычно изготавливают детекторы пяти различных конфигураций, которые применяют при решении следующих задач (рис. 5): а) регистрация низкоэнергетических квантов с большим телесным углом; б) прецизионных измерениях энергий γ -квантов с исключением эффекта поля [5]; в) измерении спектров γ -квантов с высокой эффективностью, но с худшими временными характеристиками и в присутствии

Рис. 5. Конфигурации различных ППД, применяемых в ядерно-спектроскопических экспериментах:

а — плоскопараллельный Ge(Li), $5 \leq d \leq 18$, $5 \leq D \leq 40$; б — плоскопараллельный Ge(Li), $5 \leq d \leq 10$, $8 \leq a \leq 14$, $8 \leq b \leq 14$; в — coaxиальный, с одним открытым торцом Ge(Li), $12 \leq d \leq 18$, $38 \leq D \leq 48$, $20 \leq H \leq 40$; г — coaxиальный, с двумя открытыми торцами Ge(Li), $12 \leq a \leq 18$, $38 \leq D \leq 48$, $20 \leq H \leq 40$; д — coaxиальный, с колодцем Ge(Li), $12 \leq d \leq 18$, $38 \leq D \leq 50$, $30 \leq H \leq 40$; е — поверхностно-барьерные Si(Li), Ge(Li), Au, имплантированные Ge(Li), $2 \leq d(Si) \leq 5$, $5 \leq d(Ge) \leq 10$, $5 \leq D \leq 15$; ж — поверхностно-барьерные Si(Au), $0,05 \leq W \leq 4$, $6 \leq D \leq 40$.

эффекта поля в ППД; г) измерении спектров γ -квантов с высоким временным разрешением и в отсутствие эффекта поля, но с меньшей эффективностью; д) измерении спектров γ -квантов слабых активностей.

Si (Li)-Детекторы. Основное назначение — спектрометрия β -частиц и γ -квантов. Можно считать, что энергетическое разрешение этих детекторов близко к предельно возможному. Действительно, наилучшее энергетическое разрешение при измерении спектров ЭВК равно 880 эв для $E_e \approx 100$ кэв [6]. Учитывая особенности регистрации β -частиц с энергиями < 100 кэв (роль входного окна, условия сбора заряда носителей, качество источников и т. п.), нельзя ожидать существенного улучшения энергетического разрешения. Трудности имеются также в спектрометрии низкоэнергетических γ -квантов (< 50 кэв) с высоким энергетическим разрешением, когда применяют ПУ с большими значениями R_c или с электронно-оптической (иногда и стоковой) обратной связью. При исследовании радиоактивного распада нуклидов имеется целый ряд сопровождающих излучений (β -частицы, ЭВК, α -частицы, γ -кванты), регистрация которых осуществляется с высокой эффективностью в спектрометрах с тонкими входными окнами. Трудности снятия заряда [см. формулу (4)] с затвора ПТ приводят к большим ограничениям загрузочных характеристик, а также к ухудшению стабильности спектрометра (см. [5, рис. 23]). Поэтому рациональным шагом улучшения качества спектрометра является совершенствование ПУ с резисторной обратной связью.

Параметры и конструкция поверхностно-барьерных Si(Li)-детекторов показаны на рис. 5, е.

Поверхностно-барьерные Si(Au)-датчики. Основное назначение — спектрометрия α -частиц, низкоэнергетических β -частиц и рентгеновского излучения. Независимо от высокого энергетического разрешения и сравнительно большой толщины чувствительного слоя, которые достижимы на Si(Au)-датчиках, их применение в прецизионной β - и рентгеновской спектрометрии ограничено из-за трудности поддержания постоянства толщины чувствительного слоя, так как она зависит от напряжения смещения и обратных токов в ППД. Последние, со своей стороны, сильно зависят от достигнутого вакуума в системе.

Si(Au)-Детекторы изготавливают из кремния *n*-типа с удельным сопротивлением 0,5—100 ком·см. Параметры и конструкция показаны на рис. 5, ж. Напомним, что [7]

$$W \approx 0,35 \sqrt{\rho U}, \quad (5)$$

где ρ — удельное сопротивление Si *n*-типа, ом·см;

U — напряжение смещения, в; W — толщина чувствительного слоя.

В некоторых задачах применяются также поверхностно-барьерные детекторы из кремния *p*-типа Si(Al). По отношению к Si(Au)-детекторам они имеют такие преимущества, как лучшие временные характеристики для случая, если пробег частицы значительно меньше W ; радиационная стойкость; меньшие трудности в изготовлении высокомоного материала. Однако по указанным выше причинам они не нашли применения в прецизионной β - и рентгеновской спектроскопии.

Поверхностно-барьерные Ge(Li, Au)-детекторы [7]. Основное назначение — спектрометрия ЭВК и низкоэнергетических γ -квантов, причем наибольший интерес представляют случаи их одновременного измерения для определения КВК. Ge(Li, Au)-детекторы изготавливают из германия *p*-типа. Параметры и конструкция показана на рис. 5, *e*.

Отметим, что на более раннем этапе в этих же задачах разрабатывались имплантированные Ge(Li)-детекторы, которые обладают возможностью спектрометрии α -частиц (см. рис. 15) [8]. К сожалению, большая скорость диффузии лития в Ge и необходимость сохранения времени жизни носителей тока делают невозможным проведение при оптимальных температурах отжига радиационных дефектов, образующихся при имплантации галлия. Это существенно затрудняет дальнейшее улучшение параметров таких детекторов.

Детекторы из сверхчистого германия (Ge). Основное назначение — спектрометрия X - и γ -квантов. Их преимущество по сравнению с Ge(Li)-детекторами в том, что они могут храниться при комнатной температуре и охлаждение необходимо лишь во время работы. В наших экспериментах мы применяем ППД фирмы «Princeton Gamma-Tech». Отметим, что разработанная нами технология изготовления Ge(Li, Au)-детекторов применима и к исходному материалу из сверхчистого германия.

Упаковка детекторов [2] должна обеспечивать оптимальный режим ППД в рабочих условиях [см. формулу (2)]. В зависимости от типа ППД и регистрируемого излучения ее надо проектировать так, чтобы искажения аппаратурного спектра были минимальны. Применяемые конструкции показаны на рис. 6. Особое внимание уделялось выбору оптимального температурного режима кристалла и охлаждаемого ПТ. Например, для получения высокого энергетического разрешения малообъемные ППД подключали гальванически к ПТ, и это потребовало испытания различных изоляторов с хорошей теплопроводностью для обеспечения оптимальной температуры кристалла; для улучшения условий охлаждения коаксиальных детекторов и уменьшения температурных градиентов используют крышки из тонкого алюминия; для получения высокого энергетического разрешения существенную роль играет выбор оптимального температурного

режима ПТ; для уменьшения вклада в аппаратурном спектре за счет возбуждения флуоресценции в окружающих ППД материалах оправку следует делать из материала с возможно меньшим Z .

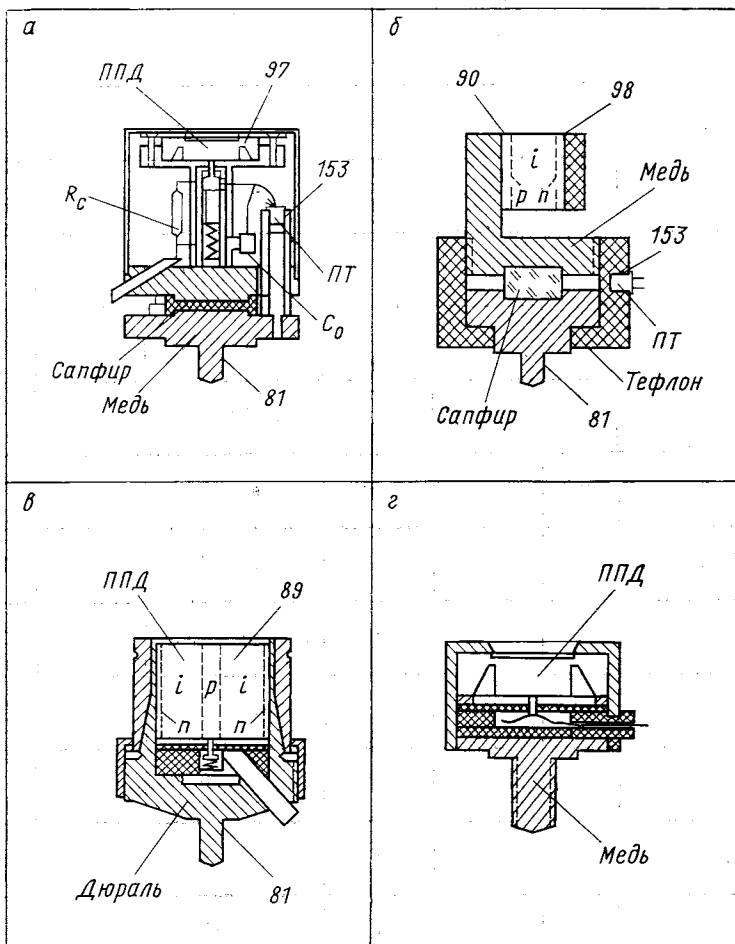


Рис. 6. Характерные упаковки ППД (число — температура, $^{\circ}\text{K}$; ПТ — полевой транзистор)

Характеристики применяемых в наших экспериментах спектрометров приведены в табл. 1. Для коммерческих детекторов указаны firma-производитель и ряд известных параметров. Отметим, что характеристики детекторов заряженных частиц в неко-

Характеристики

№	Детектор	Излучение	Рабочая температура, °К	Геометрия (см. рис. 5)	Параметры	Толщина чувствительного слоя, мм	Напряжение смещения, в
1	Si (Au)	α	300	π	$100 \text{ мм}^2 \times 0,5 \text{ мм}$	0,5	250
2	Si (Au)	β	300	π	$80 \text{ мм}^2 \times 2 \text{ мм}$	2	1000
3	Si (Li)	$\frac{\beta}{x}$	77	e	$80 \text{ мм}^2 \times 4 \text{ мм}$	4	1500
4	Ge (Li, Au)	$\frac{\beta}{\gamma}$	77	e	$80 \text{ мм}^2 \times 4 \text{ мм}$	4	1200
5	Si (Li)	x	77	e	$80 \text{ мм}^2 \times 4 \text{ мм}$	4	1500
6	Ge	γ	77	(π)	$25 \text{ мм}^2 \times 5 \text{ мм}$	5	1200
7	Ge (Li)	γ	77	δ	$1,3 \text{ см}^3$	8	1500
8	Ge (Li)	γ	77	(e)	$200 \text{ мм}^2 \times 5 \text{ мм}$	5	1000
9	Ge	γ	77	(π)	$300 \text{ мм}^2 \times 7 \text{ мм}$	7	1500
10	Ge (Li)	γ	77	a	11 см^3	12	2500
11	Ge (Li)	γ	77	ε	37 см^3	15	3000
12	Ge (Li)	γ	77	ε	38 см^3	16	3000
13	Ge (Li)	γ	77	ε	50 см^3	18	3000
14	Ge (Li)	γ	77	ϑ	18 см^3	8	900

* П/К — отношение пик/комптон для данного ППД.

Таблица 1

применяемых ППД

Энергетическое разрешение, кэВ					Область применения, кэВ	Изготовитель
$E_{\alpha} \sim 5 \text{ МэВ}$	$E_e \sim 100 \text{ кэВ}$	$E_{\gamma} \sim 5 \text{ кэВ}$	$E_{\gamma} \sim 100 \text{ кэВ}$	$E_{\gamma} \sim 1,3 \text{ МэВ}$		
15	—	—	—	—	1000—10000	ЛЯП, ОИЯИ
—	9	—	—	—	200—1000	ЛЯП, ОИЯИ
—	0,880	0,300	0,600	—	30—3000 3—160	ЛЯП, ОИЯИ
—	1,3	0,400	0,600	1,65	100—4000 20—1000	ЛЯП, ОИЯИ
—	—	0,290	0,550	—	5—160	ЛЯП, ОИЯИ
—	—	0,150	0,500	—	14—279	PGT
—	—	—	0,600	1,65	14—600	ЛЯП, ОИЯИ
—	—	0,240	0,550	1,65	14—600	ORTEC
—	—	0,250	0,550	—	14—600	PGT
—	—	—	1,3	$\frac{2,2}{\Pi/K = 10/1} *$	59—2750	ЛЯП, ОИЯИ
—	—	—	1,5	$\frac{2,4}{\Pi/K = 20/1}$	72—2750	ЛЯП, ОИЯИ
—	—	—	0,9	$\frac{1,9}{\Pi/K = 25/1}$	59—4000	ЛЯП, ОИЯИ
—	—	—	1,4	$\frac{2,4}{\Pi/K = 35/1}$	120—4000	ORTEC
—	—	—	3	—	50—1500	ЛЯП, ОИЯИ

тором смысле являются усредненными, так как в процессе работы они ухудшались и ППД заменялись.

Конструкции спектрометров [2]. Конструкции спектрометров разрабатывались с учетом особенностей регистрации α -, β -, γ - и X -излучений (рис. 7). Вакуум в камерах спектрометров заря-

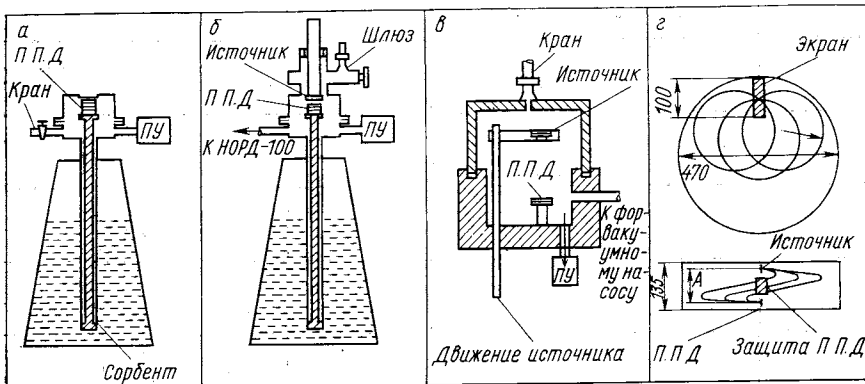


Рис. 7. Конструкции спектрометров для исследования спектров излучения радиоактивных нуклидов

женных частиц создается с помощью системы на базе магнитного электроразрядного насоса НОРД-100. Предусмотрена возможность замены источника без нарушения вакуума в системе. Все применяемые вакуумные уплотнения безмасляные.

Спектрометры β -частиц, рентгеновского излучения и γ -квантов. Оправки с Si(Li)- и Ge(Li)-детекторами монтируют в криостат с хладопроводом и сорбентом, который погружается в стандартный сосуд Дьюара с жидким азотом (см. рис. 7, а). В зависимости от регистрируемого излучения применяют различные материалы для входных окон: майлар ($0,90 \text{ мг}/\text{см}^2$), бериллий (100 — 200 мкм), дюраль ($\sim 400 \text{ мкм}$) и нержавеющую сталь ($\sim 200 \text{ мкм}$). Характерные аппаратурные спектры показаны на рис. 8—11.

Спектрометры электронов внутренней конверсии. По сравнению с описанными конструкциями здесь внесено единственное изменение: источник без нарушения вакуума заменяется с помощью шлюзовой системы (см. рис. 7, б). Время замены около 3 мин. Держатель источника позволяет изменять расстояние от источника до ППД в пределах 0,5—20 см. Характерные аппаратурные спектры показаны на рис. 12 и 13.

Спектрометры α -частиц. Альфа-спектрометры применяют различной конструкции: для одновременного измерения X -, α -, γ - и β -излучений используют шлюзовую камеру (см. рис. 7, б),

для измерения спектров α -частиц без охлаждения ППД применяется камера, вскрывающаяся при замене источника [винтовое устройство позволяет изменить расстояние источник—ППД в пределах 0,5—5 см без нарушения вакуума (см. рис. 7, б)]; для измерения спектров α -частиц без охлаждения ППД в целях

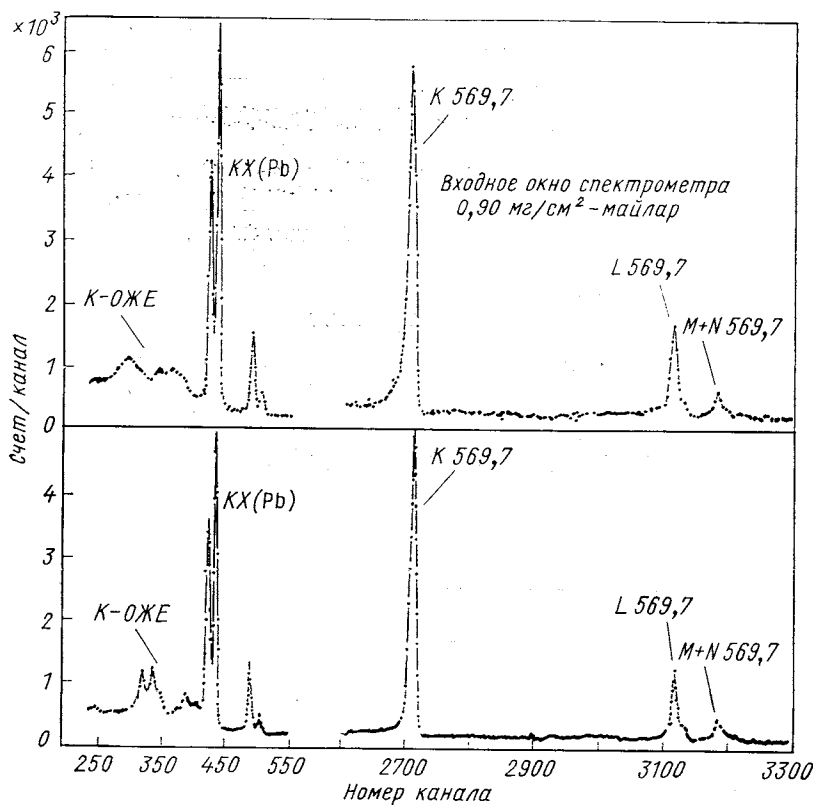


Рис. 8. Спектр излучений ^{207}Bi , измеренный $80 \text{ mm}^2 \times 4 \text{ mm}$ Si(Li)-детектором (в качестве входного окна использован майлар $0,90 \text{ mg/cm}^2$)

прецзионных измерений энергий α -частиц применяют специальную камеру (эталонные и исследуемые источники устанавливают на поворотное устройство с коллиматорами до начала эксперимента). Характерные аппаратурные спектры показаны на рис. 14 и 15.

Полупроводниковый бета-спектрометр с однородным магнитным полем [2]. Здесь используется движение электронов (позитронов) по винтовой линии в однородном магнитном поле [9] (см. рис. 7, г). Энергетический диапазон собираемых детекто-

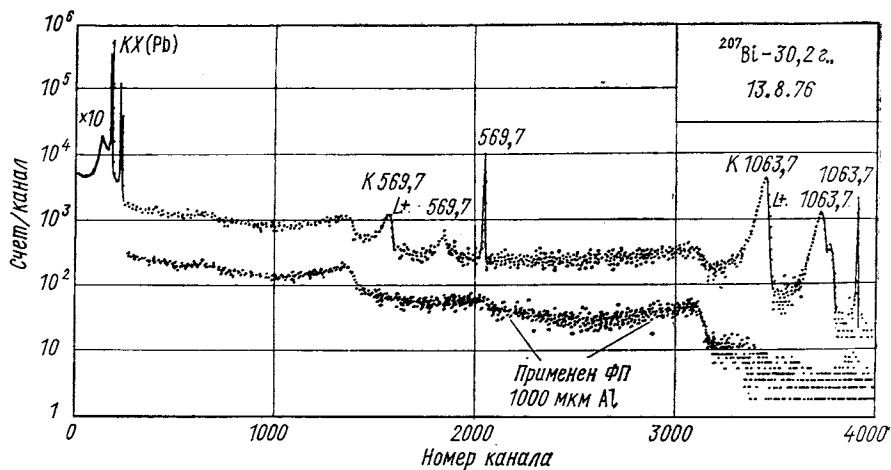


Рис. 9. Спектр излучений ^{207}Bi , измеренный $200 \text{ мм}^2 \times 5 \text{ мм}$ Ge(Li)-детектором; показан также аппаратурный спектр ^{207}Bi при использовании поглощающего фильтра толщиной 1000 $\mu\text{мм}$ Al.

$T_1 = 5$ лет — время, прошедшее с момента получения источника; $T_2 = 1$ ч — время измерения; $P = 3$ см — расстояние источник — ППД; ФП — фильтр поглощения; Φ — фон; ОВ — пик одиночного вылета; ДВ — пик двойного вылета

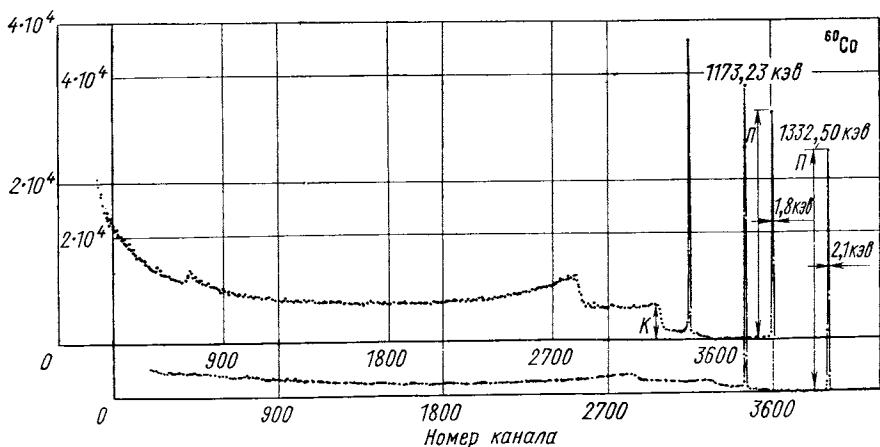


Рис. 10. Спектр γ -квантов ^{60}Co , измеренный Ge(Li)-детекторами объемом 1 и 37 см^3 (Π — амплитуда пика; K — амплитуда комптоновской границы)

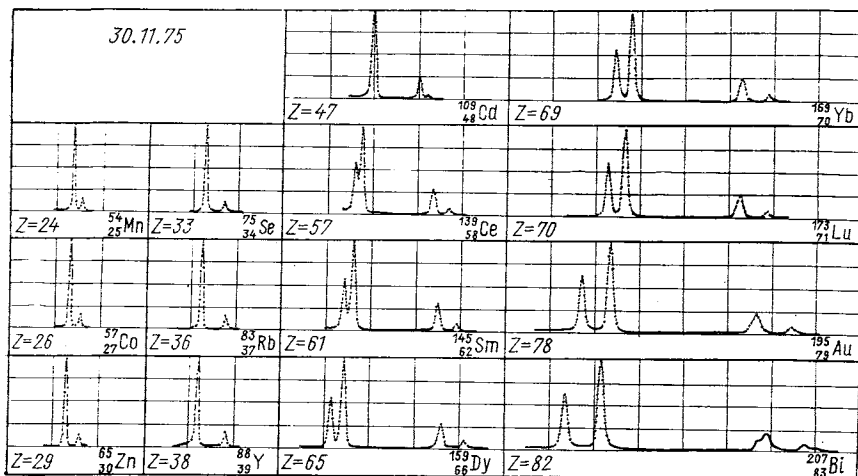


Рис. 11. Характеристическое KX -излучение некоторых нуклидов, измеренное $25 \text{ mm}^2 \times 5 \text{ mm}$ Ге-детектором при постоянном коэффициенте усиления

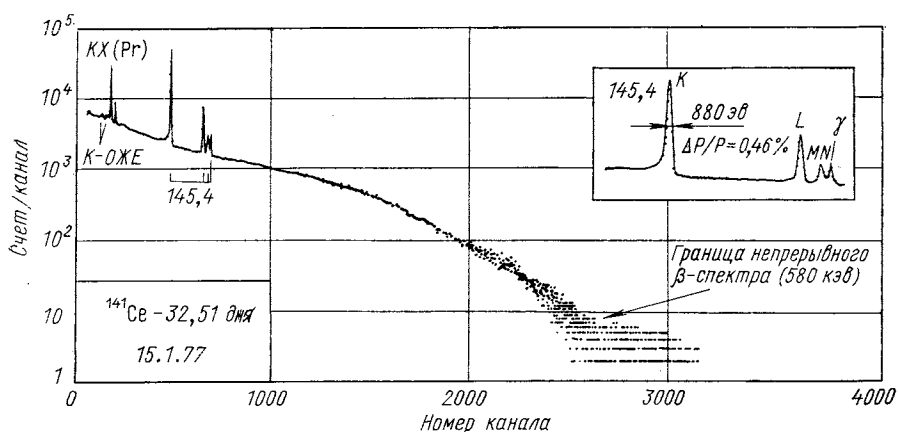


Рис. 12. Спектр излучений ^{141}Ce , измеренный $80 \text{ mm}^2 \times 4 \text{ mm}$ Si(Li)-детектором:

$T_1 = 22$ дня; $T_2 = 6$ ч; $P = 6$ см

ром электронов определяется геометрическими размерами камеры и напряженностью магнитного поля H . Применяя экран и изме-

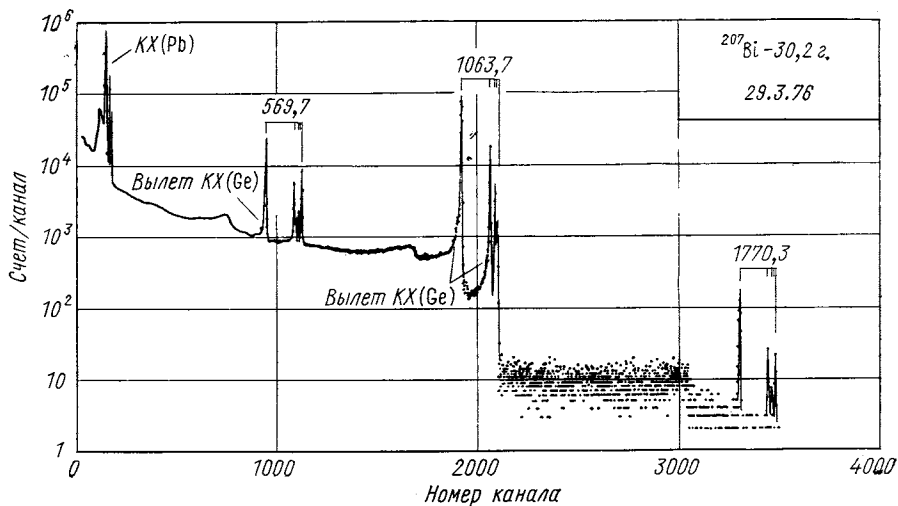


Рис. 13. Спектр излучений ^{207}Bi , измеренный $80 \text{ mm}^2 \times 5 \text{ mm}$ Ge(Li, Au)-детектором:
 $T_1 = 5$ лет; $T_2 = 6$ ч; $P = 5$ см

ня H , можно дискриминировать низкоэнергетические электроны и, не перегружая детектор, исследовать более слабые высокоэнергетические переходы. Детектор помещен под источником, при этом защита от прямого попадания излучения осуществляется слоем из W (40 мм), Cd (1 мм), Cu (0,5 мм) и Al (0,5 мм). Для охлаждения ППД используется L-образный криостат, который соединен с вакуумной камерой спектрометра. Замена источника без нарушения вакуума в камере спектрометра проводится с помощью шлюзовой системы за 3 мин. Работа спектрометра иллюстрируется спектром ЭВК $^{206}\text{Po} + ^{206}\text{Bi}$, измеренным при четырех значениях H : 250, 500, 750 и 1000 гс (рис. 16).

Из литературы известны и другие бездисперсионные магнитные устройства, позволяющие значительно снизить фон сопровождающих β -частицы излучений. Все они не лишены недостатков. Например, вариант [9] обладает сравнительно низкой эффективностью; вариант [10] предполагает применение сверхпроводящего соленоида, обладает большой эффективностью, но, к сожалению, не отделяет электронов от позитронов; вариант [11] сделан на базе спектрометра Тибо, обладает сравнительно большой эффективностью, но время дрейфа электронов сильно зависит от энергии. Кроме того, два последних варианта [10, 11] имеют об-

щий недостаток: регистрируемые β -частицы входят в ППД под малым углом к поверхности, что приводит к усилению зависимости обратного рассеяния от энергии.

Спектрометрическая аппаратура. Исходя из требования физической задачи, мы применяли различные комбинации детекторов, спектрометрических каналов и анализирующей аппаратуры (рис. 17). Электронные блоки выбирали на основании следующих требований: получение оптимального отношения сигнал/шум, хорошие загрузочные характеристики системы (до $5 \cdot 10^4$ имп/сек), температурная стабильность и линейность. На первой стадии все аналоговые и вспомогательные блоки изготавливались нами [4]. В дальнейшем мы применяли некоторые электронные блоки и детекторы γ -квантов различных фирм, а именно: ORTEC, «Princeton Gamma-Techn» и «Polon». В ЛУ применяется дискретная

система переключения усиления, что обеспечивает простоту обращения во время эксперимента и удовлетворяет требованиям, возникающим при измерениях характеристик излучения (нелинейность системы, удобство при измерениях $T_{1/2}$ и т. п.). Контроль за загрузкой спектрометра ведется с помощью стрелочного интенсиметра (I), подключаемого в момент измерения к соответствующему каналу. Вся анализирующая аппаратура (анализаторы TRIDAC-C и DIDAC) изготовлена фирмой «Intertechnique». Для передачи цифровой информации в ЭВМ «Минск-2» построена специальная односторонняя связь с помощью магнитофона RG-23 [12].

Рассмотрим коротко аппаратурные эффекты, приводящие к ухудшению формы спектральной линии [5]:

а) временная стабильность проверяется с помощью источников $^{57}\text{Co} + ^{137}\text{Cs} + ^{60}\text{Co}$ и Ge(Li)-детектора в течение 30 ч: время измерения 20 мин, интервалы между измерениями 10 мин. Результаты эксперимента приведены на рис. 18. Данные дают основание говорить о случайности разброса после установления температурного режима в течение 5 ч, следовательно, этот фактор

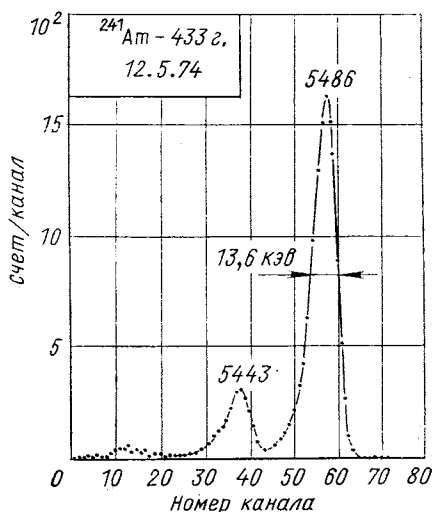


Рис. 14. Спектр α -частиц ^{241}Am , измеренный $80 \text{ mm}^2 \times 0,1 \text{ mm}$ Si(Au)-детектором:

$T_1 = 3$ года; $T_2 = 60$ мин; $P = 5$ см

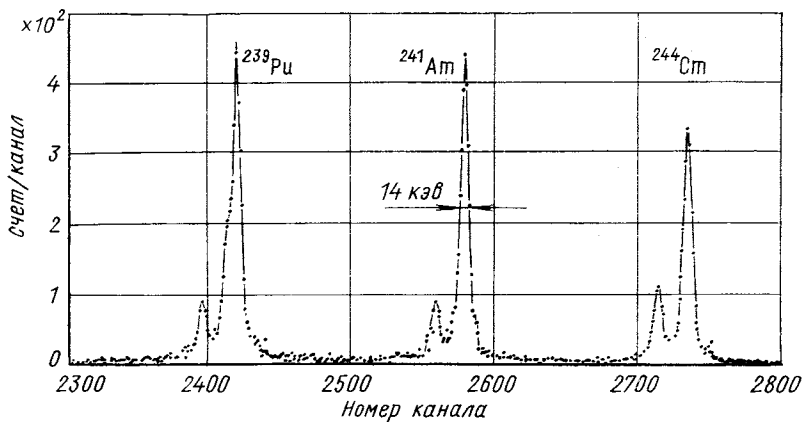


Рис. 15. Спектр α -частиц ^{239}Pu , ^{241}Am и ^{244}Cm , измеренный $30 \text{ мм}^2 \times 4 \text{ мм}$ имплантированным Ge(Li)-детектором

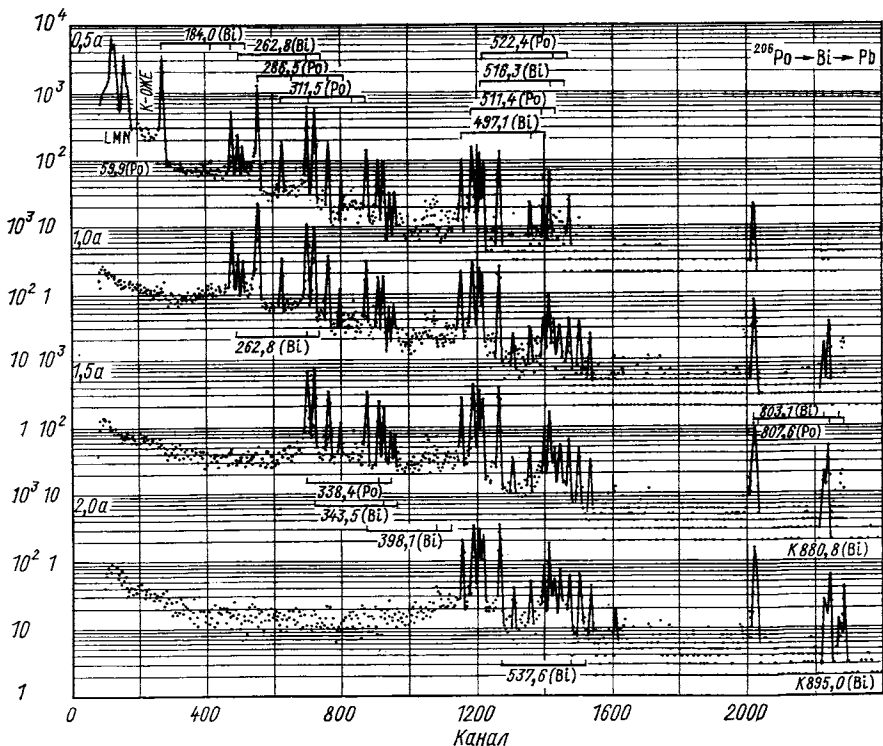


Рис. 16. Спектр ЭВК $^{206}\text{Po} + ^{206}\text{Bi}$, измеренный с помощью $80 \text{ мм}^2 \times 4 \text{ мм}$ Si(Li)-детектора в однородном магнитном поле при различных значениях H

можно рассматривать как добавочный вклад в энергетическое разрешение при длительных измерениях, который слабо влияет на точность результатов;

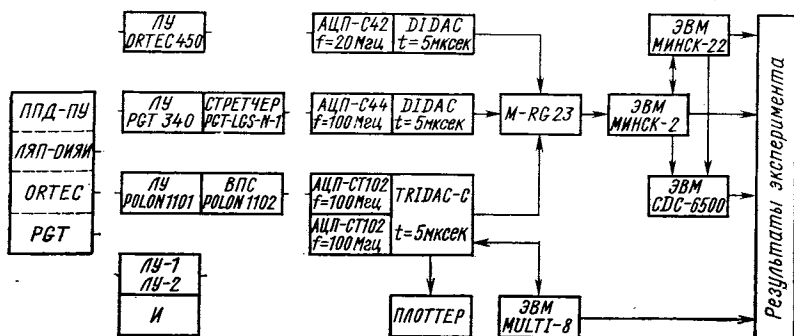


Рис. 17. Спектрометрическая аппаратура для исследования излучений радиоактивных нуклидов:

f — частота генераторной серии АЦП; t — время обращения к ЗУ; M — магнитофон

б) температурная стабильность проверяется в аналогичных условиях; результаты показаны на рис. 19. Очевидна необходимость поддерживать температуру в помещении при рабочих измерениях в пределах $< \pm 1^{\circ}\text{C}$;

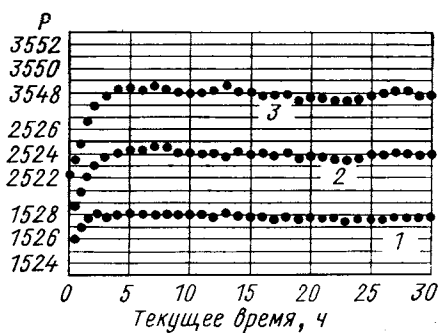


Рис. 18. Временная стабильность спектрометра с Ge(Li)-детектором и системы TRIDAC-C:

1 — $E = 122$ кэв; 2 — $E = 661$ кэв;
3 — $E = 1332$ кэв; P — положение максимума спектральной линии

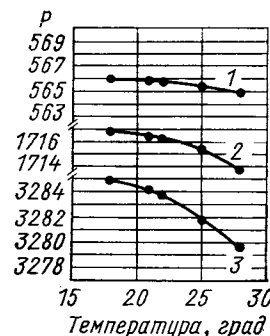


Рис. 19. Температурная стабильность спектрометра с Ge(Li)-детектором и системы TRIDAC-C (обозначения те же, что и к рис. 18)

в) загрузочные характеристики спектрометров существенно влияют на точность определения положения макси-

мума P и площади S спектральной линии, если время измерения не меньше $T_{1/2}$ исследуемого нуклида. Для примера на рис. 20 показаны зависимости P и σ от загрузки спектрометра и постоянной формирования. Как видно, пределы изменения скорости

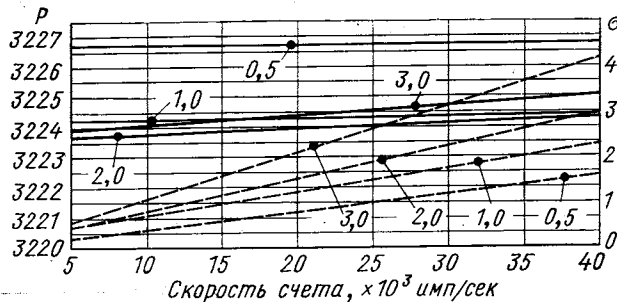


Рис. 20. Зависимость смещения максимума δP (— — —) и σ (—) спектральной линии от скорости счета для спектрометра с Ge(Li)-детектором (при различных значениях τ)

счета определяют максимально достижимую точность в определении P , а следовательно, и энергии излучения. Отсюда вытекают два пути уменьшения влияния этого эффекта: уменьшение

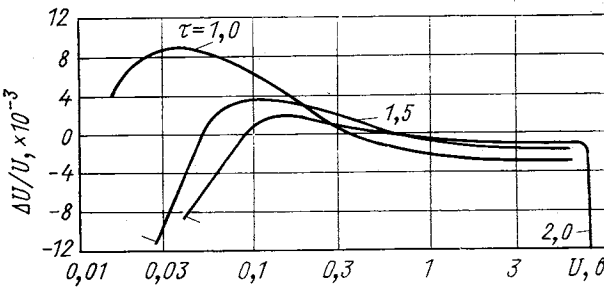


Рис. 21. Зависимость $\Delta U/U$ от U при различных значениях τ для преобразователя аналог — код с линейным промежуточным преобразованием во временной интервал

значения τ , если сложность спектра допускает ухудшение энергетического разрешения, или применение устройства, которое обеспечивало бы постоянство загрузки автоматическим изменением расстояния от источника до детектора [5];

г) нелинейность спектрометрической системы. Анализ стадии запоминания преобразователя аналог — код (АЦП) с линейным

промежуточным преобразованием во временной интервал показывает [13], что отклонение от линейной характеристики $\Delta U/U$ при больших амплитудах входных импульсов увеличивается при уменьшении времени нарастания импульсов (рис. 21). При малых амплитудах меняется знак $\Delta U/U$, что вызвано ростом вклада переходных процессов из-за наличия нелинейного элемента

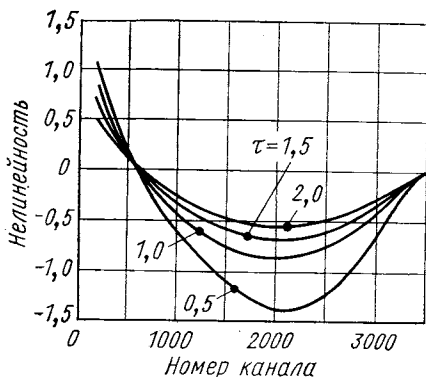


Рис. 22. Зависимость нелинейности спектрометра с Ge(Li)-детектором от постоянной формирования τ

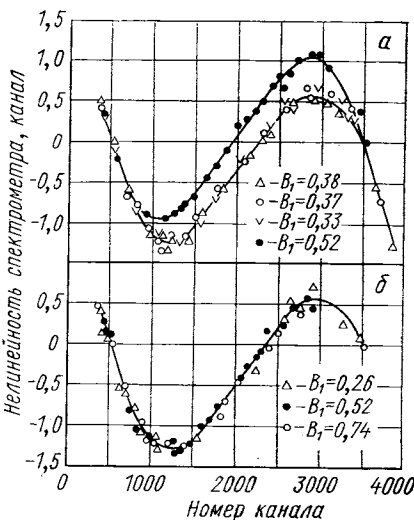


Рис. 23. Зависимость нелинейности спектрометра с Ge(Li)-детектором от коэффициента усиления:
а — КУ изменяется в формирующем усилителе; б — КУ изменяется с помощью частотно-независимого аттенюатора

в цепи запоминания. Резкое увеличение $\Delta U/U$ в области больших напряжений (показано только для формирования с $\tau = 2$ мксек) определяется ограничением по максимуму в усилителе зарядной цепи преобразователя. Аналогичным образом выглядит отклонение от линейности, обусловленное ограничением амплитуд в оконечном каскаде ЛУ. Экспериментально измеренная зависимость нелинейности от $\tau = 0,5; 1,0; 1,5$ и $2,0$ мксек показана на рис. 22. Такой же эффект наблюдается при регулировке коэффициента усиления (КУ), если изменяется переходная характеристика формирующего усилителя (рис. 23).

Факторы, влияющие на энергетическое разрешение спектрометров с ППД, приведены в табл. 2 [39].

2. ОБРАБОТКА СПЕКТРАЛЬНОЙ ЛИНИИ С ПОМОЩЬЮ ЭВМ

Точность измерения энергий и интенсивностей моноэнергетических излучений радиоактивных нуклидов определяется характеристиками ППД, методикой измерения и, главным образом,

Таблица 2

Факторы, влияющие на энергетическое разрешение полупроводниковых спектрометров

Радиоактивный источник. Флуктуации потерь энергии в источнике	Причина возникновения
ППД 1. Флуктуации потерь энергии во входном окне ППД 2. Флуктуации числа освобожденных пар носителей в ППД 3. Флуктуации эффективности сортирования носителей 4. Шумы ППД	А. Непостоянство толщины источника Б. Статистические флуктуации потерь энергии в толщине источника А. Непостоянство толщины входного окна Б. Статистические флуктуации потерь энергии в толщине входного окна В. Разброс в углах падения Передача энергии решетке за счет: а) взаимодействия с электронами; б) рассеяния на ядрах. Обычно а) \gg б) А. Статистика рекомбинации и прилипания Б. Неоднородности (локальные флуктуации времени жизни носителей) В. Краевые эффекты Обычно А \ll Б А. Обратный ток: а) объемный ток — диффузионный и генерационный; б) поверхностный ток Б. Контактные шумы
Предусилитель 1. Шумы ПУ	А. Тепловой шум резисторов на входе ПТ Б. Дробовой шум тока затвора В. Тепловой шум канала ПТ Г. Микрофонные шумы Д. Шум элементов, следующих за ПТ А. Стабильность C_0 Б. Температура стабильности элементов ПУ
Линейный усилитель 1. Характеристики ЛУ	А. Приведенный шум на входе ЛУ Б. Тип формирователя В. Стабильность нулевой (базовой) линии Г. Компенсация полюса нулем
АЦП 1. Определяет параметры выходного импульса ЛУ 2. Температурная стабильность	

применением ЭВМ для обработки спектральных линий. Существует несколько способов моделирования пиков [14]. Однако вследствие математической простоты, очевидности физической интерпретации параметров и минимальных требований к объему памяти и быстродействию ЭВМ наиболее широкое применение получила аппроксимация пика симметричным гауссианом.

Для аппроксимации спектральной линии применяем интегрируемое в пределах одного канала распределение Гаусса (программа «Каток» [15, 16]):

$$N(k) = \frac{S}{\sigma \sqrt{2\pi}} \int_{k-h}^k \exp \left[-\left(\frac{K-p}{\sigma \sqrt{2}} \right)^2 \right] dx + \sum_{i=0}^l a_i k^i, \quad (6)$$

где $N(k)$ — число импульсов в канале k ; S — число импульсов под пиком; $\sigma = h(2\sqrt{2\ln 2})^{-1}$; h — ширина пика на полувысоте; p — положение максимума пика; $\sum_{i=0}^l a_i k^i$ — полином степени l , описывающий фон под пиком. Значение l выбирается по анализу σ (или h), зависимость которых от энергии следует исследовать экспериментально (см., например, рис. 1). Участки, где σ различаются, обрабатывают заново с другими начальными приближениями.

Подготовка исходного материала по программе «Разметка» [17] заключается в задании начальных приближений с помощью дисплея со световым пером и их записи на магнитную ленту. Ввиду малости участков (меньше 96 каналов) можно считать корректным условие постоянства σ . Исключением являются область характеристического излучения (рентгеновское излучение — структурные линии) и область энергии 511 кэв (пик аннигиляции, естественно, уширен). Обработка всех размеченных участков происходит автоматически. В виде конечных результатов печатаются параметры θ^2 , σ , $\Delta\sigma$, P , ΔP , S , ΔS , a_i , Δa_i , где

$$\theta^2 = \left\{ \sum_{k_h}^{k_k} [N(k) - N^{\text{аппр}}(k)] \right\} / (k_k - k_h - nm - l); \quad (7)$$

здесь $N^{\text{аппр}}$ — аппроксимированное число импульсов в канале; n — число пиков на участке; k_k и k_h — номера каналов конца и начала участка; m — число параметров. Кроме того, с помощью специальной программы значения P , ΔP , S , ΔS и σ сортируются в памяти ЭВМ для последующей обработки. Заметим, что использованный в программе метод применим к вырожденным задачам и позволяет определить число пиков на участке [18].

Исследованы зависимости ΔP и $\Delta S/S$ от S и отношения максимального значения амплитуды пика при отсутствии фона к ампли-

туде фона под пиком, а также $\Delta P/\sigma$ и $\Delta S/S$ от σ (рис. 24—26). Измерения проводили с помощью Ge (Li)-детектора и источника ^{67}Co (с энергией 122 кэВ). Зависимости $\Delta S/S$ и $\Delta P/\sigma$ от σ исследовали при $S = 1,6 \cdot 10^5$ имп, когда статистический разброс мало

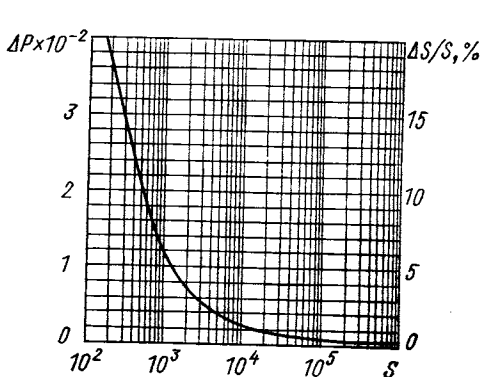


Рис. 24. Зависимость погрешности определения площади $\Delta S/S$ и положения максимума пика ΔP от S при использовании программы «Каток» ($\sigma = 3,3$ канала; пик/фон = 100)

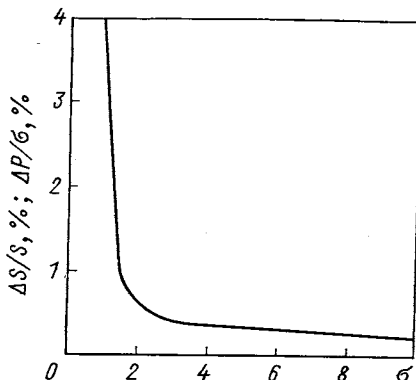


Рис. 25. Зависимость $\Delta S/S$ и $\Delta P/\sigma$ от σ при использовании программы «Каток» ($S = 1,6 \cdot 10^5$ имп)

сказывается на точности результатов (см. рис. 25). При исследовании зависимостей $\Delta S/S$ и ΔP от пик/фон ранее измеренный пик с энергией 122 кэВ (^{67}Co , $S = 1,6 \cdot 10^5$ имп) поднимали на непрерывном комптоновском распределении от источника ^{60}Co (усиление было выбрано таким образом, что пик от ^{67}Co находился на гладком участке комптоновского распределения). На рис. 26 показана также устойчивость обработки ($P \pm \Delta P$; $S \pm \Delta S$) от отношения пик/фон. Полученные результаты позволяют правильно выбрать время экспозиции (см. рис. 24), цену канала (см. рис. 25) и детектор (см. рис. 26).

При обработке спектров от полупроводниковых спектрометров с высоким энергетическим разрешением имеются трудности, связанные с асимметрией пика со стороны низких энергий (см., например, рис. 12). Причинами асимметрии спектральной линии являются: плохой сбор носителей заряда в ППД; наличие толстого выходного окна в ППД при регистрации заряженных частиц; применение толстых источников при спектрометрии заряженных частиц; наличие утечки характеристического излучения при регистрации низкоэнергетических излучений на границе чувствительного слоя; наложение импульсов на выходе ЛУ (рис. 27, а); плохая компенсация полюса нулем и, вследствие этого,

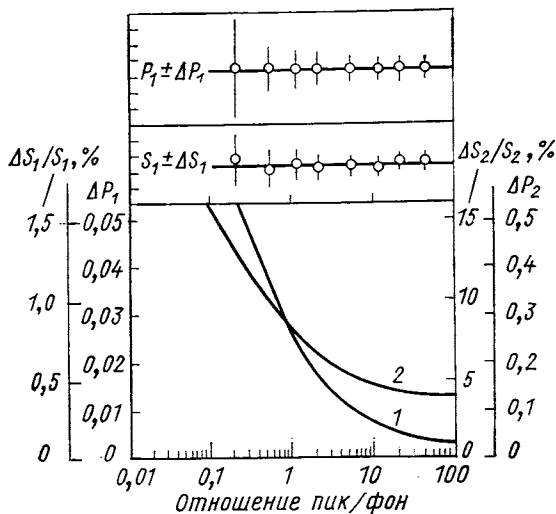


Рис. 26. Погрешность и устойчивость определения площади и положения максимума пика от отношения амплитуды пик/фон при использовании программы «Каток»:

1 — $S_1 = 1.2 \cdot 10^8$ имп, $\sigma_1 = 2.96$ канал; 2 — $S_2 = 1.1 \cdot 10^4$ имп, $\sigma_2 = 3.05$ канал

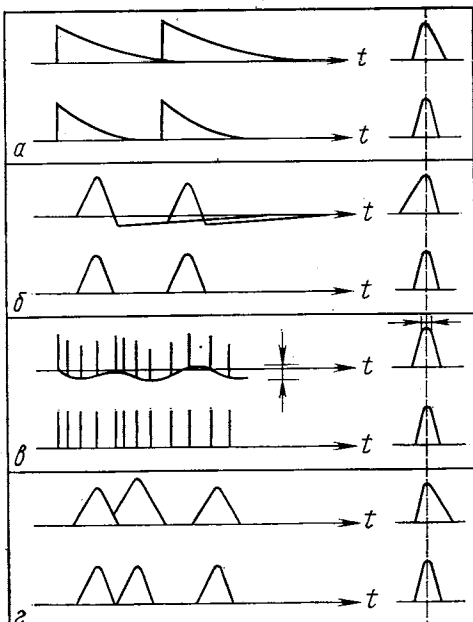


Рис. 27. Аппаратурные эффекты, приводящие к асимметрии спектральной линии:

а — наложение импульсов на выходе ПУ; б — компенсация полюса нулем; в — колебания нулевой (базовой) линии; г — наложение в ПУ при заданном значении t

наложение импульсов в ЛУ (рис. 27, б); колебания базовой линии (рис. 27, в); высокая загрузка спектрометра при заданном τ (наложение импульсов, рис. 27, г); нестабильность спектрометрической аппаратуры во времени; температурная стабильность. Для оценки возможности применения программы «Каток» в таких задачах асимметричные пики получались изменением компенсации полюса

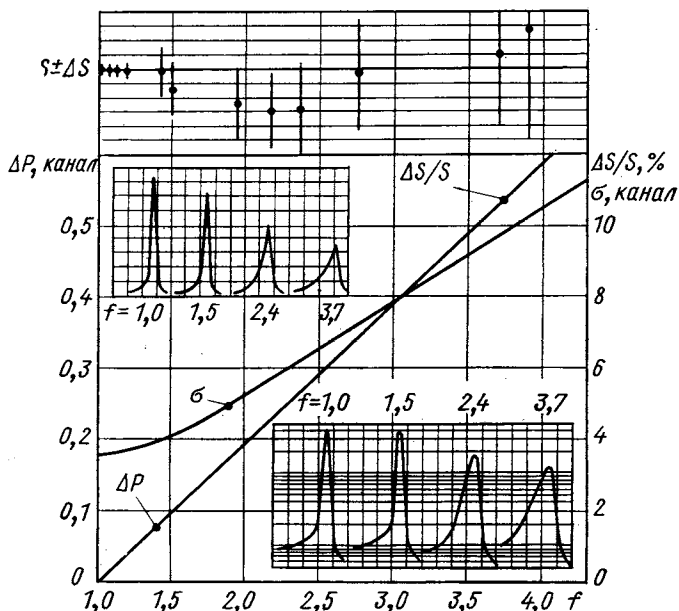


Рис. 28. Зависимость погрешности и устойчивости определения площади и максимума пика от его асимметрии f (отношения левого и правого полуоснований пика на $1/10$ высоты) при использовании программы «Каток» ($S = 10^5 \text{ имп}$). Для наглядности некоторые аппаратурные пики показаны как в линейном, так и в логарифмическом масштабе

нулем при постоянной загрузке. Результаты обработки показаны на рис. 28; в качестве параметра асимметрии принимается отношение левого и правого полуоснований пика на $1/10$ высоты, отсчитываемое от канала с максимальным значением счета. Как видно, наиболее допустимая асимметрия f должна быть меньше 1,5. Если же $f > 1,5$, погрешности резко возрастают, но полученное значение S совпадает с истинным в пределах погрешности.

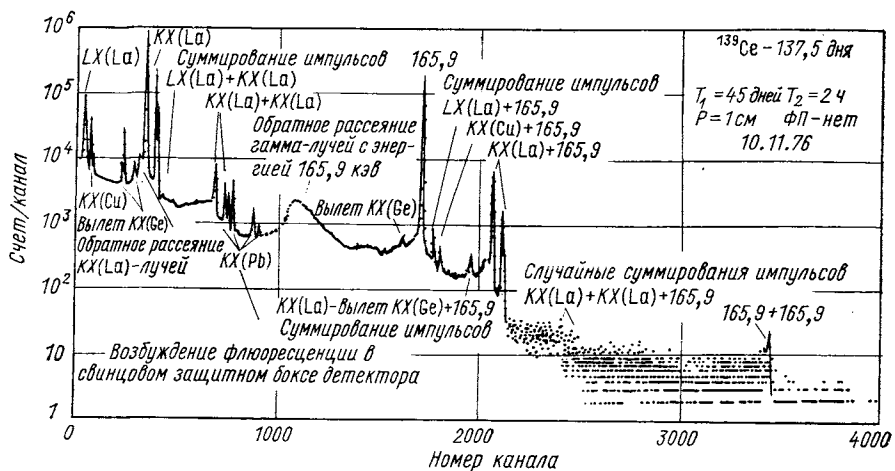


Рис. 29. Спектр γ -излучения ^{139}Ce , измеренный с помощью $200 \text{ mm}^2 \times 5 \text{ mm}$ Ge(Li)-детектора

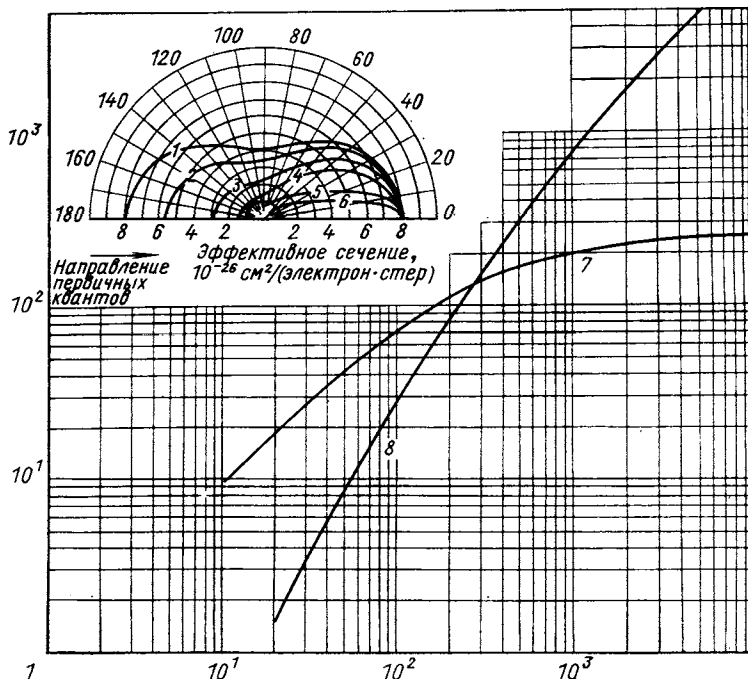


Рис. 30. Дифференциальное сечение комптоновского рассеяния фотонов на угол θ :

1—0 кэВ; 2—50 кэВ; 3—200 кэВ; 4—500 кэВ; 5—2000 кэВ; 6—5000 кэВ; 7 — энергия обратно рассеянных квантов; 8 — максимальная энергия комптоновских электронов

3. ЭФФЕКТЫ, ИСКАЖАЮЩИЕ ФОРМУ АППАРАТУРНОГО СПЕКТРА

При измерении спектров излучений радиоактивных нуклидов с помощью ППД можно выделить три группы эффектов (радиоактивный источник, ППД и их взаимное расположение), которые искажают форму аппаратурного спектра. Необходимость более детального рассмотрения этих эффектов видна, например, из анализа спектра γ -квантов ^{139}Ce , измеренного с помощью $200 \text{ mm}^2 \times 5 \text{ mm}$ Ge(Li)-детектора (рис. 29). Источник нанесен на медную подложку толщиной 500 мкм. При распаде ^{139}Ce имеется всего один γ -переход. В приведенном же спектре наблюдается более двадцати различных пиков.

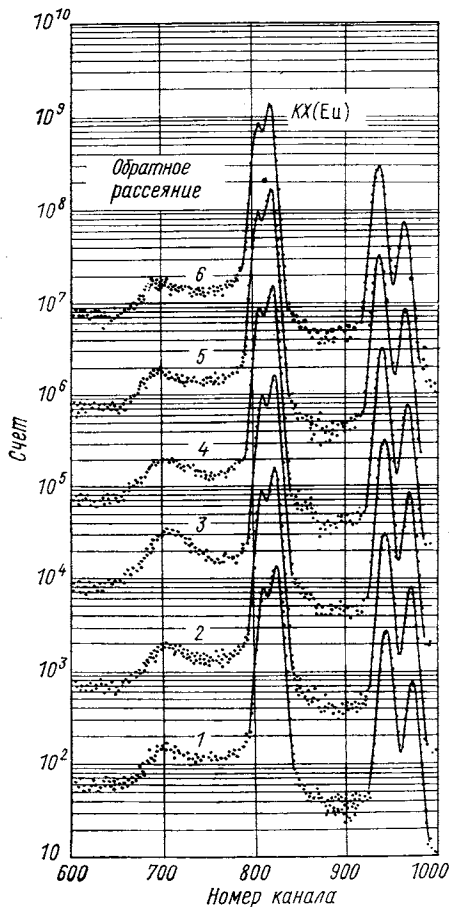


Рис. 31. Зависимость формы аппаратурного спектра от материала и толщины подложки источника:

1 — Al, 18 мкм; 2 — Al, 100 мкм; 3 — Al, 1000 мкм; 4 — Cu, 500 мкм; 5 — Au, 8 мкм;
6 — Cd, 500 мкм

1.2. Сопровождающие излучения. При исследовании спектров γ -квантов на детекторах с тонким входным окном возникают трудности из-за попадания β -частиц в чувствительную область

1. Гамма-спектроскопия. Эффекты, связанные с радиоактивным источником, следующие.

1.1. Рассеяние от подложки источника. Дифференциальное сечение на единицу телесного угла для фотонов, рассеянных на угол θ , показано на рис. 30. Видно, что из-за обратного рассеяния выбор материала Z и толщины подложки может существенно влиять на поведение непрерывного распределения в области спектральной линии (рис. 31) и это может приводить к неоднозначности при выборе параметров фона для обработки данных с помощью ЭВМ.

ППД (см. рис. 9). Кроме ухудшения фоновых условий эффект приводит к трудности применения спектрометров с высоким разрешением (< 300 эв) из-за накопления заряда от более высокоэнергетических β -частиц на затворе ПТ.

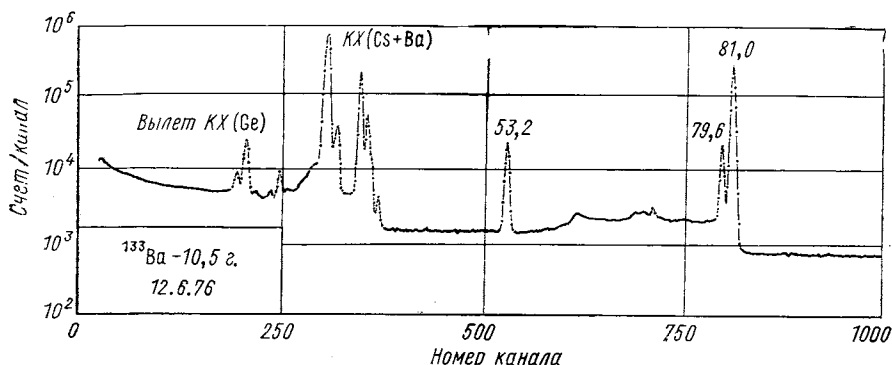


Рис. 32. Спектр низкоэнергетических γ -квантов ^{133}Ba (источник с носителем), измеренный $200 \text{ mm}^2 \times 5 \text{ mm}$ Ge(Li)-детектором. Пики КХ(Ba) вызваны флюресценцией в источнике:

$T_1 = 5$ лет; $T_2 = 4$ ч; $P = 6$ см

1.3. Рассеяние в источнике. Эффект приводит к искажению формы непрерывного распределения в области спектральной линии и к искажению интенсивности γ -линий в результате поглощения. В частности, особую предосторожность нужно соблюдать при исследовании спектров γ -квантов от источников с носителем.

1.4. Возбуждение характеристического рентгеновского излучения в подложке (см. рис. 29) и в самом источнике (рис. 32). Видно, что при измерении спектров γ -квантов источников с носителем интенсивность рентгеновских линий существенно может искажаться из-за флуоресценции в веществе самого источника при использовании спектрометра с недостаточным энергетическим разрешением.

Эффекты, связанные с характеристиками ППД, следующие.

1.5. Зависимость сечений фотоэффекта, комптоновского рассеяния и образования пар от Z ППД и энергии регистрируемых квантов приведена на рис. 33. С ростом E роль фотоэффекта уменьшается, но пик полного поглощения сохраняет заметное значение за счет многократного комптоновского рассеяния в чувствительной области ППД. От выбора геометрических размеров кристалла зависят энергетическое разрешение и эффективность ППД. Для характеристики спектрометра высокоэнергетических γ -квантов обычно приводят отношение амплитуды пика (P) к амплитуде комптоновского края (K) для перехода энергии 1332 кэВ ^{60}Co ,

являющееся комплексной характеристикой энергетического разрешения и эффективности (см. рис. 10). Качество же спектрометра низкоэнергетических γ -квантов характеризуют энергетическое разрешение и чувствительная поверхность.

1.6. Вылет аннигиляционного излучения при образовании пар в материале ППД ($E > 1022$ кэВ). Эффект образования пар конкурирует с многократным комптоновским рассеянием; при соблюдении ряда предосторожностей, которые учитывают кинематику образования пар и процесс их детектирования, его успешно можно использовать для измерения энергий и интенсивностей γ -квантов. Обратим внимание на форму спектральной линии ДВ: фоновая подложка правой части пика поднята за счет комптоновского рассеяния аннигиляционных квантов до их вылета из ППД (рис. 34). Кроме того, интенсивности пиков ОВ и ДВ сильно зависят от конфигурации и чувствительного объема Ge(Li)-детектора.

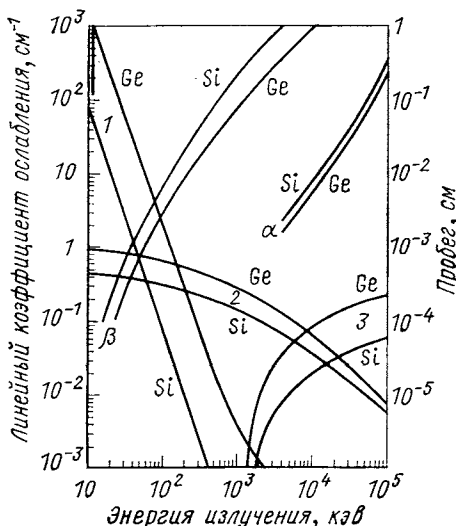


Рис. 33. Зависимость линейного коэффициента ослабления γ -квантов и пробега R для электронов и α -частиц от энергии для Si и Ge:

1 — фотоэффект; 2 — комптон-эффект; 3 — образование пар

области, когда фотоэффект происходит на границе чувствительной области и вероятность вылета характеристического излучения велика (см. рис. 29 и 32).

1.8. Рассеяние во входном окне ППД. Аналогично п. 1.3.

1.9. Эффективность сортирования заряда в чувствительном объеме ППД. Если предположить, что соблюдены условия высококачественных измерений (компенсация полюса нулем, отсутствие рассеивающих материалов на пути от источника к ППД, малая загрузка), то уширение спектральной линии определяется в основном эффективностью сортирования заряда. Тогда в предположении гауссовой формы пика должны соблюдаться соотношения

$$\begin{aligned} a_1 &\equiv \Delta E (1/100)/\Delta E (1/10) = 1,41; \\ a_2 &\equiv \Delta E (1/10)/\Delta E (1/2) = 1,83, \end{aligned} \quad (8)$$

где ΔE — ширина пика на указанной в скобках высоте амплитуды. Например, для Ge(Li)-детекторов объемом 1 и 37 см³ эти значения соответственно равны: $a_1 = 2,15 \pm 0,10$; $a_2 = 1,86 \pm 0,06$ и $a_1 = 2,15 \pm 0,06$; $a_2 = 1,85 \pm 0,05$. Видно, что коэффициенты a_2 согласуются с расчетными значениями для симметричного

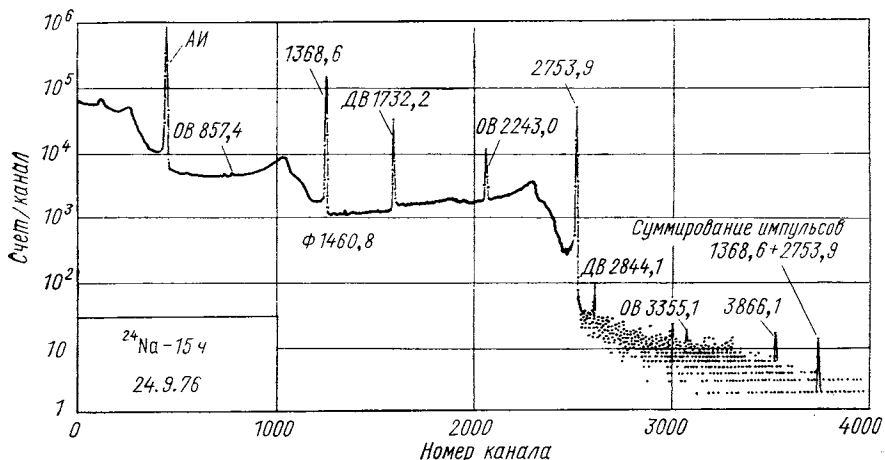


Рис. 34. Спектр γ -квантов ^{24}Na , измеренный с помощью 38 см³ Ge(Li)-датчика:

$$T_1 = 5 \text{ нс}; T_2 = 5 \text{ нс}; P = 10 \text{ см}$$

пика. Некоторую асимметрию пика с низкоэнергетической стороны можно вызвать вылетом фотоэлектронов (или комптоновских электронов при многократном рассеянии) из чувствительной области ППД. Разумеется, вклад этого фактора зависит от геометрических размеров кристалла и энергии регистрируемого излучения.

Внешние эффекты следующие.

1.10. Рассеяние во входном окне вакуумной камеры (Al, Be, майларе) и в фильтрах поглощения. Эффект определяет нижний энергетический порог спектрометра (рис. 35). При этом полученное подавление пиков полного поглощения не всегда устраняет эффекты суммирования (см. ниже) и не всегда пропорционально уменьшает загрузку спектрометра, так как идет процесс комптоновского рассеяния в фильтрах поглощения с последующей регистрацией. Заметим, что телесный угол регистрации рассеянного излучения зависит от расстояния фильтр — ППД.

1.11. Возбуждение характеристического рентгеновского излучения в материалах, окружающих ППД и источник. Рассмотрение аналогично п. 1.4. Чаще всего искажения возникают из-за флуо-

рессценции латуни ($\text{Cu} + \text{Zn}$) и индия, применяемых для изготовления оправки детектора [2].

1.12. Регистрация аннигиляционных квантов, возникающих при взаимодействии высокогенергетических квантов с окружаю-

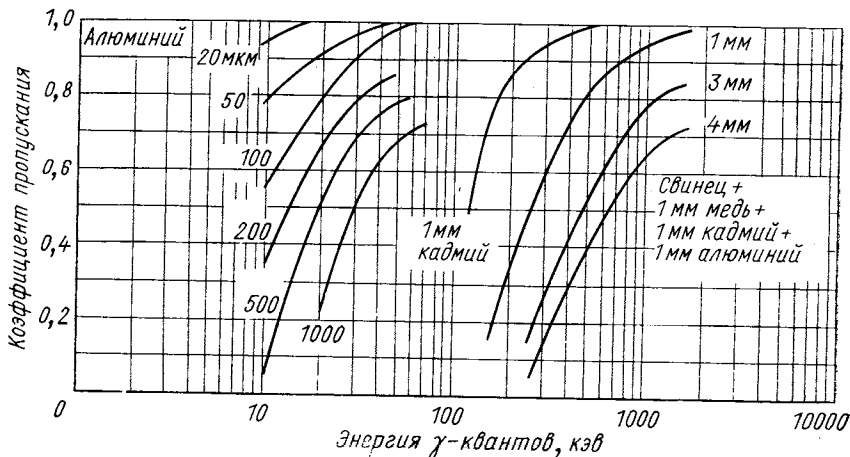


Рис. 35. Зависимость коэффициента пропускания моноэнергетических γ -квантов от толщины и состава поглощающих фильтров

щими ППД материалами. Эффект от защитного бокса ППД показан на рис. 36 (см. п. 1.16).

1.13. Рассеяние γ -квантов в окружающих ППД материалах. Конструкция и материал оправки ППД приводят к искажению аппаратурного спектра из-за комптоновского рассеяния, телесный угол регистрации которого велик. Это необходимо учитывать при конструировании спектрометра [2,4].

1.14. Внешнее тормозное излучение. Эффект существует только при исследовании малоинтенсивных переходов при интенсивном β -излучении.

1.15. Зависимость положения максимума спектральной линии от геометрии измерения. Этот эффект для различных типов ППД исследован в работе [18]. Например, для планарных детекторов эффект максимальен, если направление движения γ -квантов совпадает с направлением приложенного напряжения, и исчезающе мал, если направления взаимно перпендикулярны. С учетом этого факта нами выбраны условия измерения энергий γ -квантов на планарных детекторах (см. рис. 6, б).

В коаксиальных детекторах эффект существует для кристаллов с одним открытым торцом и пренебрежим для кристаллов с двумя открытыми торцами. Эффект поля нами исследован для 37 см^3 Ge(Li)-детектора с двумя открытыми торцами, при $E =$

= 1173 кэв (^{60}Co). Если эффект геометрии в измерении энергий γ квантов есть, то для исследуемого случая его значением, равным $0,003 \pm 0,008$ кэв при расположении источника сбоку от детектора и $0,004 \pm 0,008$ кэв при изменении расстояния по фронту от 6 до 30 см, можно пренебречь.

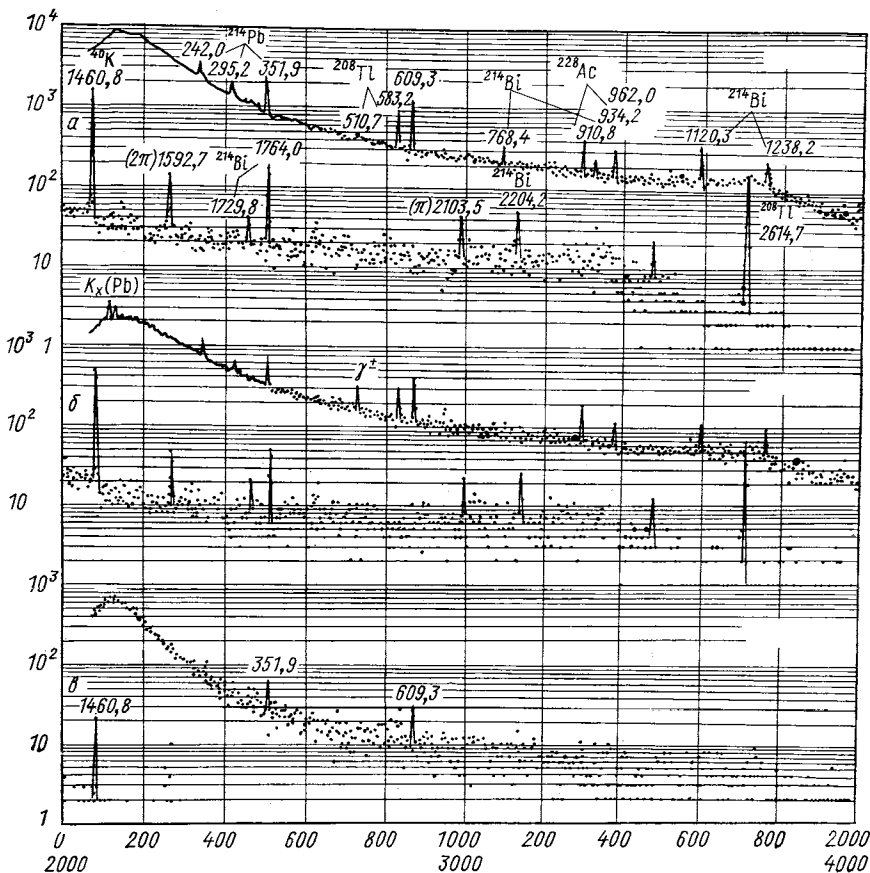


Рис. 36. Спектр γ -квантов естественного радиоактивного фона, измеренного Ge(Li)-детектором (37 см^3) без защиты (a) и со свинцовой защитой (b) и Ge(Li)-детектором (1 см^3) без свинцовой защиты (c)

1.16. Естественный радиоактивный фон может иметь существенное значение в искажении интенсивностей слабых γ -линий при длительных измерениях. Основными источниками фона являются ^{40}K и продукты распада ^{226}Ra и ^{232}Th . Аппаратурные спектры для различных условий измерений показаны на рис. 36.

Как видно, применение защиты из естественного свинца существенно подавляет радиоактивный фон. При этом возникают искажения, связанные с возбуждением характеристического излучения Pb (см. п. 1.11), комптоновским рассеянием и образованием пар в Pb (возрастает пик 511 кэв, см. п. 1.12). В некоторых задачах по исследованию малоинтенсивных γ -переходов успешным оказывается применение Ge(Li)-детектора с малым чувствительным объемом, ибо фон пропорционален объему ППД (рис. 36, б).

1.17. Искажение интенсивностей γ -квантов при исследовании цепочек α -радиоактивных нуклидов за счет ядер отдачи. Эффект вызван вылетом ядер отдачи из источника и их попаданием на крышку спектрометра. В результате телесный угол регистрации дочерних продуктов оказывается больше телесного угла для материнского изотопа. Эффект устраивается экранированием препарата майларовой пленкой толщиной около 1 $\text{мг}\cdot\text{см}^{-2}$.

1.18. Суммирование импульсов [20]. Аппаратурный спектр может заметно искажаться за счет истинных (регистрация каскадных γ -квантов, если время жизни промежуточного состояния много меньше разрешающего времени спектрометра τ) и случайных (регистрация некоррелированных процессов в пределах τ) совпадений.

Число совпадений двух квантов с каскадной интенсивностью A в предположении их изотропного распределения можно записать:

$$A_{\gamma_1\gamma_2} = \frac{A}{(1+\alpha_1)(1+\alpha_2)} \frac{\Omega\Phi_1}{4\pi} \frac{\Omega\Phi_2}{4\pi_i} \times \\ \times \left[\frac{K_1}{\Phi_1} \frac{K_2}{\Phi_2} + \frac{K_1}{\Phi_1} + \frac{K_2}{\Phi_2} + 1 \right], \quad (9)$$

где α_i — полный коэффициент конверсии i -го перехода; Ω — телесный угол регистрации; Φ_i — эффективность регистрации i -го кванта в результате полного поглощения; K_i — эффективность регистрации i -го кванта в результате комптоновского рассеяния. Отсюда легко оценить вклад всех эффектов: член $(K_1/\Phi_1)(K_2/\Phi_2)$ ответствен за совпадение комптоновских распределений E_1 и E_2 и не представляет интереса; член K_i/Φ_i — за совпадение комптоновского рассеянного кванта с полностью поглощенным другим квантом; единица — за совпадение полностью поглощенных каскадных квантов. Например, для Ge(Li)-детектора (37 см^3 , источник ^{60}Co , расстояние источник — ППД равно 7 см; рис. 37) дефицит в I_γ (1332 кэв) за счет перекачки в пик сумм составляет 0,04%. В то же время дефицит за счет совпадений K (1173 кэв) и Φ (1332 кэв) составляет 0,66%. Предполагается, что случайные совпадения отсутствуют (загрузка $< 10^3$ имп/сек).

Для моноэнергетических γ -квантов с энергией E_1 возможны следующие суммирования за счет случайных совпадений: $K_1 + K_1$, $K_1 + \Phi_1$, $\Phi_1 + \Phi_1$. В случае регистрации γ -квантов с энер-

гий E_2 кроме аналогичных событий возможны еще: $K_1 + K_2$, $K_1 + \Phi_2$, $K_2 + \Phi_1$, $\Phi_1 + \Phi_2$ (рис. 38). Из указанных эффектов существенными являются $\Phi_i + K_j$ и $\Phi_1 + \Phi_2$, ибо они приводят

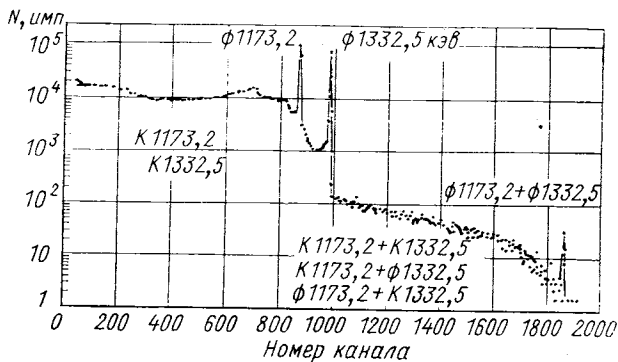


Рис. 37. Искажение аппаратурного спектра в результате суммирования импульсов за счет истинных совпадений (37-cm^3 Ge(Li)-детектор, загрузка 10^3 имп. \cdot сек $^{-1}$, расстояние источник — ППД 7 см ϕ — пик полного поглощения)

к перекачке импульсов из пика полного поглощения. Для совпадений типа $K_i + \Phi_j$ и $K_i + K_j$ можно записать $N_{\text{сл}} = 2\tau_1 N_i N_j$; для $\Phi_i + \Phi_j$ будет $N_{\text{сл}} = 2\tau_2 N_i N_j$. Здесь τ_1 — временной сдвиг

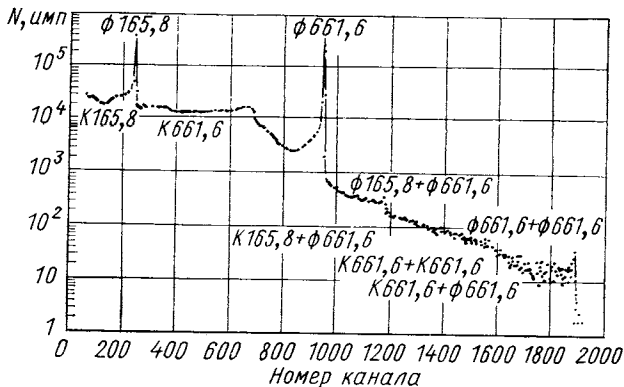


Рис. 38. Искажение аппаратурного спектра в результате суммирования импульсов за счет случайных совпадений (37-cm^3 Ge(Li)-детектор, загрузка $2 \cdot 10^4$ имп. \cdot сек $^{-1}$)

между просуммированными импульсами, когда еще происходит анализ в АЦП искаженного суммарного импульса; τ_2 — время,

в пределах которого сумма двух импульсов из пика полного поглощения дает пик с аппаратурной шириной. Для 37 см³ Ge(Li)-детектора при загрузке 2 · 10⁴ имп · сек⁻¹ экспериментальная оценка дает $\tau_1 = 3$ и $\tau_2 = 0,8$ мксек. Отсюда дефицит в интенсивности линии 661,6 кэв за счет перекачки в распределение случайных совпадений составляет 3,4%, а в пик случайных совпадений перекачивается 0,05%.

2. Бета-спектрометрия. Эффекты, связанные с радиоактивным источником, следующие.

2.1. Рассеяние от подложки источника. Рассеяние β -частиц в области энергий от 10 кэв до 10 Мэв определяется в основном упругим соударением с атомными ядрами [21]. Различают однократное, кратное, многократное рассеяние и диффузию. В подложке источника могут иметь место все типы рассеяния, и это приводит к увеличению количества низкоэнергетических β -частиц. Учет эффекта подложки обязателен в исследовании непрерывных β -спектров, но это связано с большими экспериментальными трудностями [22]. При исследовании же спектров ЭВК достаточно соблюдать самые общие требования: возможно меньшие значения толщины и Z подложки из электропроводящих материалов. В частности, применяемые нами источники изготавливают на подложке из Al толщиной 18 мкм.

2.2. Рассеяние в веществе источника. При прохождении через слой вещества β -частицы теряют энергию в результате соударений с электронами среды и испускания тормозного излучения [21]. Эффект приводит к увеличению числа низкоэнергетических частиц, а также к асимметрии пика и его сдвигу в сторону низких энергий. Для уменьшения вклада этих эффектов, источники изготавливают методом электромагнитной масс-сепарации (энергия внедрения ионов равна 25 кэв).

2.3. Сопровождающие излучения. Особо сложной областью исследования спектров ЭВК является область ниже 100 кэв, где интенсивно характеристическое излучение и значения ЭВК велики. Имеются также трудности при исследовании спектров ЭВК на фоне интенсивного позитронного излучения и α -частиц, слабых позитронных спектров на фоне излучений ЭВК, γ -квантов и α -частиц. Для фильтрации сопровождающих излучений мы применяем магнитное бездисперсионное устройство (см. рис. 7,д). Нужно помнить, что все методы фильтрации сопровождающих излучений при исследовании спектров электронов не позволяют полностью устранить искажения спектра за счет комптоновских электронов от γ -квантов.

2.4. Возбуждение характеристического излучения в подложке и в самом источнике. Аналогично п. 1. 4.

Эффекты, связанные с характеристиками ППД, следующие.

2.5. Зависимость пробега от Z материала ППД и энергии

регистрируемых β -частиц (см. рис. 33). При исследовании спектров низкоэнергетических ($E_\beta < 1 \text{ МэВ}$) β -частиц применяют Si(Au)- и Si(Li)-детекторы, обладающие высокой эффективностью к исследуемому излучению и сравнительно низкой к сопровождающему. Спектрометрию же высокоэнергетических (более 500 кэВ) β -частиц удобно приводить с помощью толстых Si(Li)- и Ge (Li)-детекторов.

2.6. Рассеяние во входном окне ППД.

Аналогично п. 1.3.

2.7. Обратное рассеяние от поверхности ППД. Экспериментальные исследования показали, что при нормальном падении коэффициент обратного рассеяния не зависит от начальной энергии рассеиваемых электронов, но зависит от Z рассеивающего материала, причем $p^-/p^+ = 1,3$ [21] (знак «—» относится к электрону, «+» — к позитрону). Эффект, однако, сильно зависит от угла падения [23].

2.8. Торможение β -частиц и вылет тормозного излучения из чувствительной области ППД. Экспериментально эффект пока не исследован, но предполагается, что вклад его существенно возрастает при $E_\beta > 1 \text{ МэВ}$.

2.9. Вылет характеристического рентгеновского излучения из чувствительного объема ППД. При регистрации β -частиц процесс поглощения происходит на границе чувствительной области и вероятность вылета характеристического излучения велика (см. рис. 13). Кроме возникновения сателлитных пиков эффект приводит к появлению асимметрии спектральной линии с низкоэнергетической стороны.

2.10. Эффективность собирания заряда ППД зависит от параметров исходного материала, технологии изготовления и типа ППД, а также от краевых эффектов (коллимация пучка). В литературе пока нет сведений о вкладе этих факторов, хотя они, по-видимому, участвуют в формировании «хвоста» спектральной линии с низкоэнергетической стороны.

2.11. Зависимость положения максимума спектральной линии от направления смещения ППД. Конструкция оправки ППД и способ подключения напряжения смещения могут быть причинами сдвига максимума пика за счет торможения (или ускорения) β -частиц. При этом предполагается, что источник нанесен на подложку из проводящего материала и заземлен.

Внешние эффекты следующие.

2.12. Рассеяние в материале входного окна вакуумной камеры.

В ряде задач можно применить спектрометр с тонким входным окном. На рис. 39 показаны зависимость энергетического разрешения и сдвига максимума пика при использовании алюминированной майларовой пленки ($0,90 \text{ мг} \cdot \text{см}^{-2}$). Нужно помнить, что для таких спектрометров необходима светозащита окна, так как фотоэффект существенно влияет на режим ПТ.

2.13. *Возбуждение характеристического излучения материалов, окружающих ППД и источник.* Аналогично п. 1.11.

2.14. *Регистрация комптоновских электронов от рассеяния γ -квантов в материалах, окружающих ППД и источник.*

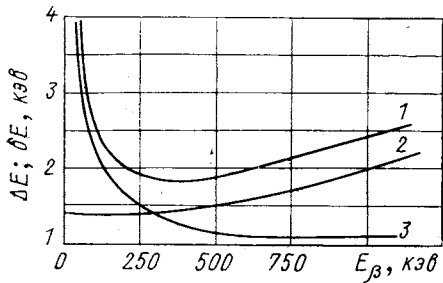


Рис. 39. Зависимость энергетического разрешения $\Delta E(1)$ и сдвиг максимума спектральной линии $\delta E(3)$ при измерении спектра ЭВК Si(Al)-детектором с майларовой пленкой ($0,90 \text{ мг}\cdot\text{см}^{-2}$) в качестве входного окна вакуумной камеры и зависимость энергетического разрешения с щитовым устройством (2)

2.15. *Радиоактивный фон.* Из-за малого чувствительного объема естественный радиоактивный фон (см. п. 1.16) не играет существенной роли при исследовании спектров ЭВК. Однако при

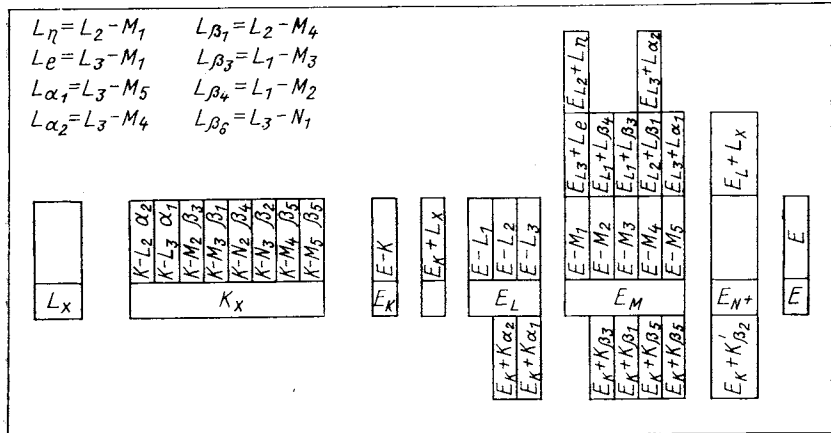


Рис. 40. Схема искажений аппаратурного спектра вследствие истинных совпадений $K(x)$ и $L(x)$ излучений с K -, L -, M - и N -ЭВК для перехода с энергией E :

прямоугольники средней полосы иллюстрируют энергетическое распределение излучений; искажения интенсивностей ЭВК в результате совпадений с K_x -излучением иллюстрируют прямоугольники нижней полосы, с L_x -излучением — верхней полосы. На рисунке приведены обозначения Зигбана для L_x -излучения

исследования цепочек α -радиоактивных нуклидов фон может значительно увеличиться за счет радиоактивных ядер отдачи (см. п. 1.17), накопившихся в вакуумной камере и на поверхности

ППД. Единственным методом подавления эффекта является применение тонких, поглощающих ядра отдачи пленок.

2.16. Суммирование импульсов. Здесь имеет место рассмотрение, аналогичное п. 1.18. Однако особое внимание нужно обратить на истинные совпадения L_x -и K_x -излучений с K -конверсионными электронами, а также L_x -излучения с L -конверсионными электронами, которые могут сильно искажить полученные значения I_K и I_L (рис. 40). Эффект определяет предел на применимые телесные углы при заданной точности определения I_K и I_L .

3. Альфа-спектроскопия. Эффекты, связанные с радиоактивным источником, следующие.

3.1. Рассеяние от подложки источника. Эффективное сечение упругого рассеяния α -частиц дается формулой Резерфорда, и вклад этого эффекта необходимо учитывать только при больших значениях телесного угла спектрометра ($\pi - 2\pi$). Для спектроскопии α -частиц ($\Omega \leq 0,04 \pi$) вкладом эффекта обратного рассеяния от подложки источника можно пренебречь.

3.2. Рассеяние в веществе источника. Эффект приводит к энергетическому сдвигу спектральных линий в сторону низких энергий и искажению интенсивностей α -линий вследствие рассеяния и поглощения. Во избежание этих эффектов мы изготавливаем источники методом электромагнитной масс-сепарации (энергия внедрения ионов равна 25 кэВ). Однако при исследовании цепочек α -радиоактивных ядер спектральные линии дочерних продуктов искажаются вследствие проникновения ядер отдачи в глубину подложки источника (рис. 41).

Эффекты, связанные с характеристиками ППД, следующие.

3.3. Зависимость пробега от Z материала ППД и энергии α -частиц показана на рис. 33. Хотя и имеются значительные достижения при изготовлении Si(Li)- и имплантированных Ge(Li)-датчиков, наибольший интерес с точки зрения прецизионной α -спектроскопии представляют Si(Au)-датчики, которые обладают сравнительно тонким входным окном и работают без охлаждения.

3.4. Рассеяние во входном окне. Еще до попадания в чувствительную область детектора α -частица взаимодействует с материалом входного окна, и это приводит как к потере энергии (сдвиг линии) и уширению пика, так и к возрастанию непрерывного распределения в спектре («хвосты»). Заметим, что причину возникновения «хвостов» связывают не только со значением и неоднородностью мертвого слоя, но и с качеством обработки поверхности и характеристиками исходного материала (однородностью, временем жизни носителей, плотностью дислокаций и др. [3]). Поэтому нельзя пока полно сформулировать технологические

условия, которые бы обеспечили хорошую функцию отклика альфа-спектрометра.

3.5. Эффективность сортирования носителей заряда является одним из основных источников асимметрии спектральной линии [24]. По-видимому, это явление связано с потерями носителей заряда в чувствительной области ППД вследствие их захвата

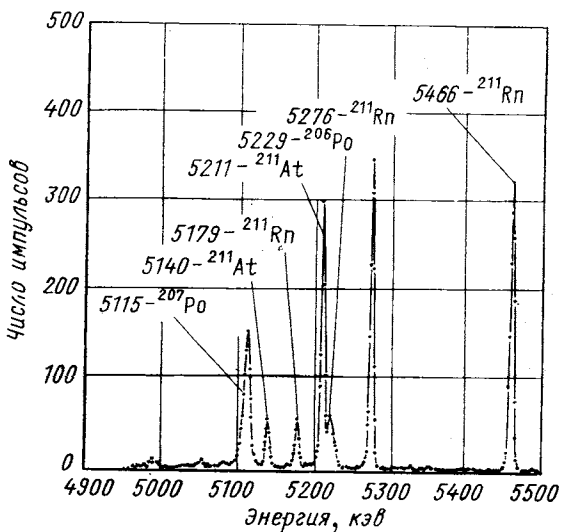


Рис. 41. Спектр α -частиц ^{211}Rn , измеренного с помощью магнитного $\pi V^2 \alpha$ -спектрографа [70]. Уширение α -линий 5115 кэВ (^{207}Po) связано с проникновением ядер отдачи ^{207}Po из распада ^{211}Rn в подложку источника

ловушками и рекомбинационных потерь [3]. В искажении спектральной линии и увеличении низкоэнергетического хвоста существенную роль играют также краевые эффекты, возникающие при попадании α -частиц на края ППД, где возможны неоднородности. Краевой эффект заметно ослабляется коллимацией пучка, но из-за влияния концов коллиматора не исчезает.

Внешние эффекты следующие.

3.6. Искажение аппаратурного спектра за счет разброса углов падения и, следовательно, прохождения различных толщин входного окна при измерении в условиях больших Ω (рис. 42). Эффект приводит к возрастанию низкоэнергетического хвоста и снижению достижимого энергетического разрешения [25].

3.7. Искажение аппаратурного спектра за счет потерь, обусловленных взаимодействием α -частиц с молекулами остаточного газа. Для того чтобы смещение и уширение спектральной линии

не превышали 10 кэв для α -частиц с энергией 5 Мэв, при изменении расстояния источника ППД от 3 до 37 мм давление в камере спектрометра должно быть меньше 210 ньютон/м² [26].

3.8. Суммирование импульсов. Эффект связан со случайными совпадениями (зависящими от загрузки) и с истинными совпадениями сопровождающих каскадных α -, β -, γ -излучений (зависящими от Ω) и приводит не только к искажению спектральной линии (асимметрия, уширение), но и к возрастанию непрерывного распределения.

3.9. Радиоактивный фон. Аналогично п. 2.15.

В заключение сводка эффектов, искажающих форму аппаратурного спектра, приведена в табл. 3.

4. МЕТОДИКА ИЗМЕРЕНИЙ ЭНЕРГИЙ И ОТНОСИТЕЛЬНЫХ ИНТЕНСИВНОСТЕЙ МОНОЭНЕРГЕТИЧЕСКИХ ИЗЛУЧЕНИЙ

Методика измерений энергийmonoэнергетических излучений с помощью ППД основана на сравнении с энергетическими реперами.

При этом различают два подхода к разработке программ градуировок с помощью ЭВМ: в первом случае зависимость E от номера канала для всего спектра описывается полиномом степени n

$$E = \sum_{i=0}^n A_i P^i; \quad (10)$$

во втором случае эта же зависимость описывается на ограниченном участке спектра (*метод сплайнов* [27]). Следовательно, оба подхода требуют примешивания большого числа реперных пиков в исследуемый спектр, что практически невозможно в ядерно-

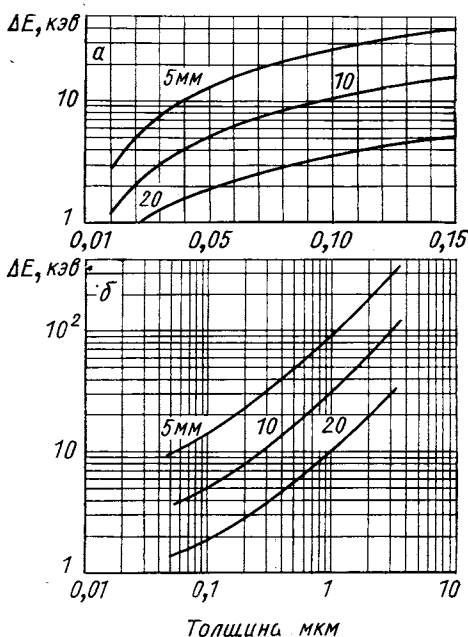


Рис. 42. Влияние толщины входного окна на энергетическое разрешение (ΔE) Si(Au)-детектора ($S = 1 \text{ см}^2$, диаметр источника 5 мм, $E_\alpha = 5 \text{ Мэв}$):
а — зависимость ΔE от толщины входного окна Au в предположении отсутствия мертвого слоя Si; б — зависимость от толщины мертвого слоя Si в предположении, что толщина входного окна Au равна 0,03 мм; числа на кривых — расстояния от источника до детектора

Таблица 3

Эффекты, искажающие форму аппаратурного спектра

Частица	Эффекты, связанные с радиоактивным источником	Эффекты, связанные с характеристиками ППД	Внешние эффекты
γ	<p>Рассеяние от подложки источника</p> <p>Сопровождающие излучения</p> <p>Рассеяние в источнике</p> <p>Возбуждение характеристического рентгеновского излучения в подложке и в самом источнике</p>	<p>Зависимость сечений взаимодействий γ-квантов от Z ППД и энергии</p> <p>Сателлитные пики, связанные с вылетом $\gamma\pm$ при образовании пар в ППД</p> <p>Сателлитные пики, связанные с вылетом характеристического излучения из ППД</p> <p>Рассеяние во входном окне ППД</p> <p>Эффективность сортирования заряда в ППД</p>	<p>Рассеяние во входном окне спектрометра, в окружающих ППД материалах и в фильтрах поглощения</p> <p>Возбуждение характеристического излучения в окружающих ППД и источник материалов</p> <p>Регистрация $\gamma\pm$-квантов, возникающих при образовании пар в окружающих ППД материалах</p> <p>Рассеяние γ-квантов в окружающих ППД материалах</p> <p>Внешнее тормозное излучение</p> <p>Зависимость положения максимума спектральной линии от геометрии измерения</p> <p>*Естественный радиоактивный фон</p> <p>Искажение I_{γ} при исследовании цепочек α-активных нуклидов</p> <p>Суммирование импульсов</p>

Продолжение табл. 3

Частица	Эффекты, связанные с радиоактивным источником	Эффекты, связанные с характеристиками ППД	
		Внешние эффекты	
β	<p>Рассеяние от подложки источника</p> <p>Сопровождающее излучение</p> <p>Рассеяние в источнике</p> <p>Возбуждение характеристического рентгеновского излучения в подложке и в самом источнике</p>	<p>Зависимость пробега от Z материала ППД и энергии</p> <p>Рассеяние во входном окне ППД</p> <p>Обратное рассеяние от ППД</p> <p>Тормозное излучение в ППД</p> <p>Сателлитные пики, связанные с вылетом характеристического излучения из ППД</p> <p>Эффективность сориентации заряда в ППД</p>	<p>Рассеяние в материале входного окна вакуумной камеры</p> <p>Возбуждение характеристического излучения в окружающих ППД и источник материалов</p> <p>Регистрация комптоновских электронов</p> <p>Радиоактивный фон</p> <p>Суммирование импульсов</p>
α	<p>Рассеяние от подложки источника</p> <p>Рассеяние в веществе источника</p>	<p>Зависимость пробега от Z материала ППД и энергии</p> <p>Рассеяние во входном окне ППД</p> <p>Эффективность сориентации носителей заряда в ППД</p>	<p>Разброс углов падения на поверхность ППД</p> <p>Взаимодействие α-частиц с молекулами остаточного газа</p> <p>Суммирование импульсов</p> <p>Радиоактивный фон</p>

спектроскопических экспериментах из-за больших искажений аппаратурного спектра.

Разработанная нами методика предполагает использование только шести энергетических реперов. При этом необходимы предварительное исследование нелинейности и эффективности спектрометра в заранее выбранных условиях (коэффициенты усиления; телесные углы; поглощающие фильтры; эффекты, искажающие форму аппаратурного спектра) и аппроксимирование их аналитическими выражениями. В частном случае, когда сложность спектра позволяет примешивание большого количества реперов, метод переходит в один из указанных выше подходов.

Методика измерений относительных интенсивностей моноэнергетических излучений основана на предварительном исследовании эффективности спектрометра с помощью калиброванных источников.

Нелинейность спектрометра [28—30]. Нелинейность исследуется в предположении, что два произвольных («опорных») пика разных энергий лежат на прямой, коэффициенты B_1 и B_2 которой находят из уравнений:

$$\left. \begin{aligned} E = B_1 + B_2 P; \quad B_1 = (E_1 P_2 - E_2 P_1) / (P_2 - P_1); \\ B_2 = (E_1 - E_2) / (P_1 - P_2). \end{aligned} \right\} \quad (11)$$

Нетрудно показать, что от выбора разности $|P_2 - P_1|$ зависит точность построения нелинейности, а следовательно, и погрешность измерения энергий (обычно $|P_2 - P_1| > 3500$). Затем с помощью (11) рассчитывают положения максимумов пиков с известной энергией и строят зависимость $\delta_j = P_j - P_{j\text{расч}}$ от номера канала P . Далее значения δ_j аппроксимируют по методу наименьших квадратов (программа «Fumili» [28]) полиномом

$$\delta_j = \sum_{i=1}^M A_i P_j^{i-1}, \quad (12)$$

где $M = 2 \div 5$. Выбор $M \leq 5$ связан с предположением о плавной зависимости нелинейности от номера канала (для больших M возможна осцилляция между экспериментальными точками).

В начале разработки методики (1972 г.) наблюдали сложную зависимость $\delta_j(P)$, и это привело к необходимости разбиения участков для аппроксимации (≤ 5). Хотя состояние аппаратуры сейчас не требует такой процедуры, программная организация методики предусматривает ее применение и для менее совершенных спектрометров. Выбор оптимального значения M и области аппроксимации ведется по анализу величины

$$\frac{1}{n} \sum_{j=1}^n |(\delta_j - \delta_{j\text{ эксп}})| = \bar{\Delta}, \quad (13)$$

где n — число экспериментальных точек. Очевидно, $\bar{\Delta}$ характеризует предельную погрешность, достижимую в данном эксперименте. Обычно $\bar{\Delta} \leq 0,05$ канала, причем величина $\bar{\Delta}$ зависит от качества спектрометра, аккуратности экспериментатора и внутренней согласованности применяемого набора нормалей энергий. Сшивание областей аппроксимации проводилось на участке, охватывающем четыре или более экспериментальных точек, и с обязательным требованием

$$|\delta_j^{(1)} - \delta_j^{(2)}| < \bar{\Delta}_{1,2},$$

где $j = 1, \dots, 4$; (1) и (2) относятся к расчетным значениям первой и второй области; $\bar{\Delta}_{1,2}$ — наименьшее значение из Δ_1 и Δ_2 .

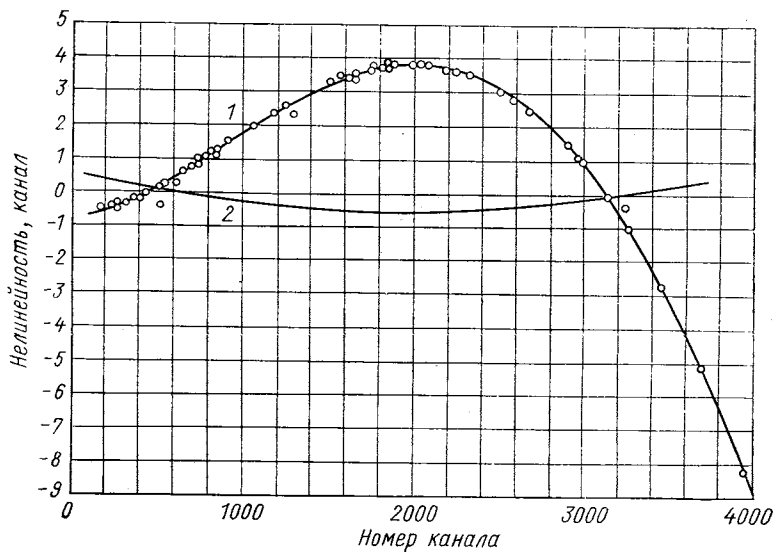


Рис. 43. Нелинейность спектрометра с 38-cm^3 Ge(Li)-детектором (1) и $200\text{ mm}^2 \times 5\text{ mm}$ Ge(Li)-детектором (2): точки — экспериментальные значения; непрерывная линия — аппроксимация полиномом (см. текст)

Программа построения нелинейности спектрометра и аппроксимации экспериментальных данных описана в работах [28, 30]. Пример построения нелинейности спектрометра с Ge(Li)-детектором и ее аппроксимации полиномом (12) приведен на рис. 43. Для сравнения там же представлена линейность спектрометра с более качественным ЛУ.

Эффективность спектрометра [28—30]. При исследовании эффективности следует рассматривать два подхода: с примене-

нием градуированных по активности источников или с применением данных об относительных интенсивностях переходов для нуклидов со сложной схемой распада.

Абсолютная эффективность. Измерения с помощью градуированных по активности источников проводят в условиях стандартной, заранее выбранной геометрии с учетом эффектов, исказжающих форму аппаратурного спектра. При этом нужно принимать меры для уменьшения вклада погрешностей, связанных с геометрической воспроизводимостью, учетом мертвого времени системы, времени измерения, $\Delta S/S$ и периода полураспада. Расчет значений эффективности проводят по формуле

$$\varepsilon_{abc} = (S/\tau) / [I \exp(-\lambda t)], \quad (14)$$

где S — площадь пика данной энергии; τ — время измерения; I — число моноэнергетических частиц данной энергии, испускаемых источником в угол 4π за 1 сек; $\ln 2/T_{1/2}$ — вероятность радиоактивного распада, сутки⁻¹; t — время, прошедшее от момента аттестации до момента измерения, сутки. Далее с помощью метода наименьших квадратов (программа «Fumili») значения аппроксимируют полиномом

$$\ln \varepsilon_j = \sum_{i=1}^M C_i (\ln E_j)^{i-1}, \quad (15)$$

где $M = 2 \div 5$. Как и для нелинейности, выбор $M \leqslant 5$ связан с предположением плавной зависимости эффективности полупроводникового спектрометра от энергии. Оптимальное значение M выбирают из анализа значений

$$\Delta = (\varepsilon_{abc} - \varepsilon_{расч}) / \varepsilon_{abc} \mid_{E_j}. \quad (16)$$

Число участков для аппроксимации $\leqslant 5$. Такой выбор связан со сложной зависимостью эффективности ППД от энергии, с одной стороны, и с отсутствием достаточного количества экспериментальных точек, равномерно распределенных во всем диапазоне энергий — с другой. В частности, при использовании стандартного набора ОСГИ для Ge(Li)-детекторов в области 165—661 кэВ имеется всего две экспериментальные точки, хотя эффективность при этом изменяется в 5—10 раз. Контроль же каждой экспериментальной точки ε_{abc} ведется из анализа

$$\begin{aligned} \frac{\Delta \varepsilon}{\varepsilon} = & \left\{ \left(\frac{\Delta I}{I} \right)^2 + \left(\frac{\Delta S}{S} \right)^2 + \left(\frac{\Delta \tau}{\tau} \right)^2 + \right. \\ & \left. + \left(\frac{0,693 \Delta t}{T_{1/2}} \right)^2 + \left(\frac{0,693 t \Delta T_{1/2}}{T_{1/2}^2} \right)^2 \right\}^{1/2}. \end{aligned} \quad (17)$$

Относительная эффективность. В ряде задач достаточно знать только относительную эффективность спектрометра, кото-

ную легко рассчитывать с помощью относительных интенсивностей моноэнергетических излучений градуированных источников по формуле

$$\varepsilon_{\text{отн}} = S/I. \quad (18)$$

В случае применения нескольких источников возникает задача спшивания их значений. Для этого выбирают базовый нуклид, по отношению к которому проводят связку значений $\varepsilon_{\text{отн}}(E)$, полученных для разных нуклидов. В частности, в качестве базовых точек можно применять $\varepsilon_{\text{абс}}$. Перевод значений $\varepsilon_{\text{отн}}(E)$

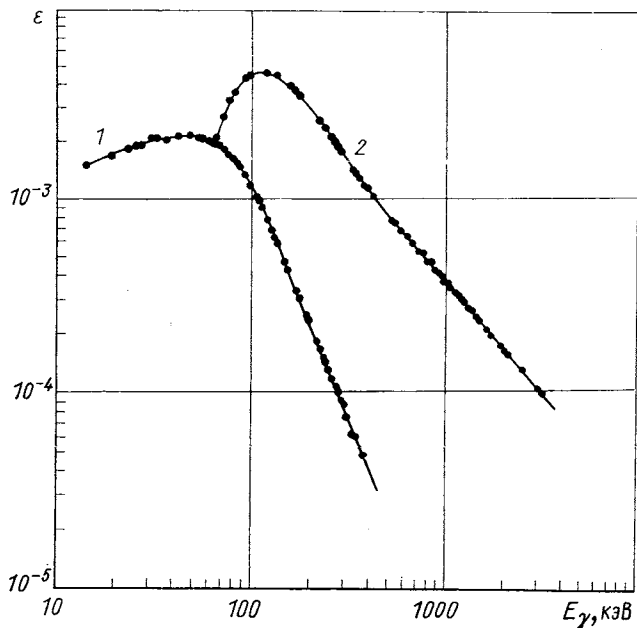


Рис. 44. Эффективность спектрометра с 38- см^3 Ge(Li)-детектором:
точки — экспериментальные значения; непрерывная линия — аппроксимация полиномом; стрелками обозначены границы полей аппроксимации

для каждого нуклида в базисные значения осуществляют с помощью нормировочного множителя и параболической интерполяции. Затем все значения $\varepsilon(E)$ выстраивают в порядке возрастания E . Далее имеет место процедура аппроксимации экспериментальных данных.

Построение абсолютных эффективностей спектрометров рассмотрим ниже. Здесь же приведем пример относительной эффективности спектрометров с Ge(Li)-детекторами (рис. 44). Результаты получены с использованием относительных интенсивностей

γ -квантов ^{75}Se , ^{173}Lu , ^{182}Ta , ^{152}Eu , ^{160}Tb , ^{192}Ir , ^{110}Ag и ^{56}Co [29]. В качестве базового источника применен ^{152}Eu . Программы построения и аппроксимации эффективности спектрометров описаны в работах [28, 30].

Обработка результатов однократных измерений. Структурная схема программы обработки однократных измерений приведена

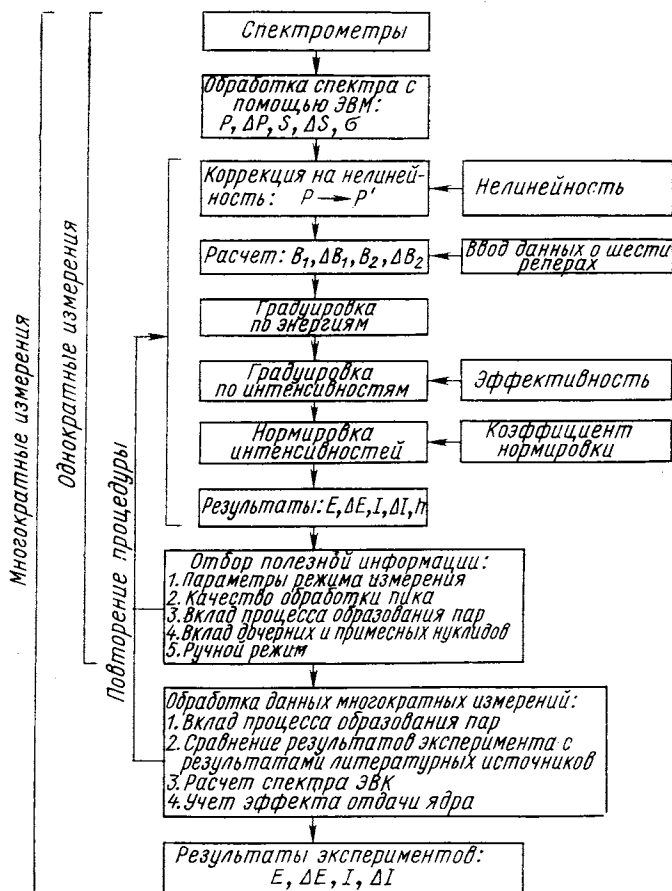


Рис. 45. Структурная схема эксперимента по измерению энергии и относительных интенсивностей моноэнергетических излучений

на рис. 45. После учета нелинейности спектрометра (коррекция $P_i^o \rightarrow P_i^{o'}$) методом наименьших квадратов по шести реперным

линиям рассчитывают коэффициенты градуировочной прямой

$$E_i^0 = B_1 + B_2 P_i^0. \quad (19)$$

В качестве весов используют величины $\{(\Delta E_i^0)^2 + (B_2 \Delta P_i^0)^2\}^{-1}$, где ΔE_i^0 — погрешность репера, исключающая систематическую часть погрешности. Погрешность энергии однократного измерения рассчитывают по формуле

$$\Delta E_i = \{(\Delta B_1)^2 + (\Delta B_2)^2 P_i^0 + r P_i + (B_2 \Delta P_i^0)^2\}^{1/2}. \quad (20)$$

Здесь первые три члена определяются коридором ошибок градуировочной прямой; $r P_i$ — корреляционный член; четвертый член учитывает погрешность определения положения максимума пика. Контроль качества эксперимента ведется по анализу разности $E_i^0 - E_i^0_{\text{расч}}$, где E_i^0 — вводимое значение нормали энергии; $E_i^0_{\text{расч}}$ — полученное при градуировке значение энергии.

Выбор шести реперов (программа предусматривает от двух до шести) связан с тем, что методика предполагает разбиение криевой нелинейности на участки и, таким образом, каждая область будет представлена по меньшей мере одним репером. Кроме того, в некоторых случаях, возможны искажения величин P_i^0 за счет различных аппаратурных эффектов (неизвестные переходы, примеси, суммирование импульсов, вылет характеристического излучения из ППД и т. п.). Выбранное число реперов позволяет обнаружить вклад таких эффектов.

Относительные интенсивности и их погрешности вычисляют по формулам

$$I_i = \frac{S_i}{\varepsilon_i} \frac{I_h}{S_h/\varepsilon_h};$$

$$\Delta I_i = I_i \sqrt{\left(\frac{\Delta S_i}{S_i}\right)^2 + \left(\frac{\Delta S_h}{S_h}\right)^2}, \quad (21)$$

где ε_i — эффективность спектрометра для моноэнергетических частиц с энергией E_i ; I_h и S_h — интенсивность и площадь пика, выбранного в качестве нормировочного; S_i — площадь градуируемого пика.

В результате обработки на АЦПУ выводятся значения P_i , ΔP_i , δ_j расч, S_i , ΔS_i , ε_i расч, E_i , ΔE_i , I_i , ΔI_i , $h_i = 2,354 \sigma_i B_2$. Результаты эксперимента (E , ΔE , I , ΔI и h) записывают на магнитной ленте или перфорируют для дальнейшей обработки.

Критерии оценки качества экспериментальных данных в однократных измерениях и отбор полезной информации. Основой прецизионной спектроскопии моноэнергетических излучений является обработка спектральной линии с помощью ЭВМ. К сожалению, этот процесс в значительной мере субъективен, ибо необходимо предварительно задать начальные приближения («разметка

спектра») и, что самое важное, число пиков. Создать программы автоматической обработки до сих пор не удалось из-за сложной функции отклика спектрометров с ППД и необходимости извлекать информацию о малоинтенсивных переходах на интенсивной фоновой подложке.

Сформулируем критерии для спектрометрии γ -квантов, являющиеся наиболее полным классом задач. Спектрометрия ЭВК и α -частиц является частным случаем такой постановки.

a. Параметры режима измерения. Спектральные линии, энергии которых лежат вне области аппроксимации нелинейности (критерий 1) и эффективности (критерий 2) по пику полного поглощения, отбрасываются и печатаются отдельным массивом.

б. Качество обработки спектральной линии с помощью ЭВМ. Для интенсивных одиночных пиков (например, $I > 1$) полуширина линии $h_{\text{эксп}}(E)$ аппроксимируется полиномом

$$h(E) = a_1 + a_2 E + a_3 E^2. \quad (22)$$

В наших измерениях наиболее интенсивная линия принимается за 100 единиц. Спектральные линии, $h_{\text{эксп}}(E)$ которых не удовлетворяют неравенству

$$|h_{\text{эксп}}(E) - h(E)| \leq \Delta h, \quad (23)$$

отбрасываются и печатаются отдельным массивом (критерий 3). Значения Δh зависят от качества спектрометра и особенно от энергетического разрешения. Отброшенные пики обрабатывают повторно с новыми начальными приближениями. Заметим, что завышенное значение h может являться признаком мультиплетной структуры пика.

в. Вклад процесса образования пар в ППД. Экспериментальные значения эффективностей по пикам ОВ и ДВ аппроксимируются полиномом

$$\ln \varepsilon_j(\text{ОВ}; \text{ДВ}) = \sum_{i=1}^M k_j (\ln E_j)^{i-1}, \quad (24)$$

затем каждому значению $E > 1022 \text{ кэВ}$ ставится в соответствие

$$[E - E(\text{ОВ}; \text{ДВ})] \pm [(\Delta E)^2 + (\Delta E(\text{ОВ}; \text{ДВ}))^2]^{1/2}. \quad (25)$$

Если существует переход, энергия которого $E \pm \Delta E$ в пределах погрешностей совпадает с этой разностью, его интенсивность корректируется с помощью соответствующей эффективности:

$$[S_i - S_i(\text{ОВ}; \text{ДВ})] \pm [(\Delta S_i)^2 + (\Delta S_i(\text{ОВ}; \text{ДВ}))^2]^{1/2}. \quad (26)$$

Здесь S_i — площадь пика с энергией E_i ; $S_i(\text{ОВ}; \text{ДВ})$ — расчетная площадь ОВ или ДВ пика; ΔS_i и $\Delta S_i(\text{ОВ}; \text{ДВ})$ — соответствующие погрешности. Погрешность $\Delta S_i(\text{ОВ}; \text{ДВ})$ задается

с помощью параметра аналогичного κ [28, 29]. Очевидно, что при такой обработке имеет место преобразование: интенсивность \rightarrow площадь \rightarrow интенсивность. Для контроля на АЦПУ печатаются массивы корректированных интенсивностей (критерий 4).

г. Вклад дочерних или примесных нуклидов в искажение интенсивностей исследуемых γ -переходов. С помощью наиболее интенсивных линий дочернего или примесного нуклида находят коэффициент нормировки

$$q = (1/n) \sum_{i=1}^n (I_i/I'_i), \quad (27)$$

где I_i — интенсивности, полученные в данном эксперименте для переходов дочернего или примесного нуклида с относительными интенсивностями I'_i ; n — число заданных пиков. Для переходов, совпадающих в пределах

$$[(\Delta E_i)^2 + (\Delta E'_i)^2]^{1/2} \quad (28)$$

по энергии с переходом дочернего или примесного нуклида, проводится коррекция³ (критерий 5) интенсивностей по формуле

$$[I_i - I'_i q] \pm [(\Delta E_i)^2 + (\Delta I'_i q)^2]^{1/2}. \quad (29)$$

Для контроля на АЦПУ печатают массивы корректируемых интенсивностей γ -переходов.

д. «Ручной режим» отбора информации (критерий 6). С его помощью отбрасывают переходы, многократно обработанные с различными начальными приближениями, а также возможные фоновые, аппаратурные и примесные пики. Технически отбор осуществляется заданием номера γ -перехода.

Программа организована так, что различные критерии можно применять многократно или вообще не применять. Корректированные результаты записываются на магнитные ленты или перфорируют для последующей обработки.

Обработка результатов многократных измерений. Результаты одиночных измерений на различных ППД, спектрометрических трактах и при различных коэффициентах усиления обрабатывают по следующим формулам:

$$\left. \begin{aligned} E &= \frac{\sum_{i=1}^n E_i (1/\Delta E_i)^2}{\sum_{i=1}^n (1/\Delta E_i)^2}; & \Delta E_1 &= [\alpha_1^2 + \alpha_3^2 + \alpha_4^2 + \alpha_5^2]^{1/2}; \\ I &= \frac{\sum_{i=1}^n I_i (1/\Delta I_i)^2}{\sum_{i=1}^n (1/\Delta I_i)^2}; & \Delta I_1 &= [\beta_1^2 + \beta_3^2]^{1/2}; \\ && \Delta E_2 &= [\alpha_2^2 + \alpha_3^2 + \alpha_4^2 + \alpha_5^2]^{1/2}; \\ && \Delta I_2 &= [\beta_2^2 + \beta_3^2]^{1/2}; \end{aligned} \right\} \quad (30)$$

$$\alpha_1^2 = \frac{1}{\sum_{i=1}^n (1/\Delta E_i)^2}; \quad \alpha_2^2 = \frac{\sum_{i=1}^n (1/\Delta E_1)^2 (E - E_i)^2}{(n-1) \sum_{i=1}^n (1/\Delta E_i)^2};$$

$$\alpha_3^2 = \rho^2 E^2; \quad \left\{ \begin{array}{l} \alpha_5^2 = 1/3 B_2^2 \bar{\Delta}^2; \\ \alpha_4^2 = \mu^2 E^2; \quad \left\{ \begin{array}{l} \alpha_5^2 = 0; \\ \beta_3^2 = \kappa^2 I^2. \end{array} \right. \end{array} \right.$$

Здесь n — число измерений; E — энергия, кэв; α_3 — погрешность нормалей третьего порядка, относительно которых создан набор нормалей энергии в предположении $E_y (411,8 - {}^{198}\text{Hg}) = 411,794 \pm 0,000$ кэв [29] ($\rho = 10 \cdot 10^{-6}$); α_4 — погрешность нормали второго порядка $E_y (411,8 - {}^{198}\text{Hg}) = 411,794 \pm 0,007$ кэв ($\mu = 17 \cdot 10^{-6}$); α_5 — погрешность, связанная с аппроксимацией нелинейности для измерения на одном спектрометре (для разных спектрометров эта погрешность из систематической переходит в случайную, т. е. $\alpha_5 = 0$); погрешности β_1 и β_2 рассчитывают аналогично α_1 и α_2 ; κ характеризует предельную погрешность, которую можно достичь на данном спектрометре (для нескольких спектрометров в качестве κ берут наилучшее значение). В качестве ΔE и ΔI выбирают погрешность, наибольшую из ΔE_1 , ΔE_2 и ΔI_1 , ΔI_2 соответственно.

Принцип работы программы автоматической обработки результатов многократных измерений показан на рис. 45 [28, 30]. После отбора полезной информации на вход ЭВМ поступают массивы однократных измерений (E , ΔE , I , ΔI) и производится выстраивание данных в порядке возрастания E . Затем проводят последовательный отбор энергий, значения которых совпадают в пределах погрешности, и результаты обрабатывают по формулам (30). На АЦПУ печатаются входные данные и рассчитанные значения.

Полученные результаты подвергаются следующему анализу.

Вклад процесса образования пар в ППД. Этот эффект рассмотрен выше, где предполагалось измерение в энергетической области, охватывающей полный спектр γ -квантов. С другой стороны, мы отмечаем, что каждый спектрометр должен быть использован в некоторой оптимальной области. Таким образом, программа автоматического учета вклада эффекта образования пар в ППД не будет эффективной в тех случаях, когда исследуется ограниченный энергетический диапазон. Поэтому после проведения процедуры обработки многократных измерений для $E > 1022$ кэв проводится расчет энергий пиков ОВ и ДВ. Затем снова анализируются данные однократных измерений и производится очистка от ложных пиков (критерий 6).

Сравнение результатов эксперимента с результатами различных литературных источников. Рассматриваются переходы, энергии которых совпадают в пределах погрешности. При необходимости предусмотрен коэффициент перенормировки интенсивностей. Отдельными массивами печатаются энергии и интенсивности переходов, наблюдаемых или только в наших экспериментах, или только в литературных источниках. При противоречиях проводится повторный анализ одиночных измерений.

Расчет спектра электронов внутренней конверсии (ЭВК). Для того чтобы правильно планировать и проводить эксперимент по исследованию спектров ЭВК, предусмотрено построение расчетного спектра на основе данных об энергиях γ -квантов. На АЦПУ печатаются две таблицы: энергии γ -переходов и энергии соответствующих конверсионных линий (K , L , M и т. п.) с погрешностями; энергии конверсионных линий в порядке возрастания.

При построении схем распада с использованием правил Ритца существенное значение имеет поправка к энергии на отдачу ядра для определения энергии перехода. В программе энергию перехода рассчитывают, добавляя поправку на отдачу ядра:

для γ -квантов

$$E_0 = \frac{1}{2} \left(\frac{E}{mc^2} \right)^2 \frac{m}{M(A, Z)} mc^2; \quad (31)$$

для ЭВК

$$E_0 = E \left(\frac{E}{mc^2} + 2 \right) \frac{m}{2M(A, Z)}. \quad (32)$$

Эти выражения относятся к свободному неподвижному нуклиду.



5. СПЕКТРОМЕТРИЯ γ -КВАНТОВ

Методика измерения энергий и относительных интенсивностей γ -квантов с помощью полупроводниковых детекторов основана на сравнении аппаратурных спектров исследуемого и эталонного нуклидов; на пути этого сравнения имеется много причин, значительно ухудшающих предельно достижимую точность. Следовательно, процесс сопоставления положения максимума спектральной линии (P) и энергии (E), а также площади спектральной линии (S) и интенсивности (I) должен быть последовательным с точки зрения учета данных эталонных нуклидов и четким относительно расчета погрешностей. С учетом того что в настоящее время спектрометры на основе кремния и германия обладают характеристиками, близкими к предельно возможным, изменение данных об эталонных нуклидах приведет лишь к простым коррекциям результатов без повторения эксперимента.

Нормали энергий γ -квантов. Единственной естественной нормалью энергии γ -квантов, значение которой полностью определяется фундаментальными постоянными, является энергия аннигиляционного излучения [31]:

$$mc^2 = 511,0041 \pm 0,0016 \text{ кэв.} \quad (33)$$

Тогда энергия аннигиляции покоящегося позитрония с учетом половины энергии связи состояния 1S_0 равна

$$\gamma^\pm \equiv h\nu^\pm = mc^2 - mc^2/8h^2 = 511,0007 \pm 0,0016 \text{ кэв.} \quad (34)$$

К сожалению, использование этого значения затруднено из-за сложной формы спектральной линии [32], что устанавливает предел максимально достижимой точности. Поэтому в качестве нормали второго порядка, форма спектральной линии которой не зависит от вторичных эффектов, выбран γ -переход $411,8 \text{ кэв} - {}^{198}\text{Hg}$ (об аргументах выбора см., например, [32]). Точное значение энергии

$$E_\gamma(411,8 \text{ кэв} - {}^{198}\text{Hg}) = 411,794 \pm 0,007 \text{ кэв} \quad (35)$$

определено с помощью безжелезного бета-спектрометра при сравнении L_3 -линии фотоэлектронов внешней конверсии $\gamma = 411,8 \text{ кэв}$ и K -линии γ^\pm в урановом радиаторе [33].

Возможен и иной подход. В качестве нормали первого порядка применяют энергию рентгеновской линии WK_{α_1} [31]:

$$E(WK_{\alpha_1}) = 59,31918 \pm 0,00036 \text{ кэв.} \quad (36)$$

Анализируя данные различных экспериментов, Б. С. Джелепов предлагает [32]

$$E_\gamma(411,8 - {}^{198}\text{Hg}) = 411,803 \pm 0,014 \text{ кэв.} \quad (37)$$

В настоящее время значению энергии γ -квантов $411,8 \text{ кэв} - {}^{198}\text{Hg}$ уделяется большое внимание. В частности, приводят следующие значения:

$$\begin{aligned} E_\gamma(411,8 - {}^{198}\text{Hg}) &= 411,8007 \pm 0,0027 \text{ кэв [34];} \\ E_\gamma(411,8 - {}^{198}\text{Hg}) &= 411,805 \pm 0,0015 \text{ кэв [35].} \end{aligned} \quad (38)$$

По-видимому, дискуссия будет продолжаться и далее.

В наших экспериментах примем значение (35). Это связано с тем, что при этом значении: а) в работе [33] измерены энергии переходов, которые часто применяются в качестве нормалей; б) в работе [36] приведены данные Хельмера, Гринвуда и Герке об энергиях γ -квантов, применяемые для градуировки γ -спектрометров; в) в работе [37] с помощью кристалл-дифракционного спектрометра измерены энергии γ -квантов ${}^{182}\text{Ta}$ и ${}^{192}\text{Ir}$, т. е. эти данные можно рассматривать в качестве нормалей третьего порядка (табл. 4); г) в случае, если будет принято новое значение

Таблица 4

Энергии γ-квантов ^{182}Ta и ^{192}Ir

Ну- клид	[37]			[32]			[36]			[58]			[29]		
	E	$\Delta E'$	ΔE	E	ΔE	E	ΔE	E	ΔE	E	ΔE	E	ΔE	E	ΔE
^{182}Ta	31,7370 42,7143 65,7249 67,7496 84,6802 100,1067 113,6677 116,4172 152,4298 156,3819 179,3895 198,3478 222,1037 229,3162 264,0697	0,0004 0,0006 0,0006 0,0006 0,0008 0,0009 0,0041 0,0011 0,0013 0,0014 0,0016 0,0034 0,0017 0,0019 0,0035 0,0022	0,0007 0,0009 0,0013 0,0016 0,0019 0,0022 0,0023 0,0029 0,0030 0,0034 0,0038 0,0042 0,0052 0,0050	0,0004 0,0002 — 0,0003 0,0003 0,0002 0,0003 0,0004 0,0003 0,0004 0,0005 0,0008 0,0005 0,0008 0,0009	31,736 42,7145 65,7222 84,680 100,103 113,673 116,416 152,431 156,391 179,395 198,361 222,407 229,321 264,072	— — — — 0,003 0,002 0,004 0,003 0,004 0,005 0,008 0,005 0,008 0,009	— — — — 84,680 100,105 113,673 116,418 152,434 156,387 179,393 198,356 222,410 229,322 264,072	0,001 0,002 0,002 0,002 0,002 0,002 0,002 0,002 0,002 0,002 0,002 0,002 0,002 0,002 0,002	— — — — — — — — — — — — — — — —	— — — — — — — — — — — — — — — —	— — — — — — — — — — — — — — — —	— — — — — — — — — — — — — — — —	— — — — — — — — — — — — — — — —	— — — — — — — — — — — — — — — —	— — — — — — — — — — — — — — — —
^{192}Ir	136,3400 295,9483 308,4464 316,4977 416,4501 468,0546 588,5562 604,3942 612,4460 884,5037	0,0007 0,0014 0,0014 0,0014 0,0035 0,0021 0,0034 0,0026 0,0026 0,0044	0,0024 0,0052 0,0054 0,0056 0,0079 0,0082 0,0106 0,0106 0,0106 0,0156	295,942 308,430 316,487 — 468,059 588,567 604,396 612,446 —	— 0,010 0,010 — 0,014 0,017 0,017 0,017 0,017	295,949 308,445 316,497 416,450 468,062 588,572 604,401 612,450 884,523	0,006 0,007 0,007 0,008 0,010 0,012 0,012 0,013 0,018	— 308,444 316,496 — 468,062 588,566 604,393 612,445 884,514	— 0,005 0,005 — — — — — —	— 308,445 316,495 416,454 468,056 588,572 604,394 612,446 884,514	— 0,004 0,005 — — — — — —	— 295,946 308,445 316,495 416,454 468,056 588,572 604,394 612,446	— 0,006 0,006 0,006 0,014 0,009 0,012 0,012		

Приимечание. $\Delta E'$ —погрешность без учета погрешности нормали второго порядка ($\alpha_4=17 \cdot 10^{-6} E \text{ кэВ}$). ΔE —полная погрешность порядка ($\alpha_4=0$).

$E_\gamma = 411,8 \text{ кэв}$, процедура коррекции станет простой

$$E_2 = E_1 [E_2(411,8)/E_1(411,8)], \quad (39)$$

где E_1 — значения энергий, полученные в предположении (35); E_2 — то же в предположении нового значения нормали второго порядка.

Нормали интенсивностей γ -квантов. В настоящее время имеется целый ряд нуклидов, активность которых в силу простоты схемы распада можно измерить различными методами с погрешностью 0,5—3% (табл. 5). Эти данные и применяются для исследования экспериментальной зависимости эффективности Ge(Li)-спектрометра от энергии в заданной геометрии [28]. Кроме того, часто применяют данные об относительных интенсивностях γ -переходов, возникающих при распаде ^{182}Ta , ^{152}Eu , ^{110m}Ag , ^{56}Co и др. При этом, однако, не следует забывать, что эти данные получены с помощью данных табл. 5 и что часто процедура сопоставления бывает ошибочна.

Построение набора нормалей энергии [29]. В качестве нормалей третьего порядка использованы энергии γ -квантов ^{182}Ta и ^{192}Ir , измеренные с помощью кристалл-дифракционного спектрометра (см. табл. 4, колонка 1). Для сравнения в этой же таблице приведены энергии, рекомендованные разными авторами. Эти данные являются поводом для размышлений о выборе нормалей энергий. Ряд расхождений говорит о наличии погрешностей в экспериментах с кристалл-дифракционными спектрометрами (см. табл. 4, колонки 1—3). В частности, значение энергии 588 кэв (^{192}Ir) [37] можно рассматривать как промах.

Нормали энергий выше 600 кэв создавались с использованием значений энергий переходов, полученных суммированием конкурирующих каскадных переходов с учетом отдачи ядра для нуклидов с хорошо исследованными схемами распада (табл. 6). Верхняя граница энергий 600 кэв (см. табл. 4) накладывает ограничение 1200 кэв для двухкаскадных переходов. Следовательно, возможными энергетическими диапазонами являются ~ 1000 , ~ 2000 и ~ 4000 кэв. К сожалению, число конкурирующих каскадов для нуклидов с достаточно простыми спектрами и удобными в работе периодами полураспада ограничено. Поэтому мы использовали также факт сохранения нелинейности спектрометра при изменении коэффициента усиления с помощью частотно-независимого аттенюатора [5].

Процедура построения полного набора нормалей энергий состояла в следующем:

а) *диапазон до 260 кэв.* Выбор такой энергетической области связан со стремлением снизить значения погрешностей при оптимальном выборе коэффициента усиления для спектрометров с высоким энергетическим разрешением;

Таблица 5

Радиоактивные источники, погрешности измерения активности ΔA , выход γ -квантов на 100 распадов и минимальные значения, получаемые при измерении эффективности спектрометра

Нуклид	Литература	$T_{1/2}$, дни	ΔA , %	E	I	ΔI	$\Delta \varepsilon_1$	$\Delta \varepsilon_2$	$\Delta \varepsilon_3$
^{241}Am	[28]	432,9 (8) года	1	59,54	35,9	0,6	1,7	1,9	2,3
^{109}Cd	[60]	453,2 (18)	2,5	22,1 <i>KX</i> 25,0 <i>KX</i> 88,03	83,00 17,81 3,79	3,00 0,64 0,07	3,6 3,6 1,8	4,4 4,4 3,1	— — —
^{57}Co	[28]	269,8 (4)	1	6,5 <i>KX</i> 14,41 422,06 136,47	55,3 9,5 85,6 10,75	1,5 0,2 0,4 0,30	2,7 2,1 0,5 2,8	2,9 2,3 1,1 3,0	3,1 2,6 1,6 3,2
^{139}Ce	[28]	137,2 (4)	1	33,4 <i>KX</i> 37,8 <i>KX</i> 165,85	62,53 15,13 80,35	0,57 0,14 0,08	3,8 3,8 0,1	3,9 3,9 1,0	4,1 4,1 1,5
^{203}Hg	[28]	46,76 (8)	1,5	10,3 <i>LX</i> 72,9 <i>KX</i> 82,5 <i>KX</i> 279,19	5,63 9,77 2,73 81,55	0,08 0,50 0,20 0,15	1,4 5,1 7,3 0,2	2,1 5,3 7,5 1,5	2,1 5,3 7,5 1,5
^{113}Sn	[28]	115,2 (8)	1,5	3,3 <i>LX</i> 24,7 <i>KX</i> 255,12 391,69	13,5 96,6 1,9 64,4	0,1 0,3 0,1 0,3	0,7 0,3 5,3 0,5	1,7 1,5 5,5 1,6	1,7 1,5 5,5 1,6
^{137}Cs	[28]	30,18 (10) года	1	4,5 <i>LX</i> 32,1 <i>KX</i> 36,5 <i>KX</i> 661,65	1,25 5,67 1,34 85,1	0,01 0,18 0,05 0,5	0,8 3,2 3,7 0,6	1,3 3,3 3,9 1,2	1,7 3,5 4,0 1,6
^{54}Mn	[28]	312,5 (3)	0,5	5,5 <i>KX</i> 834,86	25,0 100	0,2 —	0,8 —	0,9 0,5	1,7 1,5
^{88}Y	[28]	107,4 (8)	1,5	14,4 <i>KX</i> 898,01 1836,07	63,40 91,40 99,40	0,32 0,07 0,07	0,5 0,1 0,1	1,6 1,5 1,5	1,6 1,5 1,5
^{65}Zn	[28]	245,7 (11)	1	8,1 <i>KX</i> 1115,56	35,2 50,6	0,3 0,4	0,9 0,8	1,3 1,3	1,7 1,7

Продолжение табл. 5

Нуклид	Литература	$T_{1/2}$, дни	$\Delta A, \%$	E	I	ΔI	$\Delta \varepsilon_1$	$\Delta \varepsilon_2$	$\Delta \varepsilon_3$
^{60}Co	[28]	5,275 (5) года	0,5	1173,24 1332,49	99,74 99,85	0,05 0,03	0,1 0,1	0,5 0,5	1,5 1,5
^{22}Na	[28]	2,602 (5) года	1	1274,53	99,95	0,02	0,1	1,0	1,5
^{24}Na	[61] [62]	15,030 (3) ч	—	1368,60 2753,97	100 99,85	— 0,02	— 0,02	— —	— —

Примечание. $\Delta \varepsilon_1 = \Delta I/I$; $\Delta \varepsilon_2 = [(\Delta I/I)^2 + (\Delta A)^2]^{1/2}$; $\Delta \varepsilon_3 = [(\Delta I/I)^2 + (\Delta A = 1,5\%)^2]^{1/2}$.

б) диапазон до 600 кэв. Использован полный набор данных (см. табл. 4). Типичный аппаратурный спектр показан на рис. 46. С помощью конкурирующих каскадных переходов определены энергии трех прямых переходов: 636, 786 и 820 кэв (см. табл. 6);

в) диапазон до 820 кэв. В рабочей по каналам области спектрометра измерялись γ -кванты до 612 кэв (см. табл. 6), исследовалась нелинейность и проводилась ее аппроксимация полиномом [12]. Затем коэффициент усиления изменялся так, что в рабочей области укладывался энергетический диапазон рассчитанных прямых переходов до 820 кэв (см. табл. 6). Завершение этого этапа позволило определить энергии четырех прямых переходов (1365, 1384, 1475 и 1505 кэв);

г) диапазон до 1505 кэв. Уточнены и определены энергии девяти прямых переходов: 786, 820, 1365, 1384, 1475, 1505, 1562, 2185 и 2598 кэв (см. табл. 6). Затем все измерения, проведенные до этого момента, были переградуированы с помощью уточненных данных табл. 6. Типичный аппаратурный спектр показан на рис. 47;

д) диапазон выше 1500 кэв. Измерения проводились в три этапа: до 2185, 2598 и 3500 кэв (см. табл. 6). Типичный аппаратурный спектр показан на рис. 48.

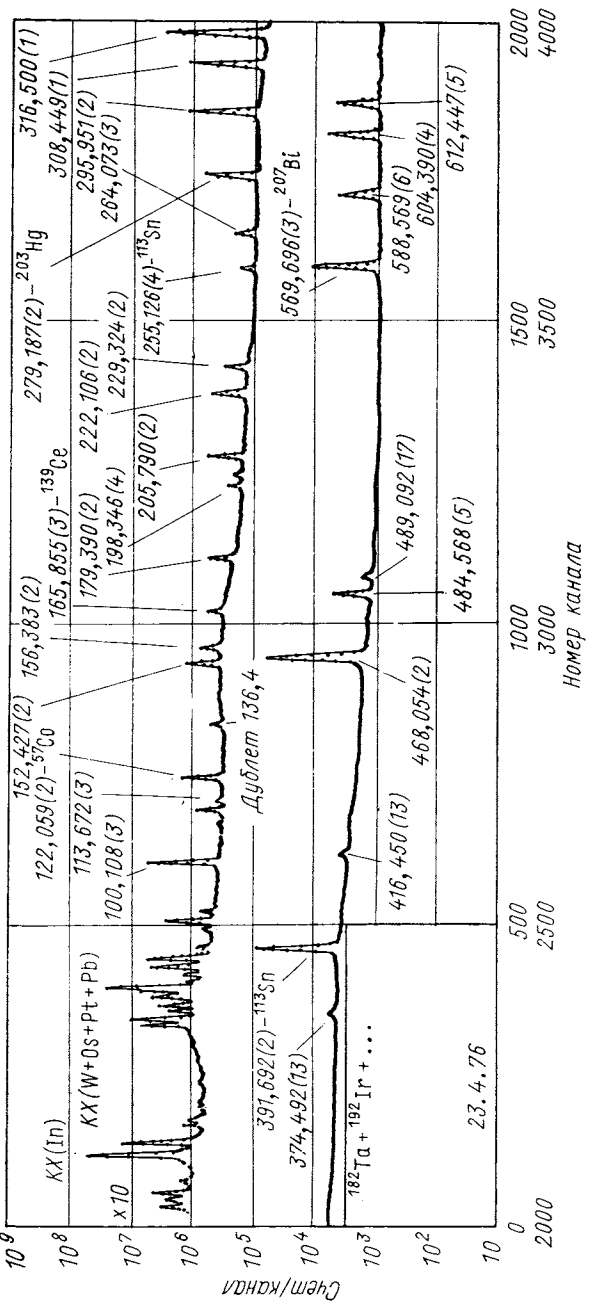
Проведено более 800 серий измерений на различных детекторах, спектрометрических трактах и при разных коэффициентах усиления. Результаты экспериментов приведены в табл. 7. Следуя работе [32], мы приводим порядки нормалей. Нормали четвертого порядка получены в непосредственном сравнении с данными [37]. Нормали пятого порядка получены в сравнении с нормалью третьего и четвертого порядков. Знак «+» указывает на то, что значение энергии получено суммированием энергий конкурирующих каскадных переходов.

Таблица 6

Энергия γ -квантов, полученная с помошью конкурирующих каскадных переходов

Нуклид	$E(1)$	$\Phi(1)$	$E(2)$	$\Phi(2)$	$E(K)$	$\Phi(K)$	$E(H)$	$\Phi(H)$	E	Φ
^{173}Lu	285,369	0,003	350,750	0,005	636,149	0,006	—	—	636,129	0,006
	179,363	0,001	456,771	0,006	636,134	0,006	—	—	786,188	0,015
	78,651	0,006	557,482	0,004	636,133	0,007	820,640	0,013	820,632	0,019
^{95m}Tc	204,119	0,003	582,068	0,005	786,184	0,006	—	—	—	—
	204,119	0,003	616,497	0,019	820,614	0,023	—	—	—	—
^{134}Cs	569,322	0,003	795,856	0,003	1365,177	0,004	—	—	—	—
	563,231	0,004	801,943	0,004	1365,173	0,006	1365,480	0,014	1365,177	0,003
^{110m}Ag	620,353	0,006	763,936	0,005	1384,285	0,008	—	—	—	—
	677,643	0,002	706,672	0,003	1384,280	0,004	—	—	—	—
	446,802	0,005	937,507	0,003	1384,305	0,006	1384,274	0,007	1384,285	0,007
	657,744	0,002	818,028	0,007	1475,777	0,007	1475,784	0,010	1475,778	0,006
	687,001	0,004	818,028	0,007	1505,024	0,008	—	—	—	—
	620,353	0,006	884,695	0,002	1505,043	0,006	1505,043	0,023	1505,036	0,006
	677,643	0,002	884,695	0,002	1562,293	0,003	—	—	—	—
	744,271	0,004	848,028	0,007	1562,302	0,008	1562,319	0,020	1562,295	0,007
^{144}Ce	696,492	0,004	1489,132	0,005	2485,617	0,007	—	—	2185,617	0,007
^{56}Co	1238,271	0,003	1360,209	0,005	2598,450	0,006	2598,429	0,013	2598,444	0,008
^{88}Y	898,048	0,005	1836,074	0,008	2734,103	0,004	—	—	2734,103	0,009
^{56}Co	1238,271	0,003	2015,196	0,018	3253,423	0,048	3253,410	0,019	3253,414	0,013

Приложение. $E(H)$ — энергия, найденная суммированием каскадных переходов с учетом излучения при помонии другим нормальным энергиями; E — среднее значение энергий $E(H)$ и $E(H)$.



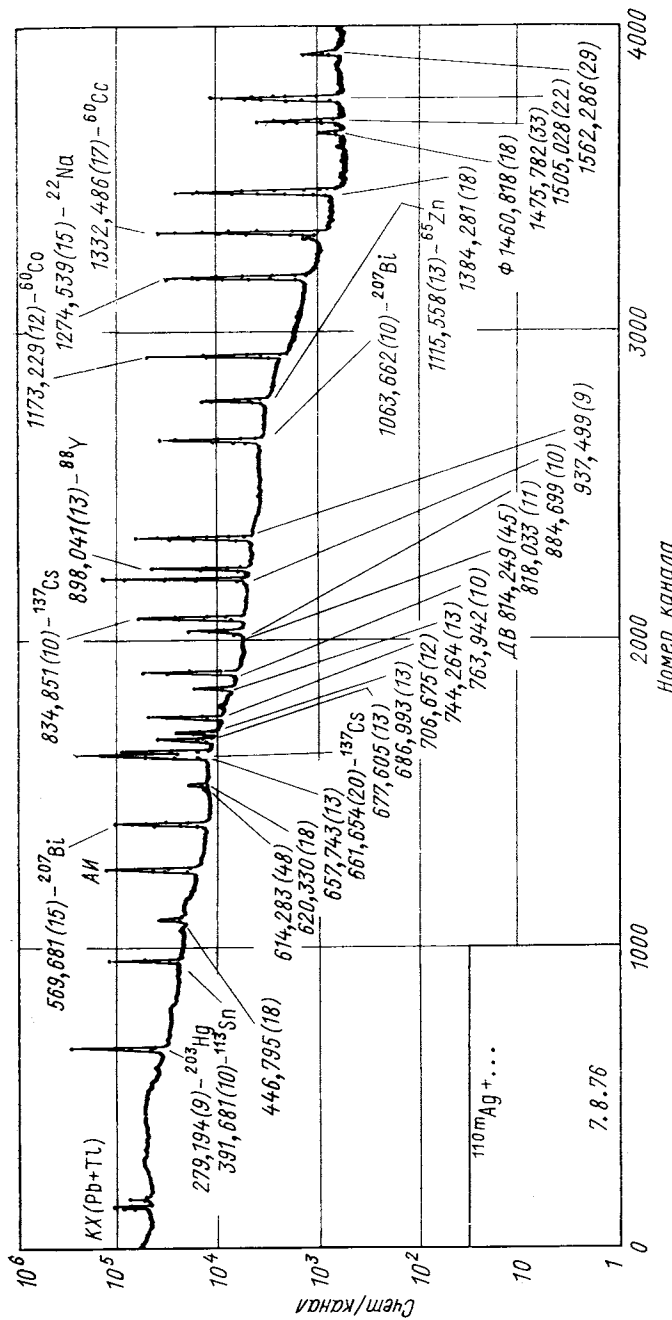


Рис. 47. Аппаратурный γ -спектр в диапазоне до 4505 кэВ (38-см³ Ge(Li)-детектор):
 $T_2 = 9$ час; $P = 25$ см; ФП — 1 мкСд

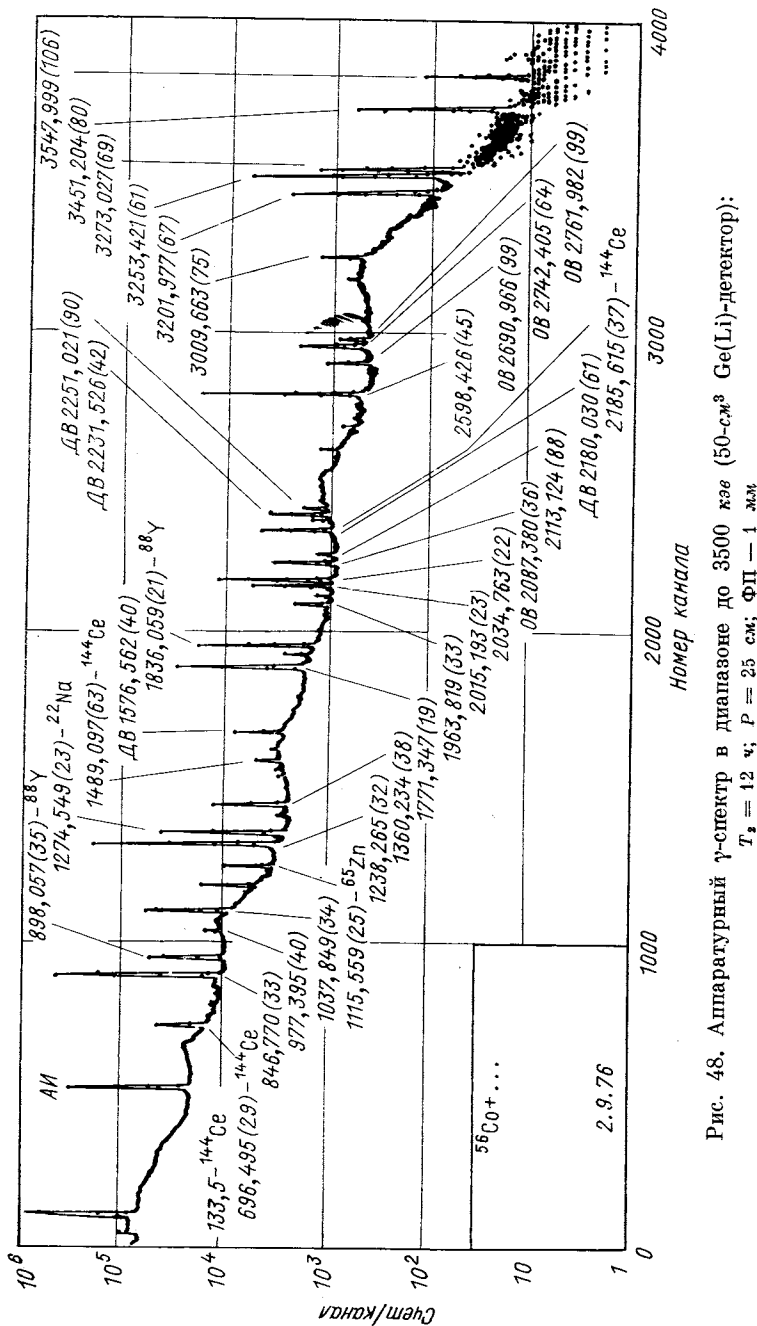


Рис. 48. Аппаратуарный γ -спектр в диапазоне до 3500 кэВ (50-см³ Ge(Li)-детектор):
 $T_s = 12^\circ\text{C}$; $P = 25$ си; $\Phi II - 1$ мк

Таблица 7

Нормали энергий γ -квантов радиоактивных нуклидов

Нуклид	<i>Q</i>	<i>q</i>	<i>E</i>	Φ_1	Φ_2	ΔE
^{182}Ta	3	—	31,7370	—	—	0,0007
^{182}Ta	3	—	42,7143	—	—	0,0009
^{241}Am	5	6	59,538	0,002	0,001	0,002
^{169}Yb	3	—	63,1182	—	—	0,0011
^{182}Ta	3	—	65,7219	—	—	0,0013
^{182}Ta	3	—	67,7496	—	—	0,0013
^{170}Tm	3	—	84,2517	—	—	0,0015
^{182}Ta	3	—	84,6802	—	—	0,0016
^{160}Tb	4	6	86,790	0,001	0,001	0,002
^{109}Cd	4	14	88,032	0,001	0,001	0,002
^{176m}Lu	5	4	88,367	0,002	0,002	0,003
^{75}Se	4	6	96,734	0,002	0,002	0,003
^{153}Gd	4	12	97,432	0,001	0,001	0,003
^{182}Ta	3	—	100,1067	—	—	0,0019
^{153}Gd	4	12	103,181	0,001	0,001	0,002
^{169}Yb	5	9	109,784	0,001	0,001	0,003
^{182}Ta	3	—	113,6677	—	—	0,0022
^{182}Ta	3	—	116,4172	—	—	0,0023
^{169}Yb	5	9	118,191	0,001	0,001	0,003
^{75}Se	4	12	121,117	0,001	0,001	0,003
^{152}Eu	4	14	121,782	0,001	0,001	0,003
^{57}Co	4	15	122,060	0,001	0,001	0,002
^{169}Yb	5	9	130,525	0,001	0,002	0,003
^{144}Ce	4	9	133,518	0,001	0,001	0,003
^{75}Se	4	12	136,000	0,004	0,004	0,003
^{57}Co	4	6	136,475	0,001	0,002	0,005
^{141}Ce	6	4	145,443	0,001	0,001	0,003
^{182}Ta	3	—	152,4298	—	—	0,0029
^{182}Ta	3	—	156,3819	—	—	0,0030
^{139}Ce	4	32	165,854	0,001	0,001	0,003
^{173}Lu	5	10	171,402	0,001	0,001	0,004
^{169}Yb	5	9	177,208	0,001	0,001	0,004
^{173}Lu	5	9	179,363	0,001	0,001	0,004
^{182}Ta	3	—	179,3895	—	—	0,0034
^{160}Tb	5	4	197,026	0,003	0,002	0,004
^{169}Yb	5	9	197,948	0,001	0,001	0,004
^{182}Ta	3	—	198,3478	—	—	0,0038
^{75}Se	5	6	198,603	0,002	0,002	0,005
^{167}Tm	6	4	207,797	0,001	0,001	0,004
^{160}Tb	4	6	215,641	0,001	0,001	0,004
^{82}Br	6	5	221,476	0,002	0,001	0,006
^{182}Ta	3	—	222,4037	—	—	0,0042
^{182}Ta	3	—	229,3162	—	—	0,0052
^{173}Lu	5	9	233,603	0,002	0,001	0,005
^{152}Eu	4	14	244,691	0,001	0,001	0,005
^{113}Sn	4	15	255,132	0,007	0,002	0,008
^{169}Yb	5	9	261,069	0,007	0,004	0,009
^{182}Ta	3	—	264,0711	—	—	0,0050
^{75}Se	5	6	264,652	0,001	0,001	0,005

Продолжение табл. 7

Нуклид	<i>Q</i>	<i>q</i>	<i>E</i>	Φ_1	Φ_2	ΔE
^{173}Lu	5	6	272,111	0,001	0,001	0,005
^{133}Ba	4	7	276,397	0,003	0,003	0,005
^{203}Hg	4	10	279,189	0,001	0,001	0,006
^{75}Se	5	9	279,535	0,001	0,001	0,006
^{173}Lu	5	5	285,369	0,002	0,003	0,006
^{192}Ir	3	—	295,9483	—	—	0,0052
^{160}Tb	5	5	298,571	0,002	0,002	0,006
^{133}Ba	4	7	302,850	0,002	0,002	0,006
^{75}Se	5	7	303,908	0,004	0,003	0,010
^{169}Yb	+5	—	307,732	0,002	0,003	0,006
^{192}Ir	3	—	308,4464	—	—	0,0054
^{192}Ir	3	—	316,4977	—	—	0,0056
^{152}Eu	4	11	344,267	0,001	0,001	0,007
^{133}Ba	4	7	356,005	0,002	0,002	0,007
^{133}Ba	4	7	383,831	0,003	0,004	0,008
^{113}Sn	4	17	391,688	0,002	0,002	0,007
^{75}Se	+5	9	400,650	0,002	0,003	0,008
^{152}Eu	5	5	411,084	0,006	0,007	0,010
^{198}Hg	2	—	411,794	—	—	0,007
^{192}Ir	3	—	416,4501	—	—	0,0079
^{152}Eu	5	5	443,940	0,005	0,003	0,009
^{110m}Ag	5	9	446,802	0,004	0,005	0,011
^{192}Ir	3	—	468,0546	—	—	0,0082
^{82}Br	6	5	554,330	0,004	0,005	0,011
^{134}Cs	5	6	563,231	0,004	0,003	0,011
^{134}Cs	5	6	569,322	0,003	0,002	0,012
^{207}Bi	4	16	569,683	0,001	0,002	0,011
^{192}Ir	3	—	588,5562	—	—	0,0106
^{192}Ir	3	—	604,3942	—	—	0,0106
^{134}Cs	5	11	604,707	0,001	0,002	0,012
^{192}Ir	3	—	612,4460	—	—	0,0106
^{110m}Ag	5	9	620,353	0,005	0,006	0,014
^{173}Lu	+4	—	636,129	0,004	0,006	0,013
^{110m}Ag	5	8	657,744	0,002	0,002	0,013
^{137}Cs	5	11	661,648	0,002	0,002	0,013
^{110m}Ag	5	9	677,613	0,002	0,002	0,014
^{110m}Ag	5	9	687,001	0,003	0,004	0,014
^{144}Ce	5	10	696,492	0,004	0,003	0,013
^{82}Br	6	5	698,361	0,004	0,003	0,013
^{110m}Ag	5	10	706,672	0,002	0,003	0,014
^{110m}Ag	5	9	744,271	0,003	0,004	0,015
^{110m}Ag	5	9	763,936	0,003	0,005	0,016
^{82}Br	6	5	776,516	0,004	0,003	0,014
^{152}Eu	6	7	778,914	0,003	0,004	0,015
^{95m}Tc	+4	—	786,188	0,005	0,005	0,015
^{134}Cs	5	10	795,856	0,002	0,003	0,016
^{134}Cs	5	11	801,957	0,003	0,004	0,016
^{110m}Ag	5	9	818,028	0,004	0,007	0,015
^{95m}Tc	+4	—	820,632	0,011	0,012	0,019
^{82}Br	7	5	827,828	0,005	0,007	0,016

Продолжение табл. 7

Нуклид	<i>Q</i>	<i>q</i>	<i>E</i>	Φ_1	Φ_2	ΔE
^{54}Mn	5	14	834,858	0,002	0,002	0,015
^{56}Co	6	13	846,777	0,004	0,001	0,016
^{152}Eu	6	5	867,383	0,006	0,003	0,016
^{160}Tb	6	5	879,387	0,005	0,005	0,017
^{110m}Ag	5	9	884,695	0,002	0,002	0,016
^{88}Y	6	11	898,048	0,004	0,005	0,019
^{110m}Ag	5	9	937,507	0,003	0,002	0,017
^{160}Tb	6	5	962,347	0,007	0,003	0,018
^{152}Eu	6	8	964,070	0,003	0,002	0,018
^{160}Tb	6	5	966,163	0,005	0,002	0,019
^{56}Co	6	18	1037,841	0,003	0,002	0,018
^{82}Br	7	5	1043,996	0,005	0,008	0,020
^{207}Bi	6	14	1063,660	0,002	0,001	0,019
^{152}Eu	6	7	1085,835	0,004	0,004	0,019
^{152}Eu	6	8	1112,065	0,008	0,004	0,022
^{65}Zn	6	12	1115,555	0,004	0,001	0,020
^{182}Ta	6	8	1121,290	0,004	0,002	0,020
^{60}Co	6	8	1173,236	0,005	0,004	0,021
^{56}Co	6	11	1175,095	0,006	0,008	0,023
^{160}Tb	6	5	1177,970	0,007	0,001	0,022
^{182}Ta	6	8	1189,034	0,004	0,002	0,021
^{160}Tb	6	5	1199,904	0,008	0,006	0,023
^{152}Eu	6	8	1212,895	0,008	0,004	0,023
^{182}Ta	6	8	1221,391	0,004	0,002	0,022
^{182}Ta	6	8	1230,988	0,004	0,003	0,023
^{56}Co	6	18	1238,271	0,003	0,002	0,022
^{182}Ta	6	8	1257,416	0,007	0,006	0,023
^{160}Tb	6	5	1271,896	0,007	0,003	0,024
^{182}Ta	6	8	1273,711	0,010	0,005	0,024
^{22}Na	6	8	1274,531	0,004	0,002	0,023
^{182}Ta	6	8	1289,119	0,007	0,015	0,024
^{152}Eu	6	5	1299,108	0,009	0,007	0,024
^{160}Tb	6	5	1312,174	0,007	0,011	0,026
^{82}Br	7	5	1347,459	0,007	0,007	0,025
^{60}Co	6	8	1332,485	0,005	0,003	0,025
^{56}Co	6	15	1360,209	0,005	0,005	0,024
^{134}Cs	+5	—	1365,177	0,003	0,002	0,024
^{24}Na	6	8	1368,615	0,006	0,003	0,026
^{110m}Ag	+5	—	1384,285	0,005	0,007	0,026
^{152}Eu	6	8	1407,974	0,006	0,004	0,026
^{110m}Ag	+5	—	1475,778	0,009	0,006	0,027
^{144}Ce	6	10	1489,132	0,009	0,006	0,027
^{110m}Ag	+5	—	1505,036	0,005	0,006	0,028
^{110m}Ag	+5	—	1562,303	0,004	0,006	0,029
^{207}Bi	7	6	1770,253	0,013	0,006	0,034
^{56}Co	7	13	1771,347	0,006	0,007	0,032
^{56}Co	7	9	1810,768	0,018	0,018	0,037
^{88}Y	7	10	1836,074	0,008	0,003	0,034
^{56}Co	7	13	1963,760	0,019	0,017	0,038
^{56}Co	7	13	2015,196	0,018	0,008	0,040

Продолжение табл. 7

Нуклид	<i>Q</i>	<i>q</i>	<i>E</i>	Φ_1	Φ_2	ΔE
^{56}Co	7	13	2034,772	0,007	0,006	0,037
^{56}Co	7	7	2113,154	0,030	0,015	0,048
^{144}Ce	6	—	2185,607	0,007	—	0,041
^{56}Co	7	7	2212,859	0,036	0,038	0,055
^{56}Co	+6	—	2598,444	0,006	0,008	0,047
^{24}Na	7	6	2753,989	0,012	0,012	0,051
^{56}Co	7	7	3009,587	0,023	0,017	0,059
^{56}Co	7	7	3201,987	0,019	0,009	0,060
^{56}Co	+6	—	3253,414	0,013	0,006	0,060
^{56}Co	7	7	3273,000	0,020	0,022	0,062
^{56}Co	7	7	3451,173	0,024	0,018	0,070

П р и м е ч а н и е. $\Phi_1 = \alpha_1$; $\Phi_2 = \alpha_2$; *Q* — порядок нормали; *q* — число серий измерений.

Проверка нормалей энергии до 600 кэВ проводится решением обратной задачи — измерения энергий γ -квантов Ir^{182}Ta и ^{192}Ir с помощью данных табл. 7. Результаты трех серий измерений приведены в табл. 4 (колонка 5). Они говорят о хорошей сходимости наших данных с рекомендованными. Проверка достоверности в более широкой области проводилась с помощью конкурирующих прямых и каскадных переходов (в пределах α_1 или α_2) для нуклидов с хорошо исследованными схемами распада (табл. 8). Факт сходимости результатов в пределах приведенных погрешностей можно толковать как подтверждение правильности модели расчета погрешностей.

Отметим, что ранее предлагалось применять пики одиночного (ОВ) и двойного (ДВ) вылетов для прецизионных измерений энергий высоконергетических γ -переходов. Мы провели шесть серий измерений спектра γ -квантов ^{56}Co (табл. 9.) Очевидно, что сложные кинематические процессы в электрическом поле детектора при регистрации пары электрон — позитрон являются источником систематических погрешностей. Кстати, полученные значения энергий γ -перехода с помощью пиков ДВ для ^{56}Co совпадают со значениями, рекомендованными в работе [38].

Значения некоторых нормалей энергии, рекомендованные разными авторами, сравниваются в табл. 10. Данные работ [32, 36] найдены на основе анализа различных экспериментальных работ и корректированы с учетом новейших значений фундаментальных констант. Данные работ [54, 57] получены с помощью новых экспериментов на кристалл-дифракционных спектромет-

Таблица 8

Энергия γ-квантов, полученная с помостью конкурирующих каскадных переходов и измеренная с помощью
нормалей энергий (см. табл. 7)

Нуклид	$E(1)$	$\Phi(1)$	$E(2)$	$\Phi(2)$	$E(K)$	$\Phi(K)$	$E(\Pi)$	$\Phi(\Pi)$	Разность
^{56}Co	1238,271	0,003	1360,209	0,005	2598,450	0,006	2598,429	0,013	-0,024 ± 0,014
	1238,271	0,003	2015,196	0,018	3253,423	0,018	3253,410	0,019	-0,013 ± 0,026
^{75}Se	1238,271	0,003	2034,772	0,007	3272,995	0,008	3273,000	0,022	+0,005 ± 0,023
	96,734	0,002	303,908	0,004	400,642	0,005	400,646	0,006	+0,004 ± 0,008
^{82}Br	124,117	0,001	279,535	0,001	400,652	0,002	400,646	0,006	-0,006 ± 0,007
	136,000	0,001	264,652	0,001	400,652	0,002	400,646	0,006	-0,006 ± 0,007
^{96m}Tc	224,476	0,002	606,344	0,012	827,819	0,012	827,828	0,007	+0,009 ± 0,014
	698,361	0,004	619,100	0,009	1317,456	0,010	1317,459	0,007	+0,003 ± 0,012
^{110m}Ag	698,361	0,004	776,516	0,004	1474,865	0,006	1474,867	0,009	+0,002 ± 0,014
	204,119	0,003	582,068	0,005	786,184	0,006	786,194	0,007	+0,010 ± 0,009
^{131}Ba	204,119	0,003	616,497	0,019	820,640	0,013	820,640	0,013	0,000 ± 0,018
	446,802	0,005	937,507	0,003	1384,305	0,006	1384,274	0,007	-0,031 ± 0,009
^{140}Ba	677,613	0,002	706,672	0,003	1384,280	0,004	1384,274	0,007	-0,006 ± 0,008
	328,763	0,006	763,936	0,005	1384,285	0,008	1384,274	0,007	-0,014 ± 0,014
^{144}Ce	657,744	0,002	818,028	0,007	1475,777	0,007	1475,781	0,010	+0,004 ± 0,012
	620,353	0,006	884,695	0,002	1505,024	0,006	1505,028	0,011	+0,004 ± 0,013
^{149}Gd	687,001	0,004	818,028	0,007	1505,043	0,008	1505,028	0,041	-0,045 ± 0,014
	677,613	0,002	884,695	0,002	1562,293	0,003	1562,319	0,020	+0,026 ± 0,022
^{152}Eu	744,271	0,004	818,028	0,007	1562,302	0,008	1562,319	0,020	+0,018 ± 0,022
	54,889	0,005	78,733	0,003	133,622	0,006	133,609	0,006	-0,013 ± 0,008
^{157}Gd	92,284	0,003	123,805	0,002	216,089	0,004	216,085	0,010	-0,004 ± 0,011
	157,148	0,020	216,085	0,010	373,232	0,022	373,221	0,049	-0,014 ± 0,029
^{246}Eu	246,897	0,032	373,224	0,019	620,118	0,037	620,090	0,010	-0,028 ± 0,039
	328,763	0,004	487,012	0,010	815,773	0,014	815,770	0,015	-0,003 ± 0,019
^{272}Eu	696,492	0,004	1489,132	0,009	2185,617	0,010	2185,607	0,013	-0,010 ± 0,016
	149,733	0,006	346,660	0,006	496,392	0,008	496,403	0,010	+0,014 ± 0,013
^{346}Eu	346,660	0,006	298,617	0,007	645,276	0,009	645,288	0,008	+0,012 ± 0,012
	272,317	0,006	516,558	0,008	788,874	0,010	788,857	0,008	-0,017 ± 0,013
^{149}Eu	149,733	0,006	788,857	0,008	938,589	0,010	938,591	0,011	+0,002 ± 0,015
	272,347	0,010	666,293	0,008	938,608	0,013	938,591	0,011	-0,017 ± 0,017
^{244}Eu	244,694	0,004	443,940	0,005	688,630	0,005	688,655	0,048	+0,025 ± 0,048
	367,768	0,014	411,084	0,007	778,850	0,016	778,914	0,009	+0,064 ± 0,019

Нуклид	E (1)	Φ (2)	E (2)	Φ (2)	E (K)	Φ (K)	E (II)	Φ (II)	Разность
¹⁶⁶ Tb	121, 782	0, 001	964, 070	0, 003	1085, 854	0, 003	1085, 835	0, 009	-0, 016 ± 0, 014
	678, 639	0, 020	411, 084	0, 007	1089, 722	0, 024	1089, 726	0, 028	+0, 004 ± 0, 035
	244, 691	0, 001	867, 383	0, 006	1112, 073	0, 006	1112, 065	0, 040	-0, 008 ± 0, 012
	443, 940	0, 005	964, 070	0, 003	1408, 008	0, 008	1407, 974	0, 009	-0, 034 ± 0, 014
	244, 691	0, 001	1212, 385	0, 008	1457, 592	0, 008	1457, 590	0, 034	-0, 002 ± 0, 036
	86, 790	0, 001	879, 387	0, 005	966, 177	0, 005	966, 163	0, 005	-0, 014 ± 0, 007
	197, 026	0, 003	765, 341	0, 009	962, 337	0, 010	962, 347	0, 007	+0, 010 ± 0, 012
	298, 571	0, 002	879, 387	0, 005	1177, 958	0, 006	1177, 970	0, 007	+0, 012 ± 0, 009
	215, 644	0, 001	962, 347	0, 007	1177, 988	0, 007	1177, 970	0, 007	-0, 018 ± 0, 010
	197, 026	0, 003	1002, 865	0, 007	1199, 891	0, 008	1199, 904	0, 008	+0, 013 ± 0, 011
¹⁷² Lu	392, 480	0, 032	879, 387	0, 005	1271, 867	0, 032	1271, 896	0, 007	+0, 029 ± 0, 033
	309, 562	0, 016	962, 347	0, 007	1274, 909	0, 018	1274, 896	0, 007	-0, 013 ± 0, 019
	197, 026	0, 004	1145, 456	0, 018	1312, 182	0, 018	1312, 174	0, 014	-0, 008 ± 0, 024
	410, 300	0, 014	399, 750	0, 020	810, 051	0, 024	810, 084	0, 029	+0, 033 ± 0, 038
	440, 300	0, 014	490, 451	0, 017	900, 751	0, 022	900, 730	0, 028	-0, 024 ± 0, 036
	203, 436	0, 003	697, 298	0, 029	900, 734	0, 029	900, 730	0, 028	-0, 004 ± 0, 040
	112, 793	0, 005	816, 339	0, 024	929, 132	0, 022	929, 106	0, 026	-0, 006 ± 0, 034
	181, 530	0, 002	912, 085	0, 022	1093, 615	0, 022	1093, 609	0, 016	-0, 006 ± 0, 033
	528, 266	0, 022	584, 727	0, 020	1112, 991	0, 030	1113, 010	0, 019	+0, 019 ± 0, 049
	490, 451	0, 017	912, 085	0, 022	1402, 536	0, 028	1402, 510	0, 016	-0, 024 ± 0, 032
¹⁷³ Lu	528, 266	0, 022	912, 085	0, 022	1440, 349	0, 031	1440, 347	0, 026	-0, 002 ± 0, 035
	78, 654	0, 006	100, 719	0, 006	179, 370	0, 008	179, 363	0, 004	-0, 007 ± 0, 009
	100, 719	0, 006	171, 402	0, 003	272, 120	0, 007	272, 111	0, 002	-0, 009 ± 0, 007
	174, 402	0, 003	179, 363	0, 004	350, 764	0, 005	350, 750	0, 005	-0, 014 ± 0, 007
	171, 402	0, 003	285, 369	0, 003	456, 771	0, 004	456, 769	0, 013	-0, 002 ± 0, 014
	100, 719	0, 006	456, 769	0, 013	557, 488	0, 014	557, 485	0, 016	-0, 003 ± 0, 021
	285, 369	0, 003	350, 750	0, 005	636, 120	0, 007	636, 129	0, 007	+0, 009 ± 0, 010
	456, 769	0, 013	179, 363	0, 004	636, 132	0, 014	636, 129	0, 007	-0, 003 ± 0, 016
	557, 485	0, 016	78, 654	0, 006	636, 136	0, 017	636, 129	0, 007	-0, 007 ± 0, 018
	400, 405	0, 002	1489, 034	0, 004	1289, 139	0, 005	1289, 119	0, 014	-0, 020 ± 0, 015
¹⁸² Ta	100, 405	0, 002	1457, 308	0, 022	1257, 410	0, 022	1257, 416	0, 015	+0, 006 ± 0, 027
	229, 346	0, 005	928, 023	0, 042	1157, 338	0, 043	1157, 308	0, 022	-0, 030 ± 0, 048
	229, 316	0, 005	1001, 705	0, 006	1233, 018	0, 008	1230, 988	0, 004	-0, 020 ± 0, 009
	84, 684	0, 003	1489, 034	0, 004	1273, 714	0, 005	1273, 711	0, 010	-0, 003 ± 0, 012
	146, 443	0, 003	1457, 308	0, 022	1273, 714	0, 010	1273, 711	0, 010	-0, 005 ± 0, 026
	152, 427	0, 003	1121, 290	0, 004	1273, 717	0, 005	1273, 711	0, 010	-0, 006 ± 0, 014

Приимечание. Обозначения те же, что и в табл. 8. Проводится учет энергии отдачи ядра.

рах. В общем, наблюдаем хорошую сходимость результатов в пределах погрешностей. В то же время энергии некоторых переходов ^{152}Eu из [57] отличаются от полученных нами. Анализ большего, чем в [57], числа конкурирующих и каскадных переходов (см. табл. 8) говорит о хорошей внутренней сходимости наших результатов. При этом нужно иметь в виду, что переход 443,9 кэв может

Таблица 9

Энергия γ -квантов, полученная с помощью пиков полного поглощения (ФП), одиночного (ОВ) и двойного (ДВ) вылетов

E (ДВ)	Φ (ДВ)	E (ОВ)	Φ (ОВ)	E	Φ	Вылет
749,448	0,041	1260,320	0,052	1771,450	0,041	ДВ
				1771,321	0,052	ОВ
				1771,347	0,023	ФП
1576,530	0,042	2087,424	0,046	2598,532	0,042	ДВ
				2598,425	0,046	ОВ
				2598,435	0,011	ФП
2180,148	0,105	2690,970	0,070	3202,150	0,105	ДВ
				3201,971	0,070	ОВ
				3201,987	0,019	ФП
2231,572	0,031	2742,399	0,055	3253,574	0,031	ДВ
				3253,400	0,055	ОВ
				3253,414	0,016	ФП
2251,179	0,047	2761,987	0,107	3273,181	0,047	ДВ
				3272,988	0,107	ОВ
				3273,000	0,022	ФП

быть дублетом. Соотношение двух полных наборов нормалей энергий, предлагаемых в настоящей работе и в [36], иллюстрируется рис. 49. Как видно, с ростом E наблюдается увеличение разности между нашими значениями энергий и значениями энергий из [36], которое при $E \sim 3000$ кэв достигает 100 эв. На этом же рисунке приведены и разности значений энергий γ -квантов ^{56}Co , предложенных нами и в работе [38].

Особый интерес представляет сравнение полученных нами результатов с нормалями третьего порядка, измеренными на магнитном безжелезном бета-спектрометре (табл. 11). Значения энергий γ -квантов согласуются отлично. Беспрокойство вызывает значение перехода 1368 кэв (^{24}Na), но мы считаем, что расходимость можно связать только с какой-нибудь погрешностью в работе [33].

Таблица 10

Нормали энергии γ -квантов

Нуклид	[29]			[32]			[36]			[56]			[57]		
	E	$\Delta E'$	ΔE	E	ΔE	E'	$\Delta E'$	E	ΔE						
^{109}Cd	88,032	0,002	0,002	88,035	0,006	88,037	0,005	88,032	0,002	—	—	—	—	—	—
^{153}Gd	97,432	0,002	0,003	97,429	0,003	97,432	0,003	—	—	97,42920	0,00026	0,00468	0,00026	0,00468	0,00026
^{163}Gd	103,181	0,002	0,002	103,179	0,004	103,180	0,002	—	—	103,17804	0,00024	0,00477	0,00024	0,00477	0,00024
^{152}Eu	121,782	0,002	0,003	121,780	0,004	—	—	—	—	121,7793	0,0003	0,0024	0,0003	0,0024	0,0024
^{67}Co	122,060	0,001	0,002	—	—	122,063	0,004	—	—	122,05826	0,00012	0,0024	0,00012	0,0024	0,0024
^{67}Co	136,475	0,002	0,004	—	—	136,473	0,004	—	—	136,47089	0,00030	0,0023	0,00030	0,0023	0,0023
^{139}Ce	165,854	0,002	0,003	—	—	165,857	0,007	165,853	0,007	—	—	—	—	—	—
^{160}Tb	215,641	0,002	0,004	—	—	215,641	0,004	—	—	—	—	—	—	—	—
^{162}Eu	244,681	0,002	0,005	244,693	0,010	—	—	—	—	244,6927	0,0008	0,0042	0,0008	0,0042	0,0042
$^{208}\text{Hg}^+$	279,489	0,003	0,006	279,490	0,009	279,488	0,006	279,490	0,006	—	—	—	—	—	—
^{160}Tb	298,571	0,003	0,006	—	—	298,572	0,006	—	—	—	—	—	—	—	—
^{162}Eu	344,267	0,003	0,007	344,267	0,010	—	—	—	—	344,2724	0,0017	0,0064	0,0017	0,0064	0,0064
^{155}Eu	367,768	0,044	0,046	—	—	—	—	—	—	367,779	0,004	0,007	0,004	0,007	0,007
^{113}Sb	394,688	0,003	0,007	—	—	394,688	0,010	—	—	—	—	—	—	—	—
^{162}Eu	411,084	0,007	0,010	—	—	—	—	—	—	441,107	0,007	0,040	0,007	0,040	0,040
^{155}Eu	443,940	0,005	0,009	—	—	—	—	—	—	443,979	0,006	0,010	0,006	0,010	0,010
^{207}Bi	569,683	0,004	0,011	—	—	569,689	0,013	—	—	—	—	—	—	—	—
^{134}Cs	604,797	0,004	0,012	604,748	0,030	—	—	—	—	—	—	—	—	—	—
^{137}Cs	661,648	0,004	0,013	661,633	0,012	661,638	0,019	—	—	661,6492	0,0052	0,042	0,0052	0,042	0,042

¹¹⁰ mAg	763,936	0,007	0,016	-	-	763,928	0,019	-	-	-	-	-
¹⁶ Eu	778,914	0,006	0,015	-	-	834,827	0,021	-	-	778,905	0,013	0,019
⁶⁴ Mn	834,858	0,006	0,015	-	-	898,024	0,019	-	-	-	-	-
⁸⁸ Y	898,048	0,006	0,019	-	-	-	-	-	-	-	-	-
¹⁶² Eu	964,070	0,006	0,018	-	-	-	-	-	-	964,007	0,035	0,039
²⁰ Bi	1063,660	0,006	0,019	-	-	1063,635	0,024	-	-	-	-	-
¹⁶² Eu	1085,835	0,006	0,019	-	-	-	-	-	-	1085,793	0,034	0,039
⁶⁵ Zn	1145,555	0,006	0,020	-	-	1115,518	0,025	1115,39	0,10	-	-	-
⁶⁰ Co	1173,236	0,007	0,024	1173,263	0,040	1173,208	0,025	1173,22	0,08	1173,210	0,006	0,024
²² Na	1274,531	0,006	0,023	-	-	1274,541	0,028	-	-	-	-	-
⁶⁰ Co	1332,485	0,007	0,025	1332,524	0,046	1332,464	0,028	1332,52	0,10	1332,470	0,007	0,024
²⁴ Na	1368,645	0,007	0,025	1368,558	0,044	1368,599	0,029	-	-	-	-	-
¹⁶ Eu	1407,974	0,009	0,026	-	-	-	-	-	-	1407,993	0,035	0,042
¹⁴⁴ Ce	1489,132	0,009	0,027	-	-	1489,124	0,032	-	-	-	-	-
²⁰ Bi	1770,253	0,009	0,034	-	-	1770,188	0,037	-	-	-	-	-
⁸⁸ Y	1836,074	0,008	0,034	-	-	1836,014	0,037	-	-	-	-	-
¹⁴⁴ Ce	2185,607	0,013	0,041	-	-	2185,608	0,046	-	-	-	-	-
⁵⁶ Co	2598,435	0,011	0,047	-	-	2598,400	0,053	-	-	-	-	-
²⁴ Na	2753,989	0,015	0,051	2753,99	0,12	2753,965	0,056	-	-	-	-	-
⁵⁶ Co	3253,414	0,016	0,060	-	-	3253,341	0,065	-	-	-	-	-
⁵⁶ Co	3454,173	0,029	0,070	-	-	3454,064	0,069	-	-	-	-	-

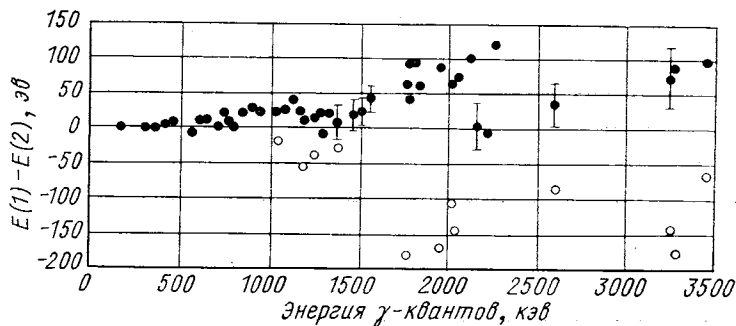


Рис. 49. Разность значений нормалей энергии γ -квантов, рекомендованные в настоящей работе $E(1)$ и в [36] $E(2)$ (точки). В качестве погрешности приведено значение $(\Phi(1))^2 + (\Phi(2))^2)^{1/2}$, где погрешность Φ — наибольшая из α_1 или α_2 . Приведены также разности значений энергии γ -квантов ^{60}Co , измеренные нами и в [38] (кружки)

Таблица 11
Энергия γ -квантов ^{60}Co и ^{24}Na из разных работ

Нуклид	Настоящая работа		Работа [33]	
	E	ΔE	E	ΔE
^{60}Co	1173,236	0,021	1173,226	0,040
^{60}Co	1332,485	0,025	1332,483	0,046
^{24}Na	1368,615	0,025	1368,526	0,044
^{24}Na	2753,989	0,056	2753,920	0,120

Относительные интенсивности γ -квантов радиоактивных нуклидов, применяемых для градуировки спектрометров [29]. Применение ЭВМ для обработки спектральной линии позволяет определить площади S с погрешностью $<1\%$ (см. рис. 24). Следовательно, для реализации такой точности в эксперименте необходимо исследовать эффективность спектрометра со сравнимой погрешностью. Идеальным случаем является применение одного источника, содержащего достаточное количество интенсивных и равномерно расположенных в широком энергетическом диапазоне линий (такие источники будем называть *многореперными*). В практике физического эксперимента чаще всего применяли ^{226}Ra . К сожалению, его γ -спектр сложен, среди дочерних продуктов имеются газы (трудно соблюдать условия равновесия), нет достаточного числа равномерно распределенных по энергии интенсивных

γ -переходов. Поэтому исследуем набор радионуклидов, являющийся таким гипотетическим препаратом.

Для градуировки набора многореперных источников возможны три подхода.

1. Расчет эффективности ППД по пику полного поглощения. В основе метода лежит зависимость фотоэффекта и комптоновского рассеяния от Z-детектора и энергии γ -квантов. С помощью

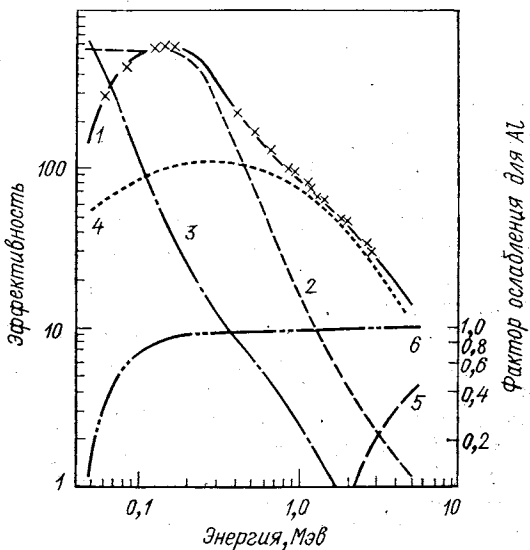


Рис. 50. Эффективность 60-см^3 Ge(Li)-датчика по пику полного поглощения:

крестики — экспериментальные точки; 1 — расчетная кривая; 2 — фотоэффект; 3 — комптон-эффект; 4 — многократный комптон-эффект; 5 — образование пар; 6 — фактор ослабления для алюминия

градуированных по активности источников определяют такие значения параметров, которые наилучшим образом удовлетворяют экспериментальным точкам. Пример такого подхода показан на рис. 50 [40]. Обратим внимание на излом расчетной кривой в области 200—600 кэВ. Как правило, исследовавшие механизм полного поглощения γ -квантов авторы не приводят полученные в этих условиях относительные интенсивности γ -квантов многореперных источников, которые позволили бы воспроизвести полученные ими экспериментальные значения эффективности.

2. Расчет относительных интенсивностей γ -квантов с помощью относительных интенсивностей ЭВК и известных значений мультипольностей переходов. Для многореперных источников подход не применялся, но в некоторых частных задачах он позво-

ляет получить информацию, которую нельзя получить другими методами. Например, в работе [41] эффективность Ge(Li)-детектора в области 200—500 кэв определялась с помощью расчетных интенсивностей γ -квантов ^{180m}Hf . При этом не следует забывать о неточностях, связанных как с определением мультипольности переходов, так и с применением расчетных значений ЭВК.

3. Исследование эффективности спектрометра с помощью градуированных по активности источников. В настоящий момент этот метод наиболее прямой и достоверный в исследовании эффективности спектрометра, так как он связан с использованием данных о разных источниках. С другой стороны, он исключительно сложен и трудоемок, поскольку измерения следует вести с учетом всех эффектов, искажающих форму аппаратурного спектра. Кроме того, вопрос приобретения полных комплектов градуированных по активности источников на время проведения экспериментов является отнюдь не простым в организационном плане. Относительные интенсивности γ -квантов полного набора многорецептерных источников исследованы в работе [28]. Ниже изложим суть этого метода.

Для исследования абсолютной эффективности спектрометров использовались пять различных наборов образцовых спектрометрических гамма-источников (ОСГИ): один, изготовленный специально, имел препараты активностью 10^6 распад/сек; четыре, полученных из В/О «Изотоп», содержали препараты активностью 10^5 распад/сек. Три набора, исключая входящие в них препараты ^{203}Hg и ^{113}Sn , были аттестованы по активности с более высокой точностью во ВНИИМ им. Д. И. Менделеева. Толщина полиэтиленовых пленок, между которыми находился активный слой источников, составляла $(11 \pm 3) \text{ мг/см}^2$. Радиоактивные источники, погрешность измерения их активности (ΔA) и выход γ -квантов на 100 распадов приведены в табл. 5. Там же представлены минимальные погрешности для эффективностей, которые можно получить при различных значениях ΔA . Значения $\Delta A = 1,5\%$ относятся к стандартному набору ОСГИ для 68%-ной доверительной вероятности. Измерения проводили на различных ППД. Экспериментальные значения для четырех спектрометров и результаты их аппроксимации показаны на рис. 51. При этом особо следует отметить трудности, связанные с выбором области аппроксимации. В основном они обусловлены сложным процессом регистрации γ -квантов Ge(Li)-детекторами в области от 100 до 600 кэв, когда идет сильная конкуренция между фотоэффектом и процессом многократного рассеяния в чувствительном объеме ППД. Трудности усугубляются еще и тем, что в этой энергетической области нет достаточного количества градуированных по активности источников. Последнее замечание относится также и к энергетической области 35—120 кэв.

Поиск возможных систематических погрешностей в методике эксперимента проводится сравнением относительных интенсивностей γ -квантов ряда нуклидов, измеренных на различных ППД.

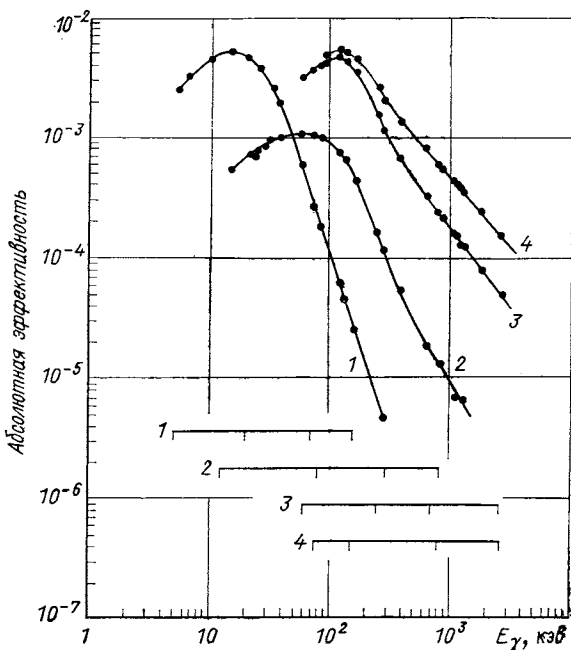


Рис. 51. Экспериментальные значения эффективности гамма-спектрометров по пикам полного поглощения и их аппроксимация полиномом (непрерывная линия):

показана также область аппроксимации; 1 — 80 $\text{мм}^2 \times 4 \text{ мм}$ Si(Li)-детектор; 2 — 1,8- см^3 Ge(Li)-детектор; 3 — 11- см^3 Ge(Li)-детектор; 4 — 37- см^3 Ge(Li)-детектор

Проведено по три серии измерений каждого источника на каждом детекторе. Обработка данных велась по следующим формулам:

$$\left. \begin{aligned} v[\%] &= [I(n) - I(m)] \times [I(n)]^{-1} \times 100; \\ \Delta v[\%] &= [\Delta I(n) + \Delta I(m)] \times [I(n)]^{-1} \times 100; \\ I(n) &= \sum w_i I_i / \sum w_i; \quad \Delta I(n) = (\sum w_i)^{-1/2}. \end{aligned} \right\} \quad (40)$$

Здесь $w_i = (\Delta I_i)^{-2}$ — вес i -го измерения; $N-n$ — число измерений на всех детекторах; $N-m$ — число измерений на данном детекторе; $I(n)$ и $I(m)$ — относительные интенсивности, полученные с помощью всех или только данного детектора соответственно. Результаты расчета для двух детекторов иллюстрируют-

ся рис. 52. Как видно, максимальные отклонения доходят до $(3 \pm 1)\%$. Считая, что распределение отклонений равномерно от 0 до 3%, можно предположить ([32, с. 154]), что систематическая компонента средней квадратической погрешности равна $\kappa = 0,6$, а $v_{\max} = 1,8\%$. В величине κ следовало бы учесть дисперсию абсолютной активности. Однако решение проблемы

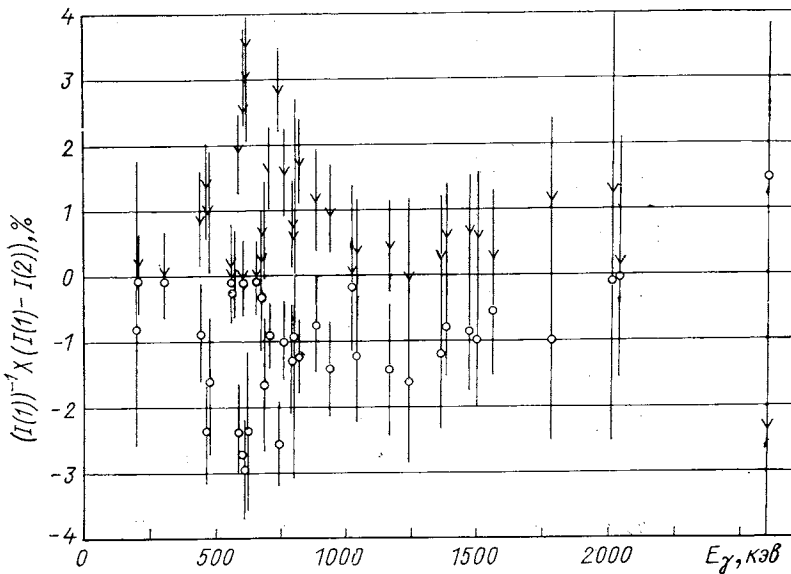


Рис. 52. Разность значений относительных интенсивностей для каждого детектора $I(2)$ и всех детекторов $I(1)$:
 ● — 37-cm^3 Ge(Li)-детектор; ▽ — 11-cm^3 Ge(Li)-детектор

не простое. В отличие от задачи измерения энергии, где систематическую часть погрешности α_4 можно представить в виде некоторой функции от энергии, здесь этого сделать нельзя, так как различные источники градуированы с погрешностью до 0,5 до 2,5%. Конечно, можно было бы ввести β_4 , которая характеризует погрешность стандартного набора ОСГИ 1,5%. При этом следует считать β_3 и β_4 независимыми, что неочевидно. Завышение относительных интенсивностей γ -квантов противоречит подходу (см. ниже), что эти значения рассматриваются как промежуточный этап на пути поиска «истинных».

Полученные в этих условиях относительные интенсивности γ -квантов набора многореперных источников опубликованы в работе [29]. Сравнение наших и литературных результатов показало, что в области 200—600 кэВ наблюдаются значительные расхождения. Этот факт является причиной длительного и, насколько

возможно, всестороннего анализа. Наилучшим образом расходимость можно рассмотреть на примере ^{152}Eu , так как нормировка относительных интенсивностей осуществляется с помощью перехода 344 кэв, находящегося в центре конфликтной области.

Во-первых, проанализированы условия некоторых экспериментов по измерению спектров γ -квантов у разных авторов:

а) в работе [42] эффективность спектрометра определялась методом Монте-Карло, причем проверка правильности расчета проводилась на узком энергетическом участке с помощью относительных интенсивностей γ -квантов ^{133}Ba ;

б) в работе [43] эффективность спектрометра исследовалась с помощью IAEA-источников. Обратим внимание на три факта: был использован маленький планарный Ge(Li)-детектор; экспериментальные точки не аппроксимировались аналитическим выражением; нет переходов в области 279–661 кэв;

в) в работе [44] нет деталей градуировки спектрометра;

г) в работе [59] эффективность 45- cm^3 Ge(Li)-детектора исследовалась с помощью NBS-источников (^{109}Cd , ^{67}Co , ^{139}Ce , ^{203}Hg , ^{113}Sn , ^{85}Sr , ^{137}Cs , ^{60}Co , ^{88}Y). Экспериментальные точки аппроксимировались выражением

$$1/\varepsilon = 0,9023 \cdot E^{1,0625} + 6,0 \cdot 10^6 E^{-2,5}. \quad (41)$$

Следовательно, в двойном логарифмическом масштабе при $E > 200$ кэв относительная эффективность представлена прямой. Этот факт противоречит результатам исследований в [31]. В целом эти работы характеризуют подход к градуировке спектрометров. Как видно, нет детальных исследований эффективности спектрометров в области 200–660 кэв.

Во-вторых, еще раз были проанализированы условия наших экспериментов [29]. В принципе, возможны три предположения для объяснения расходимости: неверно рассчитаны схемы распада ^{203}Hg и ^{113}Sn (см. табл. 5); имеется погрешность в экспериментах; неверно аттестуются по активности ^{203}Hg и ^{113}Sn . В настоящее время первое предположение мы отвергаем. Эффективность же детекторов измеряли с помощью пяти различных источников ^{203}Hg и ^{113}Sn , и результаты совпадают между собой в пределах $\pm 1,5$ и $\pm 1,2\%$ соответственно. Об отсутствии систематических погрешностей в экспериментах говорит и рис. 52. Поэтому особое внимание было уделено третьему предположению. С этой целью была проведена новая контрольная серия измерений с помощью трех новых наборов ОСГИ (1977 г.). Оказалось, что активности новой партии источников отличаются (занизены) от старой на $(9,6 \pm 2,7)$ и $(8,3 \pm 2,4)\%$ для ^{203}Hg и ^{113}Sn соответственно. Результаты повторной процедуры градуировки спектрометров показаны на рис. 53. Для наглядности там же приведены зависимости эффективности 38- cm^3 Ge(Li)-детектора при исполь-

зования данных работ [29, 59]. Заметим, что погрешность в аттестации ^{203}Hg приведет к коррекциям данных и в области при-

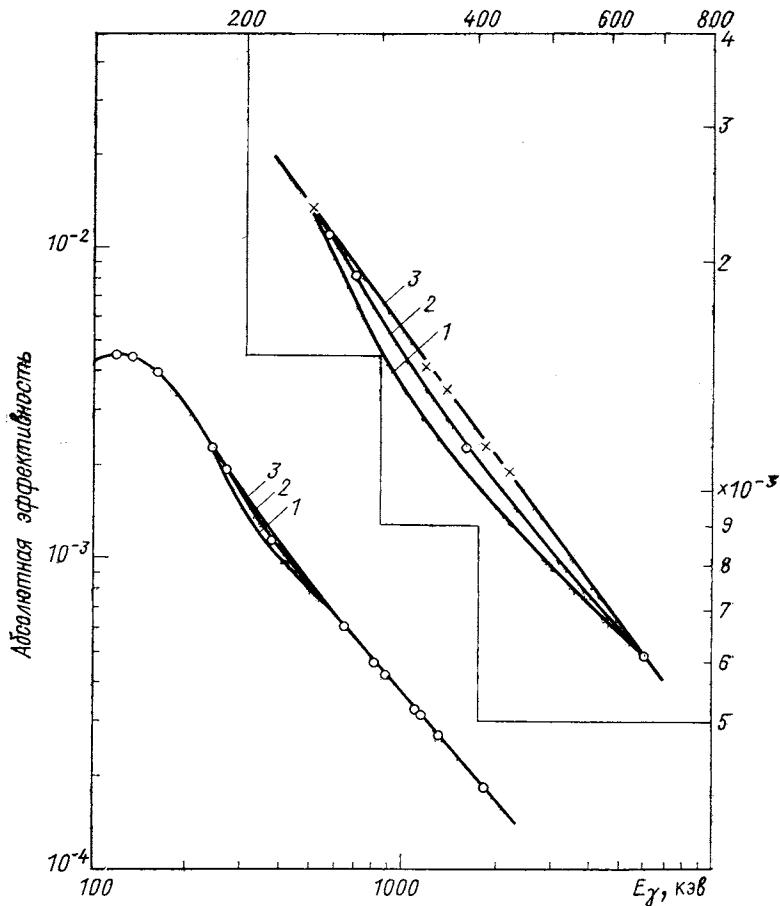


Рис. 53. Эффективность 38-см³ Ge(Li)-детектора, исследованная с помощью градуированных по активности источников ОСГИ (кружки): крестики — значения эффективности, полученные с помощью результатов работы [59]; нормировка осуществлена по переходу 122 кэв (^{67}Co , ^{152}Eu); линии — аппроксимированные значения, полученные с помощью: 1 — работы [29]; 2 — новых источников ОСГИ; 3 — работы [59]; в правом верхнем углу — фрагмент области расходимости

мерно 80 кэв. Полученные в новых условиях относительные интенсивности γ -квантов набора многореперных источников приведены в табл. 12. Внутреннюю сходимость данных из табл. 12 иллюстрирует рис. 44.

Таблица 12

**Энергия и относительная интенсивность γ -квантов
радиоактивных изотопов, применяемых для градуировки
полупроводниковых гамма-спектрометров**

E	ΔE	I	ΔI	E	$E\Delta$	I	ΔI
^{171}Lu							
19,017	0,010	33,054	0,818	244,691	0,005	25,839	0,522
27,117	0,024	1,581	0,038	295,963	0,031	4,556	0,038
51,354	KX	72,448	1,730	344,267	0,007	96,528	1,784
52,389	KX	126,594	2,882	367,768	0,016	3,147	0,061
55,690	0,011	2,550	0,070	411,084	0,010	7,886	0,175
59,3	KX	40,280	0,910	443,940	0,009	10,955	0,268
61,0	KX	10,932	0,363	488,735	0,053	1,420	0,056
66,738	0,003	5,070	0,121	564,062	0,088	1,639	0,153
72,382	0,006	3,932	0,091	678,639	0,023	1,557	0,094
75,891	0,002	12,692	0,289	688,655	0,049	2,945	0,087
85,598	0,011	2,252	0,054	719,406	0,055	1,138	0,045
91,399	0,007	0,962	0,024	778,914	0,015	44,026	1,106
109,284	0,006	1,207	0,030	867,383	0,016	14,182	0,344
627,008	0,021	1,841	0,042	964,070	0,018	49,441	1,298
630,953	0,041	0,264	0,011	1005,235	0,034	2,218	0,084
667,357	0,016	23,769	0,494	1085,835	0,019	34,609	0,965
689,272	0,026	5,068	0,104	1089,726	0,034	5,730	0,157
712,654	0,024	2,443	0,052	1112,065	0,022	46,646	1,228
739,747	0,023	100,000	1,809	1212,895	0,023	4,856	0,160
767,597	0,022	1,378	0,078	1299,108	0,024	5,649	0,167
780,656	0,027	9,109	0,206	1407,974	0,026	72,366	1,878
839,942	0,031	6,365	0,135	1457,590	0,043	1,739	0,066
853,033	0,025	5,282	0,139	1528,135	0,104	1,069	0,027
^{182}Ta							
^{153}Gd							
40,901	KX	115,021	3,396	31,737	0,001	2,293	0,056
41,542	KX	206,015	6,012	42,714	0,001	0,683	0,024
47,0	KX	63,842	1,702	57,983	KX	26,473	0,998
48,4	KX	16,420	0,491	59,320	KX	44,281	1,112
69,672	0,003	8,275	0,153	65,722	0,004	7,906	0,186
97,432	0,003	100,000	1,808	67,2	KX	12,060	0,386
103,181	0,002	73,596	1,357	67,750	0,004	118,835	3,068
172,848	0,015	0,128	0,030	69,1	KX	3,188	0,160
^{152}Eu							
39,523	KX	75,456	1,760	84,681	0,003	6,757	0,134
40,118	KX	134,048	2,821	100,105	0,002	37,006	0,719
42,308	KX	0,794	0,023	110,406	0,014	0,279	0,022
42,996	KX	1,444	0,042	113,672	0,008	4,949	0,135
45,3	KX	40,410	0,846	116,413	0,003	1,177	0,043
46,6	KX	10,044	0,233	152,427	0,003	19,114	0,366
48,6	KX	0,465	0,012	156,380	0,005	7,262	0,141
49,9	KX	0,110	0,008	179,388	0,003	8,631	0,163
121,782	0,003	100,000	2,476	198,349	0,007	4,035	0,082
				222,102	0,006	20,767	0,416
				229,316	0,005	9,921	0,370
				264,069	0,005	9,990	0,215
				928,923	0,046	1,625	0,055

Продолжение табл. 12

<i>E</i>	ΔE	<i>I</i>	ΔI	<i>E</i>	ΔE	<i>I</i>	ΔI
1001,705	0,019	5,794	0,148	1489,132	0,027	2,376	0,064
1113,547	0,124	2,228	0,215	2185,607	0,041	6,092	0,148
1121,290	0,020	100,000	1,905				
1157,493	0,030	2,837	0,134				
1189,034	0,021	47,221	0,871				
1221,391	0,022	77,336	1,458				
1230,988	0,023	32,555	0,619	66,050	0,003	1,809	0,068
1257,416	0,023	4,309	0,090	96,734	0,003	5,690	0,249
1273,711	0,024	1,854	0,054	121,117	0,003	29,037	0,934
1289,119	0,024	3,858	0,080	136,000	0,003	99,052	1,895
1342,656	0,034	0,721	0,020	198,603	0,005	2,367	0,087
1373,770	0,045	0,631	0,036	264,652	0,005	100,000	1,846
1387,310	0,043	0,205	0,028	279,535	0,006	42,631	0,876
				303,908	0,010	2,256	0,055
				400,646	0,008	20,768	0,780
⁵⁶ Co							
263,743	0,245	0,154	0,037				
787,805	0,194	0,335	0,044				
846,778	0,016	100,000	1,876				
896,486	0,279	0,192	0,069	49,772	<i>KX</i>	137,806	2,978
977,356	0,039	1,413	0,061	50,742	<i>KX</i>	239,165	5,629
1037,843	0,019	14,079	0,272	57,5	<i>KX</i>	76,425	1,757
1140,662	0,272	0,272	0,070	59,0	<i>KX</i>	20,493	0,597
1159,735	0,147	0,185	0,110	63,118	0,001	113,584	2,936
1175,095	0,023	2,284	0,070	93,613	0,005	6,811	0,224
1198,952	0,228	0,033	0,019	109,784	0,003	45,820	1,694
1238,271	0,023	68,162	1,362	118,191	0,003	4,867	0,140
1335,220	0,325	0,308	0,075	130,525	0,003	30,936	0,733
1360,209	0,024	4,424	0,096	177,208	0,004	62,375	1,171
1442,515	0,310	0,176	0,042	197,948	0,004	100,000	1,834
1771,347	0,032	15,797	0,338	240,305	0,027	0,414	0,085
1810,768	0,037	0,597	0,043	261,069	0,012	4,962	0,189
1963,760	0,038	0,708	0,026	307,732	0,006	29,270	0,654
2015,196	0,040	3,049	0,081				
2034,772	0,037	8,058	0,165				
2113,154	0,048	0,386	0,035				
2212,859	0,055	0,380	0,043				
2524,466	0,280	0,146	0,045	30,625	<i>KX</i>	59,619	1,249
2598,435	0,047	17,082	0,490	30,973	<i>KX</i>	109,349	2,252
3009,587	0,059	1,124	0,100	34,9	<i>KX</i>	31,571	0,655
3201,987	0,060	2,946	0,113	35,8	<i>KX</i>	7,493	0,168
3253,414	0,060	7,276	0,177	53,160	0,004	3,573	0,088
3273,000	0,062	1,733	0,085	79,629	0,005	4,162	0,157
3451,173	0,070	0,900	0,031	80,993	0,003	54,594	1,181
3547,961	0,083	0,181	0,013	160,613	0,008	0,975	0,075
				223,307	0,063	0,712	0,033
¹⁴⁴ Ce							
80,118	0,004	13,225	0,287	302,850	0,006	28,847	0,600
133,518	0,003	100,000	2,554	356,005	0,007	100,000	1,868
696,492	0,013	11,431	0,295	383,831	0,008	14,322	0,392

Продолжение табл. 12

<i>E</i>	ΔE	<i>I</i>	ΔI	<i>E</i>	ΔE	<i>I</i>	ΔI
^{207}Bi							
72,805	<i>KX</i>	19,923	0,437	687,001	0,014	6,844	0,146
74,970	<i>KX</i>	33,892	0,798	706,672	0,014	17,502	0,387
84,5	<i>KX</i>	11,642	0,406	744,271	0,015	4,852	0,174
87,4	<i>KX</i>	3,501	0,100	763,936	0,015	23,519	0,522
569,683	0,014	100,000	1,834	818,028	0,015	7,714	0,479
897,928	0,116	0,132	0,032	884,695	0,016	77,066	1,574
1063,660	0,019	76,205	1,461	937,507	0,017	36,441	0,726
1442,228	0,281	0,099	0,010	1384,279	0,026	26,668	0,513
1770,253	0,034	7,221	0,147	1475,778	0,026	4,372	0,086
				1505,028	0,028	14,372	0,282
				1562,303	0,029	1,296	0,025
^{134}Cs							
^{160}Tb							
475,356	0,011	1,551	0,041	45,207	<i>KX</i>	20,536	0,420
563,231	0,011	8,758	0,173	45,998	<i>KX</i>	36,063	0,717
569,322	0,012	15,953	0,292	52,1	<i>KX</i>	11,333	0,232
604,707	0,012	100,000	1,835	53,5	<i>KX</i>	2,962	0,077
795,856	0,016	87,415	1,822	86,790	0,002	43,994	1,082
801,957	0,016	8,303	0,184	197,026	0,003	16,751	0,351
1038,608	0,013	1,029	0,020	215,641	0,004	13,039	0,261
1167,946	0,014	1,890	0,038	298,571	0,006	90,551	2,291
1365,177	0,024	3,212	0,066	309,562	0,018	2,990	0,086
				337,346	0,035	1,217	0,048
				392,480	0,033	4,675	0,082
				765,305	0,036	6,843	0,154
^{173}Lu							
51,354	<i>KX</i>	191,640	4,720	879,387	0,017	100,000	1,853
52,389	<i>KX</i>	331,592	7,557	962,347	0,018	33,648	0,846
58,4	<i>KX</i>	106,893	2,460	966,163	0,019	84,105	1,560
61,0	<i>KX</i>	27,904	0,889	1002,865	0,019	3,542	0,083
78,651	0,006	52,115	1,190	1102,619	0,038	1,905	0,045
100,719	0,007	23,331	0,531	1115,156	0,027	5,103	0,099
171,402	0,004	13,834	0,379	1177,970	0,022	50,672	0,951
179,363	0,004	6,362	0,177	1199,904	0,023	8,022	0,175
223,200	0,038	0,756	0,031	1271,896	0,024	25,380	0,604
233,603	0,005	2,604	0,065	1312,174	0,026	9,702	0,190
272,111	0,005	100,000	1,886				
285,369	0,006	2,802	0,080				
334,316	0,012	0,538	0,031	^{192}Ir			
350,750	0,008	1,603	0,033	136,310	0,034	0,233	0,013
456,769	0,015	0,725	0,026	201,308	0,013	0,562	0,014
557,485	0,019	2,634	0,105	205,781	0,005	3,717	0,084
636,129	0,013	7,286	0,185	285,178	0,056	0,236	0,010
				295,946	0,005	33,821	0,618
^{110m}Ag							
446,802	0,011	4,149	0,090	308,445	0,006	35,163	0,649
620,353	0,014	2,811	0,143	316,495	0,006	100,000	1,819
657,744	0,013	100,000	1,832	374,468	0,022	0,885	0,018
677,613	0,014	11,286	0,212	416,454	0,014	0,755	0,018
				468,056	0,009	56,455	1,482
				484,559	0,017	3,741	0,097

Продолжение табл. 12

<i>E</i>	ΔE	<i>I</i>	ΔI	<i>E</i>	ΔE	<i>I</i>	ΔI
489,069	0,029	0,493	0,014	934,066	0,019	6,719	0,130
588,572	0,012	5,152	0,147	1120,317	0,023	32,917	0,634
604,394	0,012	9,506	0,309	1155,228	0,029	3,696	0,123
612,446	0,013	6,167	0,223	1238,151	0,024	12,961	0,272
884,524	0,044	0,333	0,030	1281,055	0,031	3,185	0,099
1061,439	0,359	0,091	0,004	1377,713	0,035	8,975	0,188
^{226}Ra							
186,212	0,005	9,025	0,383	1509,284	0,031	4,743	0,095
242,002	0,005	16,292	0,488	1729,630	0,036	6,436	0,145
293,216	0,008	41,832	0,840	1764,542	0,036	34,860	0,676
351,902	0,009	82,654	1,639	1847,459	0,039	4,613	0,096
609,304	0,012	100,000	2,006	2118,525	0,054	2,639	0,074
665,461	0,017	3,316	0,073	2204,083	0,045	11,033	0,235
768,377	0,021	10,710	0,228	2447,653	0,048	3,418	0,083

Относительно градуировки гамма-спектрометров по эффективности полезно сделать следующие замечания. Применение ЭВМ для обработки аппаратурных спектров привело к тому, что площадь пика можно определить с погрешностью меньше 1%. С другой стороны, усреднение погрешностей относительных интенсивностей γ -квантов от градуировочных источников может быть меньше 1% (см., например, работу [55]). Однако, если использовать эти результаты для градуировки спектрометров, обнаруживаем значительное расхождение значений относительных эффективностей, определенных с помощью различных источников. Это и есть основная причина того, что относительные интенсивности γ -квантов, приводимые разными авторами, имеют значительный разброс. Поэтому разумным шагом является решение обратной задачи, т. е. исследование эффективностей набора спектрометров с помощью аттестованных по активности источников и измерение в этих условиях относительных интенсивностей γ -квантов градуировочных источников. Поскольку задачу решают в одной группе и с одними и теми же источниками, такие условия называют базисными. Конечно, эти данные могут иметь систематическую погрешность, но в целом они обладают высокой внутренней сходимостью и этот факт в дальнейшем можно использовать для поиска таких погрешностей. В силу ряда обстоятельств (см. выше), имеющиеся ОСГИ недостаточны для полного решения задачи градуировки спектрометров и только привлечение различных физических критериев (баланс интенсивностей, ЭВК и т. п.) может помочь в достижении погрешностей относительных интен-

сивностей менее 2 %. Кроме того, полученные в таком базисе данные удовлетворяют самое главное требование к физическим результатам: пересчет данных при изменении нормалей, относительно которых выполнены сравнительные измерения. Например, коррекцию наших данных можно проводить по следующим формулам:

$$\left. \begin{aligned} k(E) &= [I_1(E) - I_2(E)] [I_1(E)]^{-1} \\ \text{или} \quad k(E) &= \varepsilon(I_2)/\varepsilon(I_1), \end{aligned} \right\} \quad (42)$$

где I_1 — базис данных табл. 12; I_2 — базис новых, уточненных данных. Значения $k(E)$ аппроксимируются полиномом — это и есть

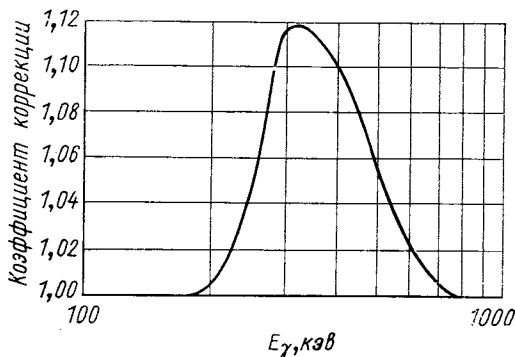


Рис. 54. Коэффициент коррекции относительных интенсивностей γ -квантов, измеренных в базисе [29], при $C_1 = 6,59148$; $C_2 = -11,36415$; $C_3 = 7,02892$; $C_4 = -1,84600$; $C_5 = 0,17464$

коэффициент коррекции. В частности, $k(E)$ для базиса [29] в области 200—660 кэВ показан на рис. 54.

Результаты различных экспериментов по измерению относительных интенсивностей γ -квантов ^{152}Eu сравниваются в табл. 13. Отметим, что значения ЭВК некоторых переходов в области 200—400 кэВ, измеренных с помощью относительных интенсивностей γ -квантов (метод XPG), сходятся с расчетными значениями для принятых мультипольностей:

$$\begin{aligned} \alpha_h(268 \text{ кэВ} - ^{135}\text{Ba}) &= 3,839 \pm 0,099 \text{ (теория } M4 : 3,867); \\ \alpha_h(276 \text{ кэВ} - ^{133}\text{Ba}) &= 3,393 \pm 0,099 \text{ (теория } M4 : 3,392); \\ \alpha_h(344 \text{ кэВ} - ^{152}\text{Eu}) &= 0,0310 \pm 0,0014 \text{ (теория } E2 : 0,0312). \end{aligned}$$

Этот факт можно рассматривать как подтверждение базиса относительных интенсивностей γ -квантов (см. табл. 12).

Таблица 13

Относительные интенсивности γ -квантов ^{152}Eu

<i>E</i>	[6]		[59]		[36]		[42]		[43]	
	<i>I</i>	ΔI								
121,8	103,6	2,6	104,9	3,3	102,2	5,1	103,7	3,1	105,0	2,1
244,7	26,77	0,54	29,01	0,86	28,5	1,3	27,94	0,80	27,8	0,6
296,0	1,61	0,04	—	—	1,71	0,20	—	—	—	—
344,3	100,00	1,85	100	—	100,0	4,6	100	—	100	—
367,8	3,26	0,06	3,75	0,38	3,37	0,27	—	—	—	—
411,1	8,17	0,18	8,67	0,34	8,60	0,04	7,92	0,27	7,96	0,16
443,9	11,35	0,28	11,62	0,63	11,65	0,51	11,75	0,32	10,9	0,2
778,9	45,6	1,2	47,14	0,62	49,0	2,0	48,8	1,1	47,4	0,9
867,4	14,69	0,36	16,39	0,84	15,83	0,72	15,67	0,38	—	—
964,1	51,2	1,4	54,33	0,75	54,65	0,23	54,53	1,45	56,3	1,1
1085,8	35,9	1,0	38,53	0,77	39,68	1,74	46,25	1,10	39,6	0,8
1089,7	5,94	0,16	6,71	—	6,97	0,46	—	—	6,42	0,13
1112,1	48,3	1,3	50,81	0,41	50,82	2,25	51,28	1,40	50,9	1,0
1212,9	5,03	0,17	5,67	0,21	5,87	0,33	—	—	—	—
1299,1	5,85	0,17	6,37	0,39	6,28	0,36	—	—	—	—
1407,9	75,0	2,0	79,12	1,15	79,78	3,47	80,78	2,40	80	1,6

6. СПЕКТРОМЕТРИЯ ЭВК

Основная задача γ -спектроскопии сводится к измерению энергий и относительных интенсивностей ядерных переходов с возможно лучшей точностью. Далее, на базе этих результатов строят различные варианты схем распада (часто с привлечением данных о совпадениях) и определяют энергии возбужденных состояний. Задача же спектроскопии ЭВК сводится в основном к определению мультипольностей переходов, а следовательно, возможных квантовых характеристик (I^π) возбужденных состояний. Данные о КВК позволяют также проверять правильность предложенной схемы распада на основе баланса интенсивностей электромагнитных переходов.

Методика измерения КВК отдельных переходов. Согласно определению, КВК на i -оболочке

$$\alpha_i = I_i / I, \quad (43)$$

где I_i , I — число i -электронов и γ -квантов соответственно, испускаемых в полном телесном угле за единицу времени. Очевидно, что можно построить отношения типа

$$\alpha_i / \alpha_j = I_i / I_j. \quad (44)$$

Сравнивая экспериментальные значения α_i и α_i / α_j с теоретическими расчетами, определяют мультипольность перехода.

1. *Абсолютные измерения.* Пусть имеются бета- и гамма-спектрометры, эффективность которых в условиях фиксированного значения телесного угла измерена с помощью градуированных по активности источников. Подставляя экспериментальные значения в (43), получаем α_i (метод AEG [47]). В предположении независимости составляющих погрешность α_i в ν -измерении

$$\Delta\alpha_{i\nu} = \alpha_{i\nu} \left[\left(\frac{\Delta S_{i\nu}}{S_{i\nu}} \right)^2 + \left(\frac{\Delta S_\nu}{S_\nu} \right)^2 \right]^{1/2}, \quad (45)$$

где $S_{i\nu}$ и S_ν — число импульсов i -электронов и γ -квантов; $\Delta S_{i\nu}$ и ΔS_ν — соответствующие погрешности. В одиночных измерениях могут иметь место систематические погрешности, связанные с регулировкой источника, учетом $T_{1/2}$ и учетом просчетов.

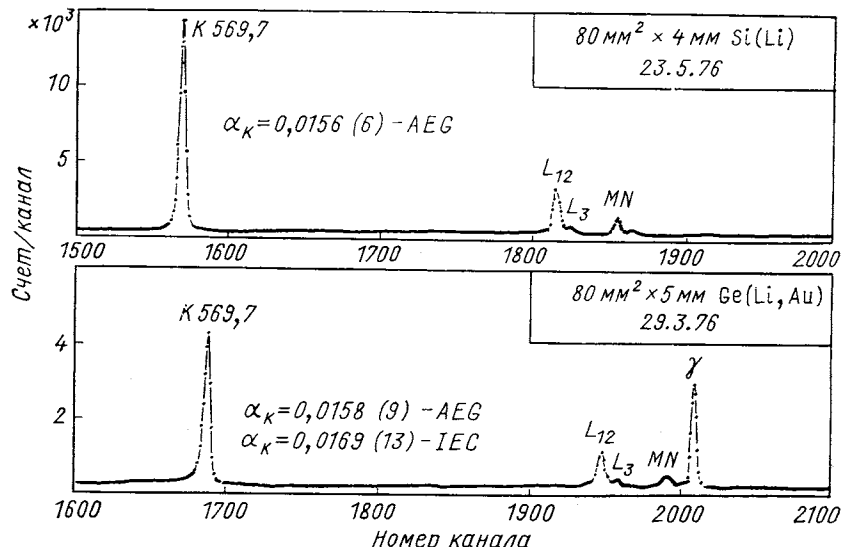


Рис. 55. Фрагменты спектров излучений ^{207}Bi , измеренных с помощью $\text{Si}(\text{Li})$ - и $\text{Ge}(\text{Li}, \text{Au})$ -детекторов в условиях фиксированных значений телесного угла $P = 5$ см. Приведены полученные в этих экспериментах значения

Поэтому измерения проводятся на разных ППД, спектрометрических трактах и анализаторах, тогда

$$\left. \begin{aligned} \alpha_i &= \sum_{\nu=1}^n \alpha_{i\nu} w_\nu / \sum_{\nu=1}^n w_\nu; \\ \Delta\alpha_i &= \{(\Delta\alpha_i^*)^2 + (\alpha_i \kappa)^2 + (\alpha_i \eta)^2\}^{1/2}. \end{aligned} \right\} \quad (46)$$

Здесь κ и η — погрешность определения абсолютной эффективности гамма- и бета-спектрометра; $\Delta\alpha_i^*$ — наибольшая из α_1 и α_2

погрешностей] (30); $w_{iv} = 1/(\Delta\alpha_{iv})^2$ (рис. 55). Абсолютная эффективность бета-спектрометра определена с помощью α_K для перехода $661,7 \text{ кэВ}$ ^{137}Cs .

Исключить указанные выше систематические погрешности можно, если применить один ППД для регистрации как β - так и γ -излучения (см. рис. 55). Этот метод является полным (и более точным) аналогом метода внутренне-внешней конверсии (IEC) [47].

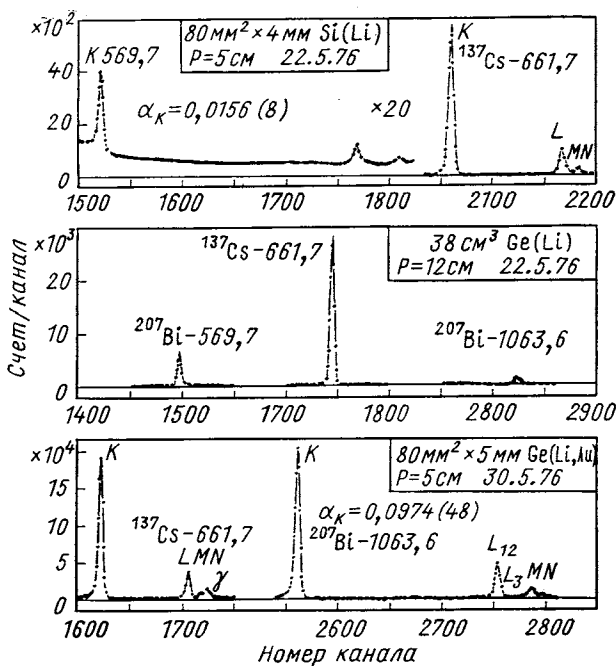


Рис. 56. Фрагменты спектров излучений ^{207}Bi и ^{137}Cs , измеренных с помощью Si(Li)-, Ge(Li)- и Ge(Li, Au)-детекторов

2. Сравнительные измерения. Метод аналогичен рассмотренному выше, но здесь достаточно предварительно исследовать лишь относительные эффективности бета- и гамма-спектрометров. Исследуемый и эталонный препараты измеряются вместе (метод NPG [47]):

$$\alpha_{iv} = \frac{I_{iv}}{I_{\text{эт } iv}} \cdot \frac{I_{\text{эт } v}}{I_{v}} \cdot \alpha_{\text{эт } v} \quad (47)$$

Погрешности рассчитывают по следующим формулам:

$$\Delta\alpha_{iv} = \alpha_{iv} \{(\Delta S_{iv}/S_{iv})^2 + (\Delta S_{\text{эт } iv}/S_{\text{эт } iv})^2 + (\Delta S_v/S_v)^2 + \\ + (\Delta S_{\text{эт } v}/S_{\text{эт } v})^2\}^{1/2};$$

$$\Delta\alpha_i = \{\Delta\alpha_i^* + (\alpha_i\kappa)^2 + (\alpha_i\eta)^2 + (\Delta\alpha_{\text{эт } i})^2\}^{1/2}. \quad (48)$$

Здесь κ и η характеризуют погрешность относительных эффективностей спектрометров (рис. 56). В качестве эталонного источника использован ^{137}Cs .

3. Относительные измерения. Энергетическое разрешение полупроводниковых бета-спектрометров и применение ЭВМ для обработки спектральных линий позволяют разделить K - и L -конверсионные линии для $Z > 10$, L - и M -линии для $Z > 35$, M - и N -линии для $Z > 60$, L_2 - и L_3 -линии для $Z > 70$. В предположении независимости погрешностей погрешность одиночного измерения I_i/I_j

$$\Delta(I_i/I_j) = (I_i/I_j)_v \{(\Delta S_i/S_i)_v^2 + (\Delta S/S)_v^2\}^{1/2}. \quad (49)$$

Здесь $i, j = K, L_1, L_2, L_3, M, N$ и т. д.; S_i, S_j — число зарегистрированных i - и j -электронов; $I = S/\epsilon$ — интенсивность i - и j -электронов; ϵ — соответствующая эффективность регистрации. Результаты многократных измерений обрабатывают по формулам, аналогичным (46) ($\alpha_{iv} \equiv (I_i/I_j)_v$; $\kappa = 0$). Тогда величина η характеризует предельную погрешность определения относительной эффективности на участке $i - j$. Напомним, что эффекты суммирования рентгеновского излучения с i - и j -электронами могут приводить к существенным искажениям отношений I_i/I_j .

В табл. 14 приведены относительные интенсивности ЭВК, полученные с помощью Si(Li)- и Ge(Li, Au)-детекторов. Для сравнения там же представлены и результаты теоретических расчетов для принятых мультипольностей.

4. Измерение отношений I_x/I . Для β^- -распада, а также при наличии изомерных состояний вакансии на оболочках нуклида возникают только за счет процесса внутренней конверсии. Следовательно, измерив за единицу времени число γ -квантов и число вакансий на соответствующей оболочке, нетрудно определить КВК для схемы распада с одним переходом (метод XPG [48]):

$$\alpha_{iv} = I_{x_iv}/(\omega_i I_v);$$

$$\Delta\alpha_{iv} = \alpha_{iv} \{(\Delta I_{x_iv}/I_{x_iv})^2 + (\Delta I_v/I_v)^2\}^{1/2}, \quad (50)$$

где I_{x_i} — интенсивность x_i -рентгеновского излучения; ω_i — выход флуоресценции на i -оболочке; I — интенсивность γ -квантов; v — номер измерения. Результаты многократных измерений обрабатывают по формулам (46), в этом случае в качестве η используют погрешность измерения ω_i .

Таблица 14

Относительные интенсивности ЭВК и их сравнение с расчетами [48] для принятых мультипольностей

Нуклип	<i>E</i>	σ_L	I_K	ΔI_K	I_{L12}	ΔI_{L12}	I_{L3}	ΔI_{L3}	I_L	ΔI_L	I_M	ΔI_M	I_N	ΔI_N
^{162}Eu	124,8	<i>E</i> 2	100,000	2,146	—	—	—	—	61,718	0,770	13,887	0,257	3,039	0,162
^{141}Ce	145,4	<i>M</i> 1	100,000	1,427	32,164	—	22,076	—	54,240	—	12,281	—	—	—
^{139}Ce	165,9	<i>M</i> 1	100,000	1,179	13,402	—	0,185	—	13,587	—	2,861	0,074	0,794	0,041
^{167}Tm	207,8	<i>E</i> 3	100,000	2,583	84,751	5,309	63,271	4,876	148,022	10,185	38,760	1,842	8,725	1,854
^{207}Bi	569,7	<i>E</i> 2	22,082	0,246	5,692	0,257	0,798	0,098	48,857	146,454	36,071	—	—	—
^{137}Cs	664,7	<i>M</i> 4	100,000	1,696	5,347	—	0,750	—	6,490	0,355	1,387	0,075	0,486	0,053
^{207}Bi	1063,7	<i>M</i> 4	100,000	1,025	24,559	0,665	1,639	—	17,814	—	—	—	—	—

Подход нетрудно расширить и для более сложных схем распада, когда относительные интенсивности i -электронов можно измерить с высокой точностью. Это относится, в основном, к случаю $i = k$.

Спектр γ -квантов ^{176m}Lu и полученные в этом эксперименте значения α_k даны на рис. 57.

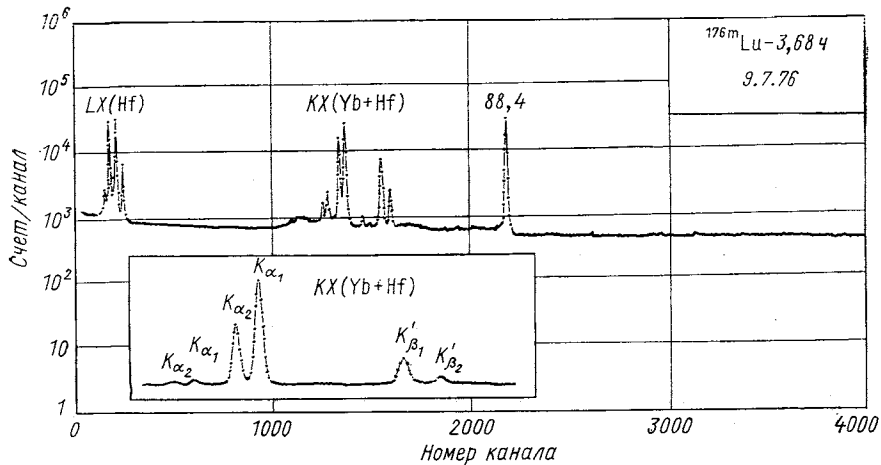


Рис. 57. Спектр γ -квантов ^{176m}Lu , измеренный с помощью $200 \text{ mm}^2 \times 5 \text{ mm}$ Ge(Li)-детектора. В этом эксперименте получено значение $\alpha_k = 1,1468 \pm 0,0051$:

$$T_1 = 3 \text{ ч}; T = 2 \text{ ч}; P = 6 \text{ см}, \Phi\text{П} - \text{нет}$$

Методика измерения КВК группы переходов. Методика измерения энергии и относительных интенсивностей моноэнергетических излучений с помощью ППД изложена выше. Сделаем лишь некоторые замечания применительно к КВК.

1. Разработанная методика не предполагает прецизионных измерений энергий ядерных переходов и применяется лишь для идентификации спектральных линий и определения их интенсивностей.

2. Для исследования нелинейности спектрометра можно применять значения $E_{ij} = E_j - \varepsilon_i$, где E_j — энергия γ -квантов; ε_i — энергия связи электрона на i -оболочке нуклида [49].

3. Предполагается, что для нормального падения β -частиц обратное рассеяние и эффективность сбора зарядов не зависят от энергии. Очевидно, что для спектрометров, допускающих косое падение β -частиц, нужно применять способ исследования эффективности, аналогичный применяемому в γ -спектроскопии.

4. Энергетическая градуировка спектров ЭВК осуществляется с помощью ранее применявшихся энергий γ -квантов. Лишь в ред-

Таблица 15

Экспериментальные значения КВК, полученные различными методами

Нуклид, $T_{1/2}$	$E(\Delta E)$ E_K	$I(\Delta I)$ $I_K(\Delta I_K)$	α_K	Φ_1	Φ_2	ξ	$\Delta\alpha_K$	I_g метод 1	α_K	Результаты разных методов			
										XPG	1,461	0,004	0,004
^{176}Lu , 3,68 ч	88,367 (3)	100,000 (1830)	1,161	0,004	0,018	0,019	5			AEG	0,638	0,009	0,003
^{162}Eu , 13,2 года	23,016	—	100,000 (2476)	0,636	0,007	0,023	7			NPG	0,635	0,010	0,003
^{169}Yb , 30,6 дня	124,782 (3)	100,000 (2146)	0,002				5			AEG	0,506	0,014	0,006
^{141}Ce , 32,51 дня	74,947	100,000 (733)	0,499	0,012	0,023	0,017	2			NPG	0,483	0,022	—
^{149}Gd , 9,5 дня	130,525 (3)	30,936 (739)	44,525 (839)	0,010			1			AEG	0,366	0,007	0,004
^{153}Gd , 120 дня	71,135	100,000 (1827)	0,365	0,004	0,023	0,011	5			NPG	0,350	0,008	0,008
^{139}Ce , 137,5 дня	145,443 (3)	100,000 (1179)	0,007				3			XPG	0,374	0,007	0,007
^{173}Lu , 1,37 года	103,452	100,000 (1179)	0,459	0,010	0,023	0,015	2			AEG	0,458	0,014	0,000
^{161}Gd , 120 дня	149,733 (6)	100,000 (1827)	0,001				2			NPG	0,460	0,013	0,006
126,929 , 105,086	104,214	100,000 (3393)	0,426	0,008	0,023	0,013	2			AEG	0,428	0,010	0,003
165,854 , 39,488 (1008)	153,605 (4)	100,000 (1829)	51,307 (686)	0,003			1			NPG	0,422	0,013	—
137,5 дня	110,070	100,000 (1827)	0,226	0,004	0,023	0,007	4			AEG	0,228	0,005	0,004
174,697 , 126,178	174,402 (4)	100,000 (1179)	0,003				3			NPG	0,222	0,007	0,005
174,697 , 126,178	47,342 (970)	13,834 (379)	0,06570	0,0043	0,023	0,020	2			AEG	0,06620	0,00160	0,00120
174,697 , 100,000 (1348)	47,342 (970)	1,731	0,014	0,023	0,043	0,013	1			NPG	0,06340	0,00230	0,00090
174,697 , 100,000 (1348)	174,697 (4)	100,000 (1348)	0,045				1			IEC	0,07030	0,0042	—
174,697 , 100,000 (1348)	126,178	100,000 (1348)	0,014				2			AEG	1,722	0,016	0,010
174,697 , 100,000 (1348)	174,697 (4)	100,000 (1348)	0,013				1			NPG	1,754	0,025	—
174,697 , 100,000 (1348)	174,697 (4)	100,000 (1348)	0,013				1						0,023
174,697 , 100,000 (1348)	174,697 (4)	100,000 (1348)	0,013				1						0,048

^{173}Lu , 1,37 года	179,363 (4)	6,362 (177) 62,952 (1551)	0,244 0,004 0,004	0,023 0,006 0,006	2	AEG NPG IEC	0,244 0,210 0,013	0,005 0,008 0,004	0,003 0,023 0,004	0,023 0,023 0,009
^{172}Lu , 6,7 дня	181,530 (4)	32,804 (1182) 100,000 (2698)	0,210 0,002	0,023 0,008	1	AEG NPG IEC	0,229 0,214 0,013	0,066 0,066 0,013	0,001 0,001 —	0,023 0,023 0,015
^{169}Yb , 30,7 дня	197,948 (4)	100,000 (1834) 100,000 (1634)	0,355 0,007	0,023 0,011	2	AEG NPG IEC	0,352 0,369 0,016	0,008 0,016 0,004	0,004 0,004 0,023	0,023 0,023 0,014
^{165}Tb , 5,35 дня	138,558	100,000 (1634)	0,007	0,023	1	NPG AEG NPG	0,369 0,154 0,007	0,016 0,006 0,006	— — 0,023	0,023 0,023 0,018
^{172}Lu , 6,7 дня	199,216 (5)	61,229 (1126) 100,000 (256)	0,155 0,006	0,023 0,008	2	AEG NPG AEG	0,154 0,157 0,149	0,010 0,013 0,004	— — 0,000	0,023 0,023 0,005
^{167}Tm , 9,25 дня	148,977	7,626 (378) 100,000 (256)	0,150 0,004	0,023 0,005	2	AEG NPG AEG	0,149 0,154 0,154	0,004 0,010 0,010	— — —	0,023 0,023 0,014
^{161}Gd , 120 дня	150,341	17,049 (531) 100,000 (256)	0,002 0,010	0,023 0,015	1	NPG AEG NPG	0,010 0,016 0,016	— — 0,003	0,023 0,023 0,019	0,023 0,023 0,011
^{165}Eu , 13,2 года	197,856	243,293 (14) 89,836 (1836) 2,496 (28)	0,0202 0,0004 0,0003	0,023 0,023 0,0029	2	AEG NPG AEG	0,0005 0,0005 0,0197	0,007 0,007 0,009	0,007 0,007 —	0,023 0,023 0,010
^{166}Tb , 5,35 дня	262,587 (43)	9,405 (171) 7,010 (130)	0,023 0,0006	0,024 0,0024	1	AEG NPG IEC	0,0026 0,0026 0,0835	0,025 0,025 0,0074	0,023 0,023 —	0,023 0,023 0,0079
^{162}Tb , 17,5 ч	212,348	14,776 (279) 29,966 (350)	0,0620 0,0014	0,018 0,023	2	AEG NPG AEG	0,0056 0,0056 0,0140	0,0220 0,0220 0,0116	— — 0,023	0,023 0,023 0,0059
^{173}Lu , 1,37 года	220,774	100,000 (1836)	0,0210 0,0001	0,0004 0,0001	2	AEG NPG IEC	0,0209 0,0214 0,0210	0,0050 0,0010 0,0045	0,0001 0,032 —	0,023 0,023 0,014

Продолжение табл. 45

Руклид, $T_{1/2}$	$E(\Delta E) E_K$	$I(\Delta I) I_K (\Delta I_K)$	α_K	Φ_1	Φ_2	ζ	$\Delta\alpha_K$	Результаты разных методов					
								$ q $ метод	α_K	Φ_1	Φ_2	ζ	$\Delta\alpha_K$
$^{149}\text{Eu},$ 93,1 дня	277,084 (5)	83,534 (1975)	0,0808	0,0014	0,023	0,0023	2	AEG	0,08000	0,00210	0,0021	0,023	0,0027
^{230}Pb	230,246	100,000 (2697)	0,0008	0,003	0,023	0,006	2	NPG	0,08510	0,00200	0,0011	0,023	0,0027
$^{279}\text{Eu},$ 52,1 ч	279,189 (6)	100,000 (1893)	0,166	0,003	0,023	0,006	2	AEG	0,163	0,006	0,003	0,023	0,007
$^{149}\text{Gd},$ 9,5 дня	298,647 (9)	59,080 (1176)	0,0723	0,0014	0,023	0,0020	2	NPG	0,168	0,006	0,002	0,023	0,006
$^{169}\text{Yb},$ 30,7 дня	250,098	9,217 (240)	0,0007	0,04460	0,023	0,0017	2	AEG	0,07290	0,00160	0,0009	0,023	0,0024
$^{151}\text{Gd},$ 120 дня	307,732 (6)	29,270 (654)	0,0006	0,04460	0,023	0,0017	2	NPG	0,07160	0,00160	0,0004	0,023	0,0022
$^{149}\text{Eu},$ 93,4 дня	248,331	3,729 (72)	0,0014	0,04460	0,023	0,0017	2	AEG	0,04500	0,00160	0,0012	0,023	0,0019
$^{169}\text{Eu},$ 13,2 года	344,267 (7)	17,417 (344)	0,06050	0,0015	0,023	0,0020	2	AEG	0,04370	0,00240	0,0002	0,023	0,0026
$^{152}\text{Tb},$ 17,5 ч	294,028	1,341 (39)	0,0014	0,05140	0,0009	0,023	1	NPG	0,05920	0,00200	0,0003	0,023	0,0025
$^{149}\text{Gd},$ 5,35 дня	306,192	100,000 (1982)	0,05140	0,0009	0,023	0,0045	2	AEG	0,06190	0,0024	—	0,023	0,0026
$^{169}\text{Tb},$ 30,2 года	344,267 (7)	96,528 (1784)	0,03130	0,0005	0,023	0,0009	2	NPG	0,05240	0,00120	0,0002	0,023	0,0017
$^{149}\text{Gd},$ 9,5 дня	294,028	4,729 (39)	0,0005	0,05140	0,0008	0,023	3	AEG	0,05040	0,00150	0,0045	0,023	0,0019
$^{169}\text{Eu},$ 30,2 года	344,267 (7)	70,766 (2547)	0,03130	0,0005	0,023	0,0009	3	NPG	0,03170	0,00070	0,0003	0,023	0,0010
$^{152}\text{Tb},$ 5,35 дня	344,267 (7)	96,528 (1784)	0,03130	0,0005	0,023	0,0009	6	NPG	0,03100	0,00070	0,0002	0,023	0,0010
$^{149}\text{Gd},$ 9,5 дня	294,028	4,729 (39)	0,0005	0,05140	0,0008	0,023	1	IEC	0,03220	0,0020	—	0,032	0,0022
$^{169}\text{Tb},$ 30,2 года	344,267 (7)	100,000 (1923)	0,03080	0,0008	0,023	0,0014	4	AEG	0,03080	0,00080	0,0002	0,023	0,0014
$^{149}\text{Gd},$ 5,35 дня	294,028	100,000 (755)	0,0002	0,003	0,023	0,006	1	NPG	0,03060	0,0017	—	0,023	0,0018
$^{169}\text{Tb},$ 30,2 года	344,267 (9)	49,781 (1188)	0,187	0,003	0,023	0,006	2	AEG	0,188	0,006	0,003	0,023	0,007
$^{169}\text{Tb},$ 30,2 года	344,267 (11)	20,070 (4004)	0,001	0,02770	0,0009	0,023	2	NPG	0,187	0,005	0,002	0,023	0,007
$^{152}\text{Tb},$ 5,35 дня	356,431 (11)	20,816 (388)	0,02770	0,0009	0,023	0,0014	2	AEG	0,02780	0,00140	0,0014	0,023	0,0013
$^{169}\text{Tb},$ 30,2 года	306,192	6,091 (119)	0,0002	0,03500	0,0002	0,023	1	NPG	0,02730	0,0017	—	0,023	0,0018
$^{149}\text{Gd},$ 9,5 дня	534,323 (11)	100,000 (1967)	0,00350	0,0002	0,023	0,0002	2	AEG	0,00350	0,0002	0,0002	0,023	0,0002
$^{169}\text{Tb},$ 30,2 года	484,084	3,691 (83)	0,0000	0,01610	0,0002	0,023	1	NPG	0,00350	0,0003	—	0,023	0,0003
$^{207}\text{Bi},$ 30,2 года	569,683 (11)	100,000 (1834)	0,01610	0,0003	0,023	0,0005	7	AEG	0,01580	0,00030	0,0003	0,023	0,0005
$^{207}\text{Bi},$ 30,2 года	481,678	22,082 (246)	0,0003	0,09660	0,0012	0,023	2	NPG	0,01620	0,00030	0,0003	0,023	0,0005
$^{207}\text{Bi},$ 30,2 года	1063,660 (19)	76,205 (1461)	0,09660	0,0012	0,023	0,0025	3	IEC	0,01750	0,0010	0,0003	0,032	0,0012
$^{207}\text{Bi},$ 30,2 года	975,655	100,000 (1025)	0,0002	0,09680	0,00150	0,0009	10	NPG	0,09680	0,00150	0,0009	0,023	0,0031

ких случаях (например, нуклид с малым числом интенсивных переходов) появляется необходимость примешивания источников с простыми спектрами или применения методики внешней градуировки.

Построение набора нормалей КВК. В качестве нормали КВК первого порядка примем [47]

$$\alpha_k (661,648 \text{ кэв} - {}^{137}\text{Cs}) = 0,0905 \pm 0,0010. \quad (51)$$

Выбор этой нормали сделан по следующим причинам.

1. Считают, что мультипольность перехода 661,7 кэв является чистой $M4$, тогда легко провести сравнение теоретических и экспериментальных данных.

2. Нуклид ${}^{137}\text{Cs}$ испытывает β -распад, и при этом наблюдается только один переход. Следовательно, α_k можно определить с помощью методов лишь γ -спектроскопии (ХРГ).

3. Переход 661,7 кэв находится в той области энергии, где входное окно ППД несущественно рассеивает или поглощает β -частицы, и для достаточно толстых детекторов ($\geq 3 \text{ мм}$) эффективность не зависит от энергии.

4. Нуклид ${}^{137}\text{Cs}$ имеет большой период полураспада (30,18 года), и источник высокой удельной активности можно получить в реакторах. Это значительно облегчает задачу изготовления высококачественных бета-источников. Кроме того, высокая эффективность разделения с помощью электромагнитных масс-сепараторов позволяет изготавливать тонкие источники без носителя.

5. Источник ${}^{137}\text{Cs}$ входит в набор ОСГИ. Это позволяет градуировать изготовленные β -источники по активности с помощью методики сравнения интенсивностей γ -квантов.

6. Распад ${}^{137}\text{Cs}$ исследован неоднократно и практически на всех типах бета-спектрометров.

7. При подходе, изложенном выше, любые изменения относительных интенсивностей градуированных препаратов и $\alpha_k = 661,7 \text{ кэв}$ в дальнейшем легко учесть, не проводя эксперимента заново.

Полученные экспериментальные значения α_k приведены в табл. 15, мы будем считать их нормалиями второго порядка. Там же даны число экспериментов и результаты различных методов. Для каждого метода указана систематическая погрешность, включающая погрешность α_k нормали первого порядка ($661,7 \text{ кэв} - {}^{137}\text{Cs}$), равной 1,1 %. В нахождении окончательных результатов каждый метод участвует со своим весом [погрешность наибольшая из $\Phi_{1,2} = \Delta\alpha_i^*$ — см. формулу (46)] вне зависимости от числа проведенных экспериментов. Тогда в качестве ξ использовалась наилучшая из систематических погрешностей, примененных методом. Для определения α_k каждого перехода

использованы как минимум два различных радиоактивных источника.

Сделаем несколько замечаний о деталях экспериментов:

1. Все радиоактивные источники получены с помощью электромагнитного масс-сепаратора, за исключением ^{207}Bi , приготовленного выпариванием раствора.

2. Особое внимание уделялось правильному учету эффектов, связанных с радиоактивным распадом.

3. В качестве эталонов использовались шесть различных источников ^{137}Cs . Лишь в одном случае наблюдалось ухудшение качества источника, связанное с поглощением и рассеянием β -частиц в загрязненной поверхности. Контроль каждого источника проводился измерением α_k в шкале другого источника. Приведем пример:

$$\alpha_k (661,7 \text{ кэВ} - ^{137}\text{Cs}) = \begin{cases} 0,0900 \pm 0,0040; \\ 0,0896 \pm 0,0028; \\ 0,0879 \pm 0,0042. \end{cases} \quad (52)$$

Этот результат демонстрирует и воспроизводимость геометрических условий для трех различных источников.

4. Результаты, приведенные в табл. 15, получены с помощью восьми разных ППД. В рабочих энергетических областях систематические отклонения экспериментальных значений α_k в зависимости от качества применяемых детекторов не наблюдались. Этот факт подтверждает предположение о независимости сбора зарядов от энергии β -частицы. Заметим, что для изготовления ППД был использован базовый материал различных фирм и с разными параметрами.

5. Измерены относительные интенсивности ЭВК некоторых нуклидов, которые можно применять для градуировки бета-спектрометров (табл. 16). В дальнейшем предполагается расширить область градуировочных источников.

Анализ результатов. Анализ можно провести, сравнивая с литературными данными и сопоставляя с теоретическими расчетами (табл. 17). Отметим, что имеющиеся в настоящее время данные о КВК противоречивы и выбрать критерий отбора наиболее достоверных значений трудно. Формальная же процедура взвешивания приводит к большим значениям погрешности разброса, что исключает сравнение с теоретическими расчетами. Проводить полный физический анализ результатов не будем, так как основная цель работы — изложение методики измерения. Некоторые замечания, однако, сделать следует.

1. В табл. 17 приведены КВК, которые можно получить для переходов чистой мультипольности из табл. 16. С точки зрения планирования эксперимента эти результаты полезны тем, что можно узнать реальные погрешности, которые достижимы в по-

Таблица 16

**Относительная интенсивность ЭВК радиоактивных нуклидов,
предлагаемых для градуировки бета-спектрометров**

E	ΔE	I	ΔI	I _e	ΔI _e		E _e
¹⁴⁹Gd, 9,5 дня							
149,733	0,006	100,000	1,827	100,000	3,394	K	101,214
				15,220	0,454	L	142,2
				3,169	0,306	M	147,9
				0,802	0,058	N	149,4
272,317	0,011	6,768	0,169	1,379	0,040	K	223,798
				0,202	0,014	L	264,8
298,617	0,009	59,080	1,176	9,217	0,240	K	250,098
				1,682	0,310	L	291,1
346,660	0,009	49,781	1,188	20,070	1,004	K	298,141
				3,518	0,092	L	339,1
				0,949	0,043	M	345,2
496,403	0,015	3,570	0,266	0,202	0,013	K	447,884
516,558	0,013	5,487	0,413	0,190	0,008	K	468,039
534,304	0,019	6,370	0,124	0,227	0,017	K	485,785
748,590	0,018	16,148	0,344	0,057	0,006	K	700,071
788,857	0,018	14,176	0,274	0,126	0,008	K	740,338
933,133	0,029	1,241	0,040	0,003	0,001	K	884,614
938,591	0,022	4,714	0,147	0,032	0,003	K	890,072
947,840	0,038	1,814	0,036	0,003	0,001	K	899,321
¹⁵¹Gd, 120 дней							
106,566	0,004	1,421	0,044	1,887	0,046	K	58,047
153,605	0,004	100,000	1,829	51,307	0,686	K	105,086
				7,504	0,072	L	146,0
				1,705	0,045	M	151,8
				0,427	0,013	N	153,3
174,697	0,004	47,342	0,970	100,000	1,348	K	126,178
				19,070	0,413	L	167,1
				4,835	0,052	M	172,9
				1,199	0,039	N	174,3
239,013	0,094	1,317	0,090	0,133	0,008	K	190,494
243,293	0,014	89,836	1,836	2,196	0,028	K	194,774
260,459	0,079	0,661	0,050	0,076	0,005	K	211,940
286,098	0,014	1,619	0,039	0,142	0,009	K	237,579
307,500	0,009	17,417	0,344	1,341	0,039	K	258,981
				0,185	0,008	L	299,9
¹⁵²Eu, 13,2 года							
121,782	0,003	100,000	2,476	100,000	2,146	K	74,947
				61,718	0,770	L	114,5
				13,887	0,257	M	120,4
244,691	0,005	25,839	0,522	3,424	0,042	K	197,856
				0,927	0,028	L	237,4
344,267	0,007	96,528	1,784	4,729	0,039	K	294,028
				1,018	0,033	L	336,4

Продолжение табл. 16

<i>E</i>	ΔE	<i>I</i>	ΔI	I_e	ΔI_e		<i>E_e</i>
^{169}Yb , 30,6 дня							
93,613	0,005	6,811	0,224	52,007	1,022	<i>K</i>	34,223
				9,125	0,131	<i>L</i>	83,9
				1,745	0,228	<i>M</i>	94,7
109,784	0,003	45,820	1,694	40,607	0,405	<i>L</i>	100,2
130,525	0,003	30,936	0,733	44,547	0,642	<i>K</i>	71,135
				41,657	1,764	<i>L</i>	120,7
				9,776	0,133	<i>M</i>	128,6
				2,299	0,076	<i>N</i>	130,1
177,208	0,004	62,375	1,471	14,903	0,212	<i>L</i>	167,3
				3,300	0,043	<i>M</i>	175,3
				0,833	0,029	<i>N</i>	176,8
197,948	0,004	100,000	1,834	100,000	1,208	<i>K</i>	138,558
				16,825	0,266	<i>L</i>	188,1
				3,817	0,058	<i>M</i>	196,0
				0,915	0,025	<i>N</i>	197,5
261,069	0,012	4,962	0,489	0,272	0,015	<i>K</i>	201,679
307,732	0,006	29,270	0,654	3,729	0,072	<i>K</i>	248,331
^{173}Lu , 1,37 года							
78,651	0,006	52,115	1,190	2328,396	29,544	<i>L</i>	68,9
				573,621	17,660	<i>M</i>	76,7
				143,615	11,365	<i>N</i>	78,3
100,719	0,007	23,331	0,531	504,533	7,711	<i>L</i>	90,9
				115,356	2,307	<i>M</i>	98,8
				26,824	1,407	<i>N</i>	100,4
171,402	0,004	13,834	0,379	39,488	1,008	<i>K</i>	110,070
				7,752	0,359	<i>L</i>	161,6
179,363	0,004	6,362	0,177	62,952	1,551	<i>K</i>	118,031
				23,421	1,721	<i>M</i>	177,4
				8,848	0,351	<i>N</i>	179,0
272,111	0,005	100,000	1,886	100,000	1,286	<i>K</i>	210,779
				14,949	0,355	<i>L</i>	262,3
285,369	0,006	2,802	0,080	3,021	0,226	<i>K</i>	224,037
350,750	0,008	1,603	0,033	0,935	0,079	<i>K</i>	289,418
456,769	0,015	0,725	0,026	1,010	0,050	<i>K</i>	395,437
557,485	0,019	2,634	0,105	1,545	0,132	<i>K</i>	496,153
636,129	0,013	7,286	0,185	4,673	0,120	<i>K</i>	574,797
^{207}Bi , 30,2 года							
569,683	0,011	100,000	1,834	22,082	0,246	<i>K</i>	481,678
				6,490	0,355	<i>L</i>	554,2
				1,387	0,075	<i>M</i>	566,6
				0,486	0,053	<i>N</i>	569,1
1063,660	0,019	76,205	1,461	100,000	1,025	<i>K</i>	975,655
				25,999	0,801	<i>L</i>	1048,1
				6,889	0,446	<i>M</i>	1060,6
				1,786	0,071	<i>N</i>	1063,0
1770,253	0,034	7,221	0,147	0,295	0,008	<i>K</i>	1682,248
				0,044	0,006	<i>L</i>	1756,0
				0,011	0,004	<i>M</i>	1767,2

Таблица 17

Экспериментальные значения КБК и их сравнение с теоретическими [48] и литературными данными

Нуклид	$E(\Delta E)$	ϕ_L	i	α_i	$\Delta\alpha_i, \%$	α_i (теор.)	разность %	α_i	$\Delta\alpha_i, \%$	Литера-тура
^{172}Lu	78,738 (5)	$E2$	L	5,268	6,2	5,091	+3,4	—	—	—
			M	1,319	4,9	1,253	+5,4	—	—	—
			N	0,342	6,7	—	—	—	—	—
^{176m}Lu	88,367 (7)	$E2$	K	1,461	4,8	1,210	-4,4	1,40	5,5	[52]
^{152}Eu	121,782 (3)	$E2$	K	0,636	2,5	0,684	-7,3	0,65	9,2	[52]
			L	0,393	3,7	0,375	+4,7	0,38	13,2	[50]
			M	0,0883	3,8	0,084	+5,0	—	—	—
			N	0,0193	6,3	0,0198	-2,6	—	—	—
^{169}Yb	130,525 (4)	$E2$	K	0,499	3,3	0,546	-9,0	0,53	5,7	[57]
^{141}Ce	145,443 (3)	$M1$	K	0,365	3,0	0,388	-6,1	0,379	1,1	[47]
			L	0,0519	3,5	0,0522	-0,6	—	—	—
			M	0,0104	4,4	0,0414	-6,5	—	—	—
			N	0,0027	5,8	0,0030	-10,3	—	—	—
^{149}Gd	149,733 (6)	$M1$	K	0,459	3,3	0,507	-9,9	0,475	2,7	[63]
			L	0,0699	5,6	0,072	-3,0	—	—	—
			M	0,0146	10,8	0,0155	-6,0	—	—	—
^{161}Gd	153,605 (4)	$M1$	K	0,426	3,4	0,471	-10,0	0,475	3,2	[64]
			L	0,0623	3,5	0,0669	-7,4	—	—	—
			M	0,0142	4,3	0,0144	-1,4	0,023	30,4	[64]
^{139}Ce	165,854 (5)	$M1$	K	0,226	3,1	0,225	+0,5	0,2442	0,7	[47]
			L	0,0319	3,5	0,0302	+5,5	—	—	—
			M	0,00660	3,8	0,00625	+5,5	—	—	—
			N	0,00167	5,8	0,00172	-3,0	—	—	—
^{173}Lu	171,402 (4)	$E1$	K	0,0657	3,4	0,0698	-6,4	0,065	45,4	[65]

Продолжение табл. 17

Нуклид	$E (\Delta E)$	σL	i	α_i	$\Delta \alpha_i, \%$	α_i (теор.)	Разность %	α_i	$\Delta \alpha_i, \%$	Литера-тупа
154Gd	174, 697 (4)	M2	K	1,731	2,5	1,896	-9,1	-	-	-
			L	0,330	3,6	0,384	-15,1	0,38	18,4	[64]
173Lu	179, 363 (5)	E2	K	0,214	3,0	0,231	-7,6	0,20	15,0	[65]
172Lu	181, 530 (4)	E2	K	0,240	3,8	0,224	-6,5	0,240	6,0	[66]
166Tb	199, 246 (5)	E2	K	0,455	5,2	0,458	-2,6	-	-	-
172Lu	203, 436 (4)	E2	K	0,150	3,3	0,161	-7,1	0,160	6,3	[66]
167Tm	207, 797 (3)	E3	K	0,479	3,2	0,481	-0,4	0,540	8,8	[67]
			L	0,709	2,2	0,703	+0,9	-	-	-
			M	0,486	6,4	0,474	+6,7	-	-	-
			N	0,042	21,7	-	-	-	-	-
151G	243, 293 (14)	E1	K	0,0202	3,1	0,0222	-9,4	0,025	16,0	[64]
152Eu	244, 691 (6)	E2	K	0,0846	3,6	0,0813	+4,0	0,0846	9,0	[67]
156Tb	262, 587 (13)	E2	K	0,0769	3,9	0,0685	+14,6	0,0673	3,3	[68]
152Tb	271, 085 (14)	E2	K	0,0620	3,8	0,0622	-0,2	0,0640	12,0	[69]
173Lu	272, 114 (5)	E4	K	0,0240	3,1	0,0214	-1,9	0,0222	1,4	[65]
149Eu	277, 081 (5)	M1	K	0,0808	2,8	0,0861	-6,4	0,079	6,3	[63]
169Yb	307, 732 (6)	E2	K	0,0446	3,8	0,0485	-8,4	0,0488	3,7	[57]
149Eu	327, 527 (6)	M1	K	0,0544	2,8	0,0557	-8,0	0,050	6,0	[63]
152Eu	344, 267 (7)	E2	K	0,0343	2,9	0,0341	+0,6	0,0296	4,4	[52]
			L	0,00671	5,3	0,00684	-1,9	-	-	-
166Tb	356, 434 (41)	E2	K	0,0277	4,0	0,0282	-1,8	0,0285	7,7	[68]
166Tb	534, 323 (11)	E1	K	0,0035	4,8	0,0035	+0,1	0,0032	6,9	[68]
207Bi	569, 683 (12)	E2	K	0,0161	3,2	0,0159	+1,3	0,0160	2,5	[52]
137Cs	661, 648 (14)	M4	K	0,00474	13,9	0,00439	+7,7	-	-	-
			L	0,0905	4,1	0,0920	-4,6	-	-	-
207Bi	1063, 660 (19)	M4	K	0,0166	2,1	0,0168	-1,2	-	-	[52]
			L	0,0966	2,6	0,097	-0,4	0,0926	4,0	-
				0,0254	4,0	0,0251	0,0	-	-	-

добном подходе. Там же даны расчетные КВК и их отклонения от экспериментальных значений, а также литературные данные.

2. Объектом специальных экспериментов являлся переход $121,8 \text{ кэв} - ^{152}\text{Eu}$. Его считают чистым $E2$, разряжающим первое возбужденное состояние ^{152}Sm (2^+). Благоприятным обстоятельством для проведения экспериментов являлось наличие в наборе ОСГИ градуированных по активности источников ^{57}Co (переход $121,1 \text{ кэв}$) и ^{137}Cs (переход $661,6 \text{ кэв}$). Благодаря этому исключалась погрешность определения эффективности гамма-спектрометра. В общей сложности при измерении ЭВК использовались четыре различных источника ^{152}Eu и пять источников ^{137}Cs . Как видно из данных табл. 17, α_k ($121,8 \text{ кэв}$) отличается от расчетного значения на $7,3 \pm 2,5\%$.

Можно допустить, что эффективность ППД играет роль в области $\sim 80 \text{ кэв}$. Однако наши эксперименты проводились с помощью четырех различных Si (Li)-детекторов и найденные значения совпадают. Кроме того, полученные относительные интенсивности ЭВК ^{152}Eu совпадают в пределах погрешности с данными, приведенными в работах [46, 50] (кроме L121 в [46], табл. 18). Данные работы [51] мы считаем ошибочными.

Таблица 18

Сравнение экспериментальных данных относительных интенсивностей ЭВК ^{152}Eu с литературными

E	I	ΔI	I	ΔI [46]	I	ΔI [50]	I	ΔI [51]
$K 121,8$	100,000	2,146	100,000	3,821	—	—	100,000	1,988
$L 121,8$	61,718	0,770	78,025	6,242	61,465	7,092	56,989	1,080
$K 244,7$	3,424	0,042	3,376	0,127	3,593	0,236	2,045	0,102
$L 244,7$	0,927	0,028	0,840	0,102	—	—	0,545	0,028
$K 344,3$	4,729	0,039	4,586	—	4,729	—	3,409	0,171
$L 344,3$	1,018	0,033	1,102	0,159	—	—	0,767	0,039

Таким образом, возможны два предположения: или неверны данные об активности и схеме распада ^{57}Co и ^{137}Cs , или расчеты по какой-либо причине дают завышенные значения КВК.

3. $E2$ -переходы для четно-четных ядер, разряжающие состояние 2^+ в основное состояние 0^+ , систематизировались в работе [52]. Расходимость для α_k ($121,8 \text{ кэв} - ^{152}\text{Eu}$) отмечалась и там, но погрешность была больше. В работе [52] также указано и на отклонение отношений L_1/L_2 и L_1/L_3 для чистых $E2$ -переходов от расчетных значений.

4. Методика измерения КВК с помощью ППД прямым образом связана с введенным нами базисом относительных интенсив-

ностей γ -квантов, поэтому любые коррекции этого базиса должны привести к соответствующим коррекциям экспериментальных значений КВК. Здесь, однако, может быть коррекция и по отношению к нормали первого порядка КВК — α_k ($661,7 \text{ кэВ} — {}^{137}\text{Cs}$). Следовательно,

$$k_1(E) = (\alpha_k^{(2)} / \alpha_k^{(1)}) / k(E), \quad (53)$$

где $k_1(E)$ — коэффициент коррекции КВК; $k(E)$ — коэффициент коррекции относительных интенсивностей γ -квантов (42); $\alpha_k^{(2)}$ и $\alpha_k^{(1)}$ — новое (2) и старое (1) значения нормали первого порядка КВК.

7. СПЕКТРОСКОПИЯ α -ЧАСТИЦ

В настоящее время прецизионная α -спектроскопия проводится с помощью магнитных спектрометров, обладающих высоким энергетическим разрешением (см. рис. 1). К сожалению, абсолютная эффективность таких приборов низка (см. рис. 2), и это ставит жесткие требования к активности источников. Кроме того, процедура получения информации от толстослойных фотопластиков все еще является медленной и трудной. Определенные надежды на ускорение процесса обработки данных связывают с вводом телевизионных автоматов для счета треков и с применением нитяных [71], а может быть, и полупроводниковых координатных детекторов. В обоих случаях требования к активности источника остаются, а во втором имеет место ухудшение энергетического разрешения.

В некоторых случаях задачу можно решить с применением полупроводниковых альфа-спектрометров. Однако, хотя α -спектроскопия является и первой областью применения ППД, последовательная методика прецизионной спектроскопии все еще не разработана.

Поскольку спектрометрия α -частиц проводится в довольно узком интервале амплитуд импульсов, задачу можно рассматривать как частный случай спектрометрии моноэнергетических частиц с помощью ППД (см. разд. 4). При этом основные экспериментальные проблемы связаны с трудностью изготовления высококачественных комбинированных альфа-источников (одновременное измерение разных источников связано с искажением аппаратурного спектра, см. рис. 42) и с низким энергетическим разрешением спектрометров. Поэтому каждый эксперимент нужно готовить специально и на основе предварительного анализа выбирать методику внешней или внутренней градуировки.

В отличие от γ -спектроскопии, в α -спектроскопии уже предложен последовательный набор нормалей энергий α -частиц [53]. Абсолютные значения энергий α -частиц, измеренные с помощью магнитного спектрометра, приведены в табл. 19. Данные об α -рас-

Таблица 19

**Абсолютные значения энергии α -частиц, измеренные
с помощью магнитного спектрометра [53]**

Нук- лид	$T_{1/2}$	E	ΔE	Нук- лид	$T_{1/2}$	E	ΔE
^{148}Gd	93 года	3182,787	0,024	^{226}Ra	$1,6 \cdot 10^3$ лет	4784,50	0,25
^{210}Po	138 дня	5304,51	0,07	^{227}Th	18,5 дня	6038,21	0,15
^{211}Bi	2,1 мин	6623,1	0,6			5977,82	0,10
^{212}Bi	61 мин	6090,087	0,037	^{228}Th	1,9 года	5423,33	0,22
^{212}Po	$3 \cdot 10^{-7}$	8784,37	0,07			5340,54	0,15
		10554	2	^{232}U	72 года	5320,30	0,14
^{214}Po	$162 \cdot 10^{-6}$	7687,09	0,06			5263,54	0,09
^{215}Po	$1,8 \cdot 10^{-3}$	7386,4	0,8	^{238}Pu	88 лет	5499,21	0,20
^{216}Po	$150 \cdot 10^{-3}$	6778,5	0,5			5456,5	0,4
^{218}Po	3,0 мин	6002,55	0,09	^{240}Pu	$6,5 \cdot 10^3$	5168,30	0,15
^{219}Rn	4	6819,29	0,27			5123,82	0,23
^{220}Rn	55	6288,29	0,10	^{241}Am	433 года	5485,74	0,12
^{222}Rn	3,8 дня	5489,66	0,30			5442,98	0,13
^{223}Ra	11,4 дня	5747,8	0,4	^{242}Cm	163 дня	6112,92	0,08
		5716,42	0,29			6069,63	0,12
		5607,6	0,6	^{244}Cm	18 лет	5804,96	0,05
		5540,0	0,9			5762,835	0,03
^{224}Ra	3,6 дня	5685,56	0,15	^{253}Es	20,5 дня	6632,73	0,05

паде актиноидов анализировались и в работе [72]. Для градуировки спектрометров наибольший интерес представляют нуклиды со сравнительно большим периодом полураспада и доступные по коммерческим каналам (табл. 20). Некоторые источники из этого ряда в СССР изготавливают в виде набора образцовых спектрометрических альфа-источников (ОСАИ) [73]. При этом в зависимости от собственной ширины α -линий на полувысоте источники разделяются на три категории: 1) $\Delta_{\text{ист}} < 10 \text{ кэв}$, 2) $\Delta_{\text{ист}} < 20 \text{ кэв}$ и 3) $\Delta_{\text{ист}} < 50 \text{ кэв}$. Кроме того, с технологической точки зрения различают ОСАИ с прочно фиксированным слоем радиоактивного вещества и ОСАИ для прецизионных измерений (собственная ширина линий по полувысоте $< 2 \text{ кэв}$), изготовленные методом распыления вещества в вакууме. Выпускают также комбинированные ОСАИ, например: $^{239}\text{Pu} + ^{241}\text{Am} + ^{244}\text{Cm}$, $^{233}\text{U} + ^{238}\text{Pu} + ^{239}\text{Pu}$, $^{226}\text{Ra} + ^{227}\text{Ac} + ^{228}\text{Th}$ и др. Отметим, что для ОСАИ с прочно фиксированным слоем допустимое отклонение энергии и активности от номинала равно $\pm 100 \text{ кэв}$ и $\pm 20\%$ соответственно. Следовательно, качество калибровочных источников существенно определяет постановку эксперимента по измерению энергий α -частиц с помощью ППД.

Пробег α -частиц (см. рис. 33) полностью укладывается в толщину чувствительного слоя Si(Au)-детекторов, и потому нет

Таблица 20

Энергия и относительная интенсивность α -частиц радиоактивных нуклидов, применяемых для градуировки спектрометров

Нуклид	$T_{1/2}$, лет	E	ΔE	I_{tot}	I	ΔI
^{226}Ra	$1,6 \cdot 10^3$	4784,50	0,25	100	94,5	0,1
		4601,9	0,5		5,5	0,1
		7687,09	0,06		99	—
		6002,55	0,09		99	—
		5489,66	0,30		99	—
		5304,51	0,07		99	—
^{227}Ac	22	4954	2	1,4	47,5	1,7
		4942	3		38,8	1,7
		4871	3		6,4	0,7
^{228}Th	1,9	5423,33	0,22	100	72,7	0,4
		5340,54	0,15		26,7	0,2
^{233}U	$1,6 \cdot 10^5$	4824,2	1,2	100	84,4	0,2
		4782,5	1,2		13,2	0,1
^{238}Pu	88	5499,21	0,20	100	71,1	1,2
		5456,5	0,4		28,7	1,2
^{239}Pu	$2,4 \cdot 10^4$	5155,4	0,7	100	73,3	—
		5142,9	0,8		15,1	—
		5104,6	0,8		11,5	—
^{241}Am	433	5544,3	0,3	100	0,35	—
		5485,74	0,12		85,2	—
		5442,98	0,13		12,8	—
^{242}Cm	163 дня	6112,92	0,08	100	74,0	0,5
		6069,63	0,12		26,0	0,5
^{244}Cm	18	5804,96	0,05	100	76,4	0,2
		5762,835	0,030		23,6	0,2

трудностей в измерении относительных интенсивностей α -групп. Задача же измерения абсолютных интенсивностей α -частиц значительно сложнее. Безусловно, возможно решение задачи тщательным учетом всех геометрических факторов. В частности, таким методом активность ^{241}Am определена с погрешностью $\leq 0,2\%$ [74]. Однако более простым методом является сравнение эталонных и исследуемых активностей.

Пример осуществления однократного измерения ОСАИ ^{226}Ra (с прочно фиксированным слоем) по методике внутренней градуировки показан на рис. 58. Если предположить, что ^{226}Ra и его дочерние продукты равномерно распределены по собственной толщине источника и что линейность, связанная с потерями энергии в собственной толщине и с качеством аппаратуры, отсутствует, можно определить энергию α -частиц с помощью различных наборов реперных пиков (табл. 21). Из приведенных данных, однако, можно сделать вывод, что условия идеального экспери-

мента нарушены и потому систематические отклонения энергии доходят до $\pm 2,7$ кэв. Для обработки многократных измерений по формулам (30) мы применяли следующие параметры:

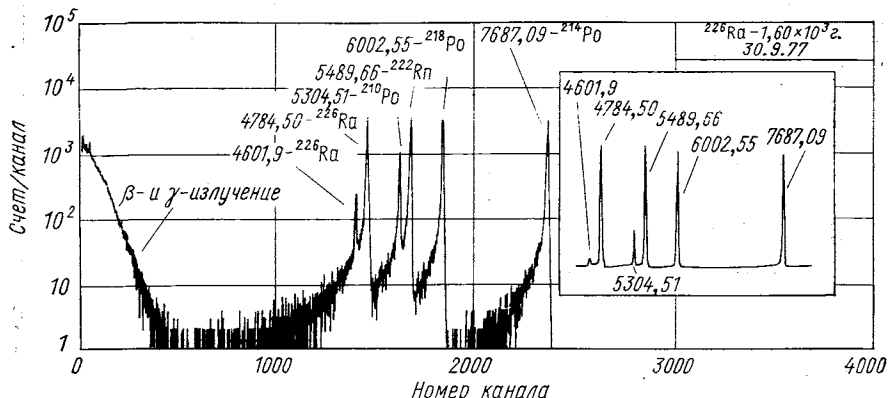


Рис. 58. Спектр α -частиц ^{226}Ra , измеренный с помощью $30 \text{ mm}^2 \times 0,3 \text{ mm}$ $\text{Si}(\text{Au})$ -детектора.

Вставка приведена в линейном масштабе; $T_1 = 1$ год, $T_2 = 2$ ч, $P = 4$ см

а) поскольку энергетическая градуировка осуществляется с помощью энергий α -частиц, измеренных абсолютным методом, полагаем $\alpha_3 = 0$;

б) если градуировку осуществлять с помощью только лишь двух реперов, что согласно данным табл. 21 оправдано на узком энергетическом участке, то

$$\alpha_4 = [(\Delta E_1)^2 + (\Delta E_2)^2]^{1/2}, \quad (54)$$

где ΔE_1 и ΔE_2 — погрешности градуировочных энергий.

При применении различных пар в качестве α_4 следует использовать пару с наименьшей погрешностью;

в) сложным является вопрос учета систематической погрешности α_5 в однократных измерениях. Для многократных измерений считаем, что $\alpha_5 = 0$ и вклад α_5 переносится в значения погрешности разброса α_2 . В однократных же измерениях считаем

$$\alpha_5 = \frac{1}{n\sqrt{\frac{3}{2}}} \sum_{i=1}^n |E_{i\text{расч}} - E_{i\text{табл}}|, \quad (55)$$

где E — энергия реперного пика, находящегося внутри области градуировки, но не используемого в расчетах коэффициентов B_1 и B_2 .

Сказанное выше в полной мере относится и к методике внешней градуировки. В этом случае такие факторы, как качество источ-

Таблица 21

Энергия α -частиц ^{226}Ra и его дочерних продуктов (см. рис. 58), полученные с помощью методики внутренней градуировки

Наряду	E	ΔE										
1	4599,856	0,699	4782,356	0,542	5304,510	0,388	5489,708	0,340	6002,550	0,411	7635,745	0,931
Отклонение	+2,244		+2,144	0	5304,510	0,388	-0,048	0	6002,953	0,385	+4,375	
2	4599,249	0,596	4782,054	0,459	5304,510	0,388	5489,815	0,353	6002,953	0,385	7637,090	0,440
Отклонение	+2,651		+2,446	0	5305,036	0,386	-0,155	-0,403	6000,943	0,584	7678,864	1,350
3	4602,367	0,633	4784,500	0,470	5305,737	0,378	5489,660	0,389	6002,550	0,441	7632,757	0,714
Отклонение	-0,467		0	0	5305,737	0,378	5490,609	0,344	6002,550	0,441	+8,229	
4	4602,121	0,616	4784,500	0,470	5305,737	0,378	5490,609	0,344	6002,550	0,441	7632,757	0,714
Отклонение	-0,221		0	0	5306,516	0,401	5491,665	0,367	6004,371	0,395	+4,333	
5	4601,849	0,605	4784,500	0,471	5306,516	0,401	-0,949	0	6004,371	0,395	7637,090	0,400
Отклонение	+0,051		0	0	5305,396	0,380	-2,005	-4,824	6003,527	0,386	7636,915	0,434
6	4600,448	0,585	4783,172	0,447	5305,396	0,380	5490,617	0,347	6003,527	0,386	7636,915	0,434
Отклонение	+1,452		+1,328	0,885	5305,626	0,398	-0,957	+0,977	6003,615	0,390	+0,175	
7	4600,823	0,609	4783,308	0,473	5305,626	0,398	5490,810	0,362	6003,615	0,390	7636,658	0,427
Отклонение	+1,077		+0,992	0,459	5305,153	0,385	-4,150	-4,065	6003,245	0,391	+0,432	
8	4600,247	0,598	4782,961	0,459	5305,153	0,385	-0,705	-0,695	6003,245	0,391	7636,534	0,488
Отклонение	+1,653		+1,539	0,643							+0,556	
Данные табл. 19	4601,9	0,5	4784,50	0,25	5304,51	0,07	5489,66	0,30	6002,55	0,09	7637,09	0,06

Приложение. Примененные при градуировке энергии подтверждены. Приведены также отклонения от данных табл. 19.

ника, загрузка, расстояние источник — ППД, вакуум в камере и т. п., имеют исключительное значение и систематическая погрешность, связанная с этими факторами, может доходить до 100 кэв. Например, эксперимент по измерению энергии α -частиц ОСАИ

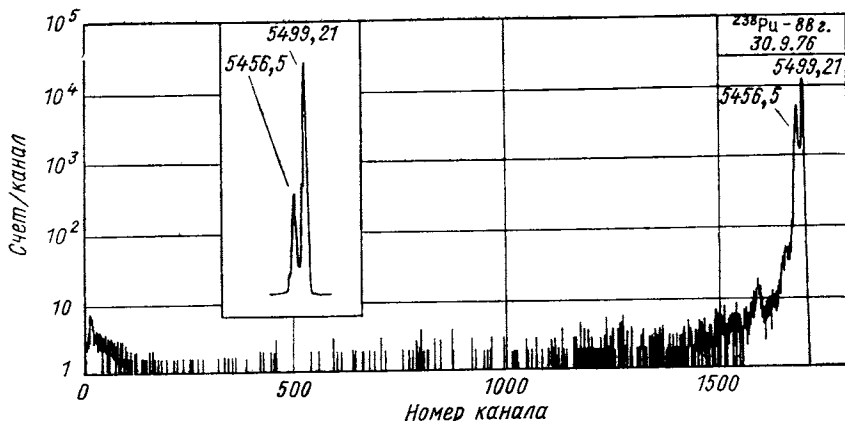


Рис. 59. Спектр α -частиц ^{238}Pu , измеренный с помощью $30 \text{ mm}^2 \times 0,3 \text{ mm}$ Si(Au)-детектора.

Вставка приведена в линейном масштабе; $T_1 = 1$ год; $T_2 = 2$ ч; $P = 4$ см

^{238}Pu (с прочно фиксированным слоем, рис. 59) при помощи методики внешней градуировки по ^{226}Ra дал $5499,913 \pm 0,794$ и $5540,818 \pm 0,495$ кэв. Сравнивая эти результаты с данными из табл. 20, констатируем отличие на 43,413 и 41,608 кэв соответственно. Завышение энергии по отношению к ^{226}Ra можно объяснить влиянием толщины защитной пленки ^{226}Ra , являющимся эманирующим источником [74].

ЗАКЛЮЧЕНИЕ

В настоящее время ППД — основные инструменты в ядерно-спектроскопическом эксперименте. Техника спектрометрии находит все более широкое применение в физике средних и высоких энергий [75], а также в решении задач прикладного характера (активационный и элементный анализ). Следует, однако, констатировать, что развитие методики спектрометрии излучений несколько отстает от развития технологии изготовления ППД. Как известно, эти процессы взаимосвязаны.

Сделаем некоторые выводы из проведенного в настоящей работе анализа.

1. Детекторы на основе Si и Ge практически достигли возможного энергетического разрешения для выбранной конфигурации

кристалла. Хотя и имеются некоторые достижения в технологии изготовления детекторов из GaAs и CdTe, требованиям ядерно-спектроскопического эксперимента пока удовлетворяют только детекторы из Si и Ge. С точки зрения ближайшей перспективы особый интерес представляют координатно-чувствительные детекторы в сочетании с классическими магнитными спектрометрами.

2. Планирование и проведение экспериментов по исследованию спектров излучений радиоактивных нуклидов немыслимо без проведения полного анализа эффектов, искажающих форму аппаратурного спектра (см. табл. 2 и 3).

3. Ряд физических экспериментов связан с прецизионными измерениями энергий γ -квантов. В настоящее время ведется дискуссия по выбору нормали второго порядка, осуществляющей связь значений энергий γ -квантов с фундаментальными константами. Особое значение здесь имеет погрешность этой нормали, так как она входит в качестве систематической составляющей в полную погрешность энергий γ -квантов.

4. Методика измерения энергий γ -квантов с помощью ППД основана на сравнении с энергетическими нормалями. В предположении (35) с использованием энергий γ -квантов ^{182}Ta и ^{192}Ir (см. табл. 4) и энергий переходов, полученных суммированием каскадных переходов для нуклидов с хорошо исследованными схемами распада (см. табл. 6), построен полный набор (см. табл. 7) нормалей. Если будет принято новое значение E_γ (411,8 кэВ), процедура коррекции станет простой [формула (39)]. При этом важное значение имеет модель расчета погрешностей [формула (30)], обеспечивающая пересчет в новом базисе нормалей.

5. Измерение энергий γ -квантов в области меньше 100 кэВ связано со значительными трудностями при выборе нормалей энергий из-за искажения аппаратурного спектра характеристическим излучением эталонных нуклидов, а также КХ-излучением в ППД. Чтобы эти искажения уменьшить, необходимо проводить тщательный анализ условий эксперимента.

6. Методика измерения относительных интенсивностей γ -квантов с помощью ППД основана на использовании данных об относительных интенсивностях γ -квантов эталонных радионуклидов (см. табл. 12). Эти результаты получены с помощью градуированных по активности источников (в СССР — ОСГИ). Поскольку в области 35—120 и 200—600 кэВ имеется сравнительно мало переходов, интенсивность которых можно градуировать с высокой точностью, необходимо привлечение различных физических критериев, позволяющих проверить правильность базиса (см. табл. 12). При отклонении процедуру коррекции можно провести по формуле (42).

7. Здесь изложена методика измерения КВК с помощью ППД. В качестве нормали КВК первого порядка использован

α_k (661,7 кэв — ^{137}Cs) из формулы (51). В этом предположении построен набор нормалей КВК второго порядка (см. табл. 15). Такой подход при необходимости обеспечивает процедуру коррекции данных [формула (53)].

8. Объектом специальных экспериментов является переход 121,8 кэв — ^{152}Eu . Его считают чистым $E2$, разряжающим первое возбужденное состояние ^{152}Sm (2^+). Полученное экспериментальное значение α_k отличается от расчетного значения [48] на $(7,3 \pm 2,5)\%$. Для проверки сходимости экспериментальных и расчетных значений КВК переходов чистой мультипольности, мы предполагаем провести серию экспериментов.

9. В настоящее время нет последовательной методики прецизионной спектрометрии α -частиц с помощью ППД. В основном трудности связаны с изготовлением высококачественных источников.

10. Неосвещенным в литературе остается и вопрос исследования непрерывных β -спектров с помощью ППД. Чаще всего эксперимент проводится по аналогии с магнитной спектрометрией. Однако такие особенности, как многоканальность, избирательность, эффекты суммирования, обратное рассеяние и т. п., противоречат подобной аналогии и очевидна необходимость разработки специальной методики для ППД.

11. Основное внимание мы уделили изложению методики спектрометрии излучений радиоактивных нуклидов с помощью ППД. Вопросы применения этой методики и физические следствия представляют самостоятельный интерес.

В заключение нам хотелось бы поблагодарить проф. К. Я. Громова за постоянный интерес к настоящей работе.

СПИСОК ЛИТЕРАТУРЫ

1. Тихонов А. Н. «Докл. АН СССР», 1963, т. 151, с. 501.
2. Вылов Ц. и др. Препринт ОИЯИ Р6-9071. Дубна, 1975.
3. Прикладная спектроскопия с полупроводниковыми детекторами. М., Атомиздат, 1974.
4. Александров В. С. и др. Препринт ОИЯИ 13-7306. Дубна, 1973.
5. Вылов Ц. и др. Препринт ОИЯИ Р6-9072. Дубна, 1975.
6. Вылов Ц. и др. Препринт ОИЯИ Р6-11085. Дубна, 1977.
7. Вылов Ц. и др. Препринт ОИЯИ 13-10056. Дубна, 1976.
8. Вылов Ц. и др. Препринт ОИЯИ Р6-8378. Дубна, 1974.
9. Paris P., Treherne J. «Rev. Sci. Appl.», 1969, v. 4, p. 291.
10. Shera E. B., Bedesam M. P., Casner K. Y. «Rev. Scient. Instrum.», 1967, v. 38, p. 1110.
11. Wadson R. L. e.a. «Rev. Scient. Instrum.», 1967, v. 38, p. 905.
12. Александров В. С. и др. Препринт ОИЯИ 11-7319. Дубна, 1973.
13. Клюкин Н. Г., Орманджиев С. И. Препринт ОИЯИ 13-8629. Дубна, 1975.
14. Lederer C. M. In: Radioactivity in Nuclear Spectroscopy. Ed. by J. H. Hamilton and J. C. Manthuruthile. V. 2. N.Y.—London—Paris, Gordon and Breach. Science publishers, 1972, p. 73.
15. Гаджиков В. «ПТЭ», 1970, № 5, с. 82.

16. Гаджоков В. Препринт ОИЯИ 10-5255. Дубна, 1970.
17. Вылова Л. А. и др. Препринт ОИЯИ Р10-7061. Дубна, 1973.
18. Александров Л., Гаджоков В. Препринт ОИЯИ Р5-5294. Дубна, 1970.
19. Helmer R. G., Gerhke R. J., Greenwood R. G. «Nucl. Instrum. and Methods», 1975, v. 123, p. 51.
20. Вылов Ц. и др. «Докл. Болгарской АН», 1968, т. 21, N 3, с. 219.
21. Кноп Г., Пауль В. В кн.: Альфа-, бета- и гамма-спектроскопия. Под ред. К. Зигбана. Пер. с англ. Вып. 1. М., Атомиздат, 1969, с. 25.
22. Штрёмих А., Остермарг Х., Гонсейор Б. «Изв. АН СССР. Сер. физ.», 1972, т. 36, с. 2239.
23. Waldschmidt M., Witting S. «Nucl. Instrum. and Methods», 1968, v. 64, p. 189.
24. Степанов Э. К., Стоянова С. А., Тютиков Н. В. «ПТЭ», № 1, 1974, с. 44.
25. Головин Б. М., Пермякова Л. А. Препринт ОИЯИ 13-7238. Дубна, 1973.
26. Rotondi E., Geiger K. W. «Nucl. Instrum. and Methods», 1966, v. 40, 2, p. 192.
27. Волков Н. Г., Чубченко В. Г., Белов О. Х. В сб.: Прикладная ядерная спектроскопия. Вып. 4. М., Атомиздат, 1974, с. 177.
28. Вылов Ц. и др. Препринт ОИЯИ Р6-9073. Дубна, 1975.
29. Вылов Ц. и др. Препринт ОИЯИ Р6-10414. Дубна, 1977.
30. Вылов Ц. и др. Препринт ОИЯИ Р6-10415. Дубна, 1977.
31. Тейлор Б., Паркер В., Лашенберг Д. Фундаментальные константы и квантовая электродинамика. Пер. с англ. М., Атомиздат, 1972.
32. Джелепов Б. С. Методы разработки сложных схем распада. Л., «Наука», 1974.
33. Murray G., Graham R. L., Geiger J. S. «Nucl. Phys.», 1965, v. 63, p. 313.
34. Carter A. L. e.a. «Phys. Rev. Lett.», 1976, v. 37, p. 1380.
35. Borchert C. L. Annual Report, 1975, KFA-iKP 10/76, p. 43.
36. Heath R. L. Gamma-Ray Spectrum Catalogue. ANCR-1000-2, 1974.
37. Bear W., Kern! J. «Nucl. Instrum. and Methods», 1974, v. 117, p. 183.
38. Kern J. Proc. Panel Meeting Charged Particle Induced Radiative Capture, Vienna, IAEA, 1972.
39. Акимов Ю. К. и др. Полупроводниковые детекторы ядерных частиц и их применение. М., Атомиздат, 1967.
40. Harnal F., Klusek C. «Nucl. Instrum. and Methods», 1974, v. 122, p. 183.
41. Jardine L. J. «Nucl. Instrum. and Methods», 1971, v. 96, p. 259.
42. Aubin G. e.a. «Nucl. Instrum. and Methods», 1969, v. 76, p. 93.
43. Mowatt R. S. «Canad. J. Phys.», 1970, v. 48, p. 2606.
44. Riedinger L. L., Johnson N. R., Hamilton J. H. «Phys. Rev. C», 1970, v. 2, p. 2358.
45. Александров В. С. и др. Препринт ОИЯИ Р6-7308. Дубна, 1973.
46. Malmsten G., Nilsson O., Andersons I. «Arkiv. Fis.», 1966, Bd 33, S. 561.
47. Hamilton J. H. In: The Electromagnetic Interaction in Nuclear Spectroscopy. Amsterdam, North-Holland Publishing Company, 1975, p. 441.
48. Hager R. S., Seltzer E. C. «Nucl. Data», 1968, v. 4, p. 1.
49. Зигбан К. и др. В кн.: Электронная спектроскопия. М., «Мир», 1971.
50. Григорьев Е. П. и др. В кн.: Программа и тезисы докладов XXVI совещания по ядерной спектроскопии и структуре атомного ядра. Л., «Наука», 1976, с. 104.
51. Карташов В. М. и др. В кн.: Программа и тезисы докладов XXVI совещания по ядерной спектроскопии и структуре атомного ядра. Л., «Наука», 1976, с. 105.
52. Manthuruthil J. C., Hamilton J. H. In: Radioactivity in Nuclear Spectroscopy. Ed. J. H. Hamilton. V. 2. N.Y.—London—Paris, Gordon and Breach, 1972, p. 753.
- . Rytz A. «Atomic Data and Nucl. Data Sheets», 1973, v. 12, p. 479.

54. Wapstra A. H., Gove N. B. «Nucl. Data Tables A», 1971, v. 9, N 4—5, p. 265.
55. Legrand J. e.a. Table de Radionucleides, Commissariat a L'Energie Atomique. France, 1975.
56. Reidy J. J. The Electromagnetic Interaction in Nuclear Spectroscopy. Ed. W. D. Hamilton, North-Holland Publishing Company, 1975, p. 839.
57. Балалаев В. А., Джелепов Б. С., Тер-Нерсесянц В. Е. В кн.: Изобарные ядра с массовым числом $A=169$. Л., «Наука», 1976.
58. Inone H., Yoshizawa Y. «Nucl. Instrum. and Methods», 1973, v. 108, p. 3851.
59. Chien-Chang Lin. «J. Inorg. and Nucl. Chem.», 1976, v. 38, p. 1409.
60. Gehrke R. J., Lokken R. A. «Nucl. Instrum. and Methods», 1971, v. 97, p. 219.
61. Martin M. J., Blichert-Toft P. H. «Nucl. Data Tables A», 1970, v. 8, N 1—2.
62. Emeri J. F., Reinols S. A., Wyatt E. I. «Nucl. Sci. and Engng.», 1972, v. 48, p. 319.
63. Александров В. С. и др. В кн.: Программа и тезисы докладов XXVII совещания по ядерной спектроскопии и структуре атомного ядра. Л., «Наука», 1977, с. 72.
64. Hoglund A., Malmsog S. «Nucl. Phys. A», 1969, v. 138, p. 470.
65. Джелепов Б. С., Люторович Н. А. «Изв. АН СССР. Сер. физ.», 1976, т. 40, с. 1115.
66. Аврамов С. Р. и др. Препринт ОИЯИ Р6-8781. Дубна, 1975.
67. Hamilton J. H. e.a. «Nucl. Data», 1966, v. 1, N 6, p. 531.
68. Fyjioka M. «Nucl. Phys. A», 1970, v. 153, p. 337.
69. Zolnowski D. R., Funk E. G., Mhelich J. W. «Nucl. Phys. A», 1971, v. 171, p. 513.
70. Афанасьев В. П. и др. Препринт ОИЯИ Р6-4972. Дубна, 1970.
71. Бирюков В. А. и др. «ПТЭ», 1975, № 2, с. 71.
72. Баранов С. А., Зеленков А. Г., Кудаков В. М. «Атомная энергия», 1976, т. 41, вып. 5, с. 342.
73. Белецкий А. Ф. и др. В кн.: Прикладная ядерная спектроскопия. Вып. 1. М., Атомиздат, 1970.
74. Гейдельман А. М. и др. В кн.: Прикладная ядерная спектроскопия. Под ред. В. Г. Недовесова. Вып. 4. М., Атомиздат, 1974, с. 108.
75. Акимов Ю. К. «ЭЧАЯ», 1977, т. 8, вып. 1, с. 193.